

В.С. Тихомиров

СИНХРОНИЗАЦИЯ И РАЗВЕРТКА В ТРАНЗИСТОРНОМ ТЕЛЕВИЗОРЕ



МАССОВАЯ РАДИОБИБЛИОТЕКА

Выпуск 704

В. С. ТИХОМИРОВ

СИНХРОНИЗАЦИЯ И РАЗВЕРТКА В ТРАНЗИСТОРНОМ ТЕЛЕВИЗОРЕ



6Ф3,**3** Т**46**

УДК 621 397.62

Редакционная коллегия:

Берг А. И., Борисов В. Г., Бурдейный Ф. И., Бурлянд В. А., Ванеев В. И., Геништа Е. Н., Жеребцов И. П., Канаева А. М., Корольков В. Г., Кренкель Э. Т., Куликовский А. А., Смирнов А. Д., Тарасов Ф. И., Шамшур В. И.

Тихомиров В. С.

Т 46 Синхронизация и развертка в транзисторном телевизоре. М., «Энергия», 1070.

128 с. с илл. (Массовая радиобиблиотека, вып. 704).

Рассмотрены особенности работы развертывающих и синхронизнрующих устройств транзисторных телевизоров, дан краткий анализ, приведены основные расчетные соотношения и практические схемы.

Книга предиазначена для подготовленных раднолюбителей конструкторов, знакомых с основами телевидения и транзисторной электроники.

3-4-5 342-69

6Ф3.3

ПРЕДИСЛОВИЕ

Большое количество новых типов полупроводниковых приборов, выпущенных за последние годы отечественной промышленностью, создает благоприятиые условия для широкого их применения в различных областях радиоэлектроники. Замена радиолами транзисторами в большинстве случаев позволяет существенно сократить габариты и вес аппаратуры, повысить срок службы и надежность ее работы, а также значительно уменьшить потребление электроэнергии.

Одной из перспективных областей применения транзисторов становится сейчас и область приемной телевизионной техники Однако транзисторные телевизионные схемы имеют свои особениости, обусловлениые сочетаиием специфики телевизионной техники и свойств самих полупроводниковых приборов. Знаиие этих особенностей, естественно, предопределяет успешное применение траизисторов в телевизоре.

В настоящей книге изложены особенности транзисторных устройств синхронизации и генераторов развертки телевизора, а также основные вопросы телевизионной техники и траизисториой электроники, имеющие непосредственное отношение к главиой теме кииги.

Описания физических процессов в функциональных элементах принципиальных схем сопровождены упрощенными расчетиыми соотношениями, позволяющими характеризовать рассматриваемые явления, ие только качественно, ио и количественно

При подборе материала автор не стремился к описанию большого многообразия существующих схемиых решений, а старался описать лишь наиболее типичные и установившиеся, что, по мнению автора, наиболее полно отвечает основному назначению кииги — оказать читателю конкретную помощь в его практической работе.

Глава первая

ОСОБЕННОСТИ ПРИМЕНЕНИЯ ТРАНЗИСТОРОВ В НИЗКОЧАСТОТНЫХ И ИМПУЛЬСНЫХ КАСКАДАХ

ОСНОВНЫЕ СВОЙСТВА ТРАНЗИСТОРОВ

Транзисторы выгодио отличаются от электронных ламп следующими основными положительными свойствами: малой потребляемой мощностью и более высоким к.п.д., значительно большим сроком службы, малыми габаритами и весом, значительно большей механической прочностью.

Наряду с положительными качествами транзисторам присущи также и аесьма существенные недостатки, которые необходимо учитывать при конструировании аппаратуры, чтобы можно было при-

нять меры к уменьшению их влияния.

Осиовные иедостатки транзисторов по сравнению с электронными лампами: значительный разброс параметров у однотыпных транзисторов, значительная зависимость этих параметров от температуры, существенное изменение параметров в течение срока службы транзисторов, относительно малый коэффициент усиления по мощности, более ограниченный диапазон рабочих температур.

Все эти недостатки в большой степени являются следствием несовершенства технологических процессов при изготовлении транзисторов и будут все менее ощутимы по мере развития техники. Одиако устранить эти недостатки полностью прииципиально невозможно, так-как они обусловлены физическими свойствами полупроводниковых материалов и сопутствуют тем принципам, на которых основана работа транзисторов.

Разброс параметров транзисторов затрудняет взаимозаменяемость радиоэлементов в транзисторной аппаратуре, а специальные меры по обеспечению взаимозаменяемости иеизбежно приводят к су-

щественным схемным усложнениям.

Температуриая нестабильность параметров транзисторов вызывает нестабильность параметров всего траизисторного устройства.

Для большинства траизисторных схем наиболее существенными являются изменения статического коэффициента усиления по току и статического входного сопротивления транзистора, а также температурные изменения обратиых токов коллекторного и эмиттерного перехода.

При колебаниях температуры транзистора от +20 до $+70^{\circ}$ С статический коэффициент усиления по току и статическое входное сопротивление транзистора в схеме с общим эмиттером изменяются обычно не более, чем на 20-30%. В тех же условиях обратные токи переходов траизистора изменяются в десятки раз, вызывая очень

большую нестабильность режима транзистора, так как даже сравнительно малые изменения обратного тока коллектора способны вызывать большие изменения рабочего тока.

Изменение режима транзистора по постоянному току приводит к более существенному изменению параметров транзистора, чем непосредственное влияние температуры на параметры. Поэтому в транзисторных каскадах в первую очередь приходится заботнться о стабильности режима.

Из-за сложных физико-химических процессов на поверхности и в объеме полупроводниковых кристаллов параметры транзисторов изменяются в течеиие их срока службы. Особенно интенсивный дрейф параметров иаблюдается в начальной стадии срока службы. Для большийства транзисторов характерна следующая закономерность: в течеиие первых нескольких сотен часов работы обратные токи переходов увеличиваются, а затем начинают медлеино уменьшаться. Статические коэффициенты усиления по току и входное сопротивление транзистора тоже сначала довольно быстро возрастают, а затем очень медленно уменьшаются.

У траизисторов хорошего качества в течение всего срока службы, определяемого десятками тысяч часов работы, обратные токи переходов изменяются обычно не более, чем в 1,5—2 раза. Примерно в таких же пределах могут изменяться статический коэффициент усиления по току и статическое входное сопротивление транзистора.

Следовательно, при разработке транзисторных схем, рассчитываемых на большой срок службы и высокую иадежность, кроме температурных изменений параметров транзистора необходимо также учитывать и возможные изменения этих параметров с течением временн.

Значительно меньший, чем у электронных ламп, коэффициент усиления по мощности обусловливается сравнительно низким входным сопротивлением транзистора, так как управление выходным током здесь осуществляется иижекцией носителей, т. е. для управления требуется значительный входной ток. Особенно ощутимо это обстоятельство проявляется в низкочастотных и импульсных каскадах, когда хорошее согласование низкого входного и довольно высокого выходного сопротивлений соседних транзисторных каскадов сопряжено с необходимостью применения согласующих трансформаторов.

Ограниченный диапазон рабочих температур траизисторов является следствием проявления принципиального свойства полупроводниковых материалов — изменения степени преимущественного типа проводимости при изменении температуры. В области низких температур полупроводниковый материал, теряя свойства примесного полупроводника, приобретает свойства диэлектрика. В области высоких температур возрастает собственная проводимость полупроводника, и полупроводниковый материал приобретает свойства проводника электрического тока. В обоих случаях перестают существовать электронно-дырочные переходы, т. е. материал теряет свойства полупроводника.

Нижний предел диапазона рабочих температур для большинства транзисторов соответствует уровню —40 ÷ —60° С. Верхний предел располагается примерно на уровне +70 ÷ +150° С. Следует отметить, что кремичевые транзисторы допускают значительно более высокие температуры переходов, чем германиевые. Кроме того, абсолютные значения обратных токов у кремниевых транзисторов малы по сравнению с германиевыми. Поэтому кремнневые траизисторы

предпочтительно применять в условиях больших колебаний окружающей температуры, а также при налични больших мощностей, рассеиваемых на транзисторе.

РАБОТА ТРАНЗИСТОРА В ИМПУЛЬСНОМ РЕЖИМЕ

Многие каскады в схемах синхронизации и разверток телевизора отиосятся к разряду устройств, работающих в импульсном (ключевом) режиме. При построении импульсных схем необходимо учитывать специфические особенности работы траизисторного ключа. Рассмотрим в общих чертах эти эсобенности.

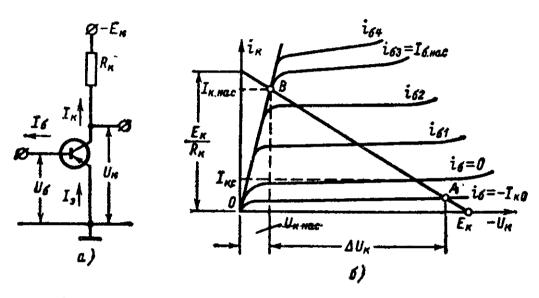


Рис. 1. Схема транзисторного ключа (а) и его выходная динамическая характеристика (б).

На рис. 1 изображена наиболее распространенная в импульсиых устройствах схема с общим эмиттером. В приведенной схеме использован транзистор проводимости типа *p-n-p*, но все рассуждения в равной степени справедливы и для транзисторов проводимости типа *n-p-n*, если учесть изменения направления токов и полярностей напряжений.

Работу схемы удобно рассмотреть, пользуясь семейством выходных статических характеристик траизистора, изображенных рядом со схемой на рис. 1. На семействе характеристик построена динамическая линия нагрузки — нагрузочная прямая (линня AB), соответствующая заданному напряжению источника питания $E_{\rm K}$ и сопротивлению нагрузки в цепи коллектора $R_{\rm K}$. Как известно, нагрузочная прямая проходит через точку $E_{\rm K}$ на оси напряжений и точку $E_{\rm K}/R_{\rm K}$ иа оси токов.

Нагрузочная прямая, проведенная на семействе статических характеристик траизистора, является выходиой динамической характеристикой каскада, выражающей связь между током коллектора и иапряжением на коллекторе при различных неизменных зиачениях тока базы Отрезок AB линии иагрузки представляет собой рабочий участок выходной динамической характеристики.

Для полного использования ключевых свойств транзистора необходимо, чтобы рабочая точка в процессе работы каскада занимала поочередно крайние положения A и B. Для этого управляющий сигнал, подводимый к базе, должен быстро переводить транзистор из режима запирания (точка A) в режим полного отпирания (точка B). В этом случае импульсное напряжение на выходе каскада будет иметь наибольшую величину и наилучшую стабильность, а на коллекторе транзистора будет рассеиваться наименьшая мощность.

Соответственно в зависимости от величины и направления базового тока транзистор может находиться в одном из трех режимов работы, принципиально отличающихся по своему характеру: в режиме отсечки (точка A), в активном режиме (участок между точками A и B) и в режиме насыщения (точка B). Остановимся иа этом более подробно.

Для того чтобы полностью запереть транзистор и перевести его в режим отсечки, еще недостаточно уменьшить входной ток до иуля, так как при токе базы, равном нулю, в цепи коллектора течет сквозной ток, определяемый из соотношения:

$$I_{\text{K-c}} = \beta I_{\text{K0}}, \tag{1}$$

где β — коэффициент усиления по току— важнейший параметр транзистора, характеризующий его усилительные свойства; $I_{\kappa 0}$ — обратный ток коллектора, протекающий через обратно смещенный диод коллекторно-базового перехода.

Величина обратного тока коллектора различна у разиых транзисторов одного и того же типа. Она слабо зависит от напряжения между коллектором и базой, но очень сильно изменяется при измеиении температуры, увеличиваясь примерно в 2 раза при повышеиии температуры на каждые 10° С.

Сквозной ток $I_{\rm K,C}$ может иметь значительную величину, сравнимую с током коллектора открытого транзистора. Например, в большинстве случаев у германиевых транзисторов малой мощности при температуре $+70^{\circ}$ С ток $I_{\rm K0}$ достигает $30 \div 50$ мка. Следовательно, при $\beta = 40$ сквозной ток будет около 2 ма.

Чтобы запереть транзистор, необходимо через цепь базы пропустить ток обратиого иаправления по отношению к указанному стрелкой на схеме, т. е. к базе относительно эмиттера требуется приложить небольшой положительный потенциал. Абсолютиая величина запирающего тока должиа быть несколько больше максимальио возможного значения обратного тока коллектора.

При работе транзистора в активном режиме направление базового тока совпадает с направлением, указанным стрелкой на схеме, что соответствует отрицательному напряжению на базе.

В зависимости от величины базового тока i_6 ток коллектора изменяется по закону, описываемому уравнением

$$i_{\rm K} = \beta (i_{\rm 0} + I_{\rm K0}) + I_{\rm K0},$$
 (2)

и практически не зависит от напряжения на коллекторе. Поскольку ток I_{κ_0} мал по сравнению с током βi_{6} , то можно пользоваться приближенным выражением

$$i_{\rm K} \approx \beta \, (i_{\rm 0} + I_{\rm K0}).$$
 (2a)

Режим насыщения наступает тогда, когда при увеличении точа базы рабочая точка переходит иа линию критического режима (прямая, проходящая через начало координат и точку B). Дальнейшее увеличение базового тока не вызывает уже заметного увеличения тока коллектора. Напряжение насыщения $U_{\kappa,\mathrm{Hac}}$ на коллекторе на-

сыщениого транзистора очень мало (порядка нескольких десятых долей вольта) и тоже почти не зависит от режима во входной цепи. Ток коллектора в режиме насыщения равен:

$$I_{\text{K-Hac}} = \frac{E_{\text{K}} - U_{\text{K-Hac}}}{R_{\text{K}}} \approx \frac{E_{\text{K}}}{R_{\text{K}}}$$
 (3)

Минимальную величину базового тока $I_{\rm 6\ nac}$, при которой траизистор входит из области активного режима в режим насыщения, можно определить по выходной динамической характеристике траизистора или из соотношения

$$I_{\text{6-Hac}} = \frac{I_{\text{K-Hac}}}{\beta} - I_{\text{K0}}. \tag{4}$$

Режиму иасыщения соответствует любое из значений базового тока, удовлетворяющих условию $i_6 \gg I_{6.\mathrm{Hac}}$. Чем больше ток базы, тем глубже насыщение. Степень иасыщения характеризуется коэффициентом насыщения

$$S_{\text{Hac}} = \frac{I_6}{I_{6,\text{Hac}}},\tag{5}$$

показывающим, во сколько раз ток базы превышает минимальную величину этого тока, необходимую для перехода траизистора в режим иасыщения.

Из-за большого разброса параметра β у однотипных транзисторов и изменения этого параметра при колебаниях температуры обычно вводят запас по насыщению, который полезен также и с точки зрения изменений параметра β от времени. Большая величииа коэффициента насыщения ($S_{\text{Hac}} \gg 1$) способствует повышению стабильности выходных параметров импульсного каскада, но при этом уменьшается его быстродействие, что объясияется увеличением времени перехода транзистора из режима насыщения в режим отсечки. Поэтому требуемую степень насыщения не следует превышать без надобности. Обычно выбирают $S_{\text{Hac}} = 3 \div 10$.

Рассмотрим особенности управления транзистором, работающим в импульсном режиме. Для перевода транзистора из режима отсечки в режим насыщения и обратно требуются перепады входного напряжения порядка 0,1—0,3 в для германиевых и 0,4—1,2 в для кремниевых транзисторов. На первый взгляд столь высокая чувствительность транзисторов может показаться их значительным преимуществом. Однако это преимущество трудно реализовать на практике из-за малого входиого сопротивления открытого транзистора. Поэтому для обеспечения режима насыщения в первую очередь следует заботиться о том, чтобы источник импульсного сигнала, действующего на входе транзистора, давал достаточно большой ток возбуждения.

В режиме отсечки входное сопротивление каскада велико по сравнению с режимом насыщения, и иадежное запирание транзистора не вызывает затруднений. Запирающее напряжение, действующее между базой и эмиттером, может быть небольшим, однако для ускорения процесса перехода от режима насыщения к режиму отсечки его выгодио выбирать значительным, ио не превышающим допустимого зиачения обратного напряжения между базой и эмиттером.

Следует заметить, что транзистор, работающий в импульсном режиме с заходом в области насыщения и отсечки, допускает значительное повышение рабочего тока по сравнению с током, допустимым в линейном усилительном каскаде. Это объясняется тем, что мощность, выделяемая в закрытом транзисторе, ничтожно мала из-за малой величны обратного тока коллектора. Мощность, рассенваемая на коллекторе насыщенного транзистора, тоже очень мала даже при значительной величине коллекториого тока, так как напряжение насыщения составляет обычно доли вольта.

Наибольшая мгновенная мощность рассеивается на коллекторе в момент переключения, т. е. во время перехода транзистора из режима отсечки в режим насыщения и обратно. Однако вследствие того, что в активной области транзистор находится очень малое время, величина средней за период мощности получается тоже малой.

РАБОТА ТРАНЗИСТОРА В ЛИНЕЙНОМ РЕЖИМЕ

Линейный режим работы транзисторного каскада характеризуется тем, что рабочая область динамической линии нагрузки располагается всегда на участке активного режима, т. е. без захода в области насыщения и отсечки.

Нелинейные свойства транзисторов в области активного режима определяются двумя факторами. Во-первых, из-за нелинейной зависимости входного тока от входного напряжения входное сопротивление транзистора на разных участках входной статической характеристики не одинаково. Во-вторых, из-за нелинейной зависимости тока коллектора от тока базы коэффициент усиления по току на различных участках выходной статической характеристики тоже не одинаков.

Результирующее действие этих нелинейных зависимостей обусловливает нелинейность проходной амплитудной характеристики, которая зависит от свойств самого траизистора, а также от способа подачи входиого сигнала и динамического режима работы выходной цепи.

Следует заметить, что, если амплитуда сигнала, подаваемого на вход каскада, мала, нелинейные свойства транзистора проявляются слабо, так как используется очень малый участок статических характеристик. При увеличении амплитуды сигнала используется более широкая область характеристик, в пределах которых изменения усилительных свойств транзистора выражаются более сильно, что приводит к искажениям формы выходного сигнала.

Наибольшую нелииейность проходиой амплитудной характеристики имеет каскад с общим эмиттером. Рассмотрим свойства этой

наиболее распространенной схемы включения траизистора.

Из рис. $2, \delta$ видно, что при равномериом увеличении тока базы ток коллектора увеличивается сиачала быстро, а затем все медлеичее, т. е. коэффициент усиления по току сильно зависит от тока коллектора, причем эта зависимость такова; что по мере увеличения тока коллектора коэффициент усиления по току заметно уменьшается. Особенно интенсивное уменьшение коэффициента усиления по току иаблюдается вблизи точки B, т. е. в непосредственной близости к границе между областью активиого режима и областью режима насыщения.

Используемая для работы в режиме линейного усиления область динамической линии нагрузки, располагающаяся на участке между

точками A и B, называется раствором выходной динамической характеристики, который характеризует максимальную полезную мощность перемениого тока, выделяемую в нагрузке при данной величине изгрузочного сопротивления. Чем шире раствор выходной динамической характеристики, тем большую полезную мощность может при прочих равных условиях отдать транзисторный каскад в нагрузку.

Раствор выходной динамической характеристики измеряется произведением наибольшего возможного изменения коллекторного

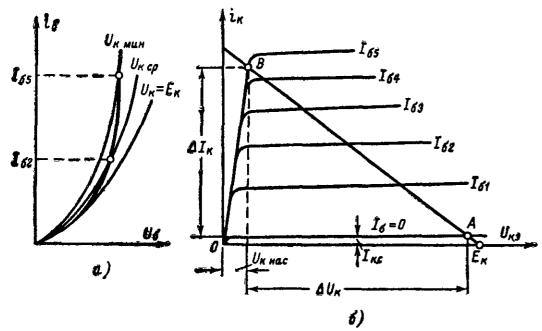


Рис. 2. Динамические характеристики транзисторного усилительного каскада.

a — входная; δ — выходная.

тока $\Delta I_{\mathbf{K}}$ на наибольшее возможное изменение коллекториого иапряжения $\Delta U_{\mathbf{K}}$, т. е. величиюй

$$N = \Delta U_{\rm K} \, \Delta I_{\rm K} \approx \frac{E_{\rm K}^2}{R_{\rm H}},$$

где

$$\Delta U_{\rm K} = E_{\rm K} - R_{\rm H} I_{\rm K\cdot C} - U_{\rm K\cdot Hac} \approx E_{\rm K};$$

$$\Delta I_{\rm K} = \frac{E_{\rm K}}{R_{\rm H}} - \frac{U_{\rm K\cdot HaC}}{R_{\rm H}} - I_{\rm K\cdot C} \approx \frac{E_{\rm K}}{R_{\rm H}}.$$

 U_3 последних выражений вытекает, что раствор выходной дииамической характеристики зависит в основном от иапряжения источника питания E_{κ} и сопротивления иагрузки R_{κ} . Увеличить раствор можно либо увеличением напряжения источника питания, либо уменьшением сопротивления нагрузки.

Возможность увеличения напряжения источника питания ограничивается величиной допустимого напряжения на коллекторе $U_{\kappa,\text{доп}}$ (относительно базы и эмиттера), так как в некоторые моменты времени работы каскада в режиме большого сигнала это напряжение может достигать значений, близких к величине E_{κ} . Поэтому необхо-

димо удовлетворять условие $E_{\kappa} < U_{\kappa}$ доп, необходимое для безаварий-

ной работы транзистора.

Умеиьшение сопротивления нагрузки ограничивается величиной допустимого тока коллектора, так как максимальное значение коллекторного тока увеличивается при уменьшении сопротивления нагрузки. Кроме того, уменьшение сопротивления нагрузки изменяет положение нагрузочной прямой на выходных статических характеристиках так, что нагрузочная прямая располагается круче и глубже заходит в пределы участка, на котором сильнее проявляется нелинейность выходной динамической характеристики.

Динамическая линия нагрузки на входных статических характеристиках транзистора строится с учетом динамического режима выходной цепи, так как при работе в режиме большого сигнала на-

пряжение на коллекторе изменяется в широких пределах.

На рис. 2, а приведено семейство входных статических характеристик транзистора, каждая из которых справедлива только для одного некоторого постоянного напряжения на коллекторе. Чтобы построить входную динамическую линию иагрузки, нужно для каждого напряжения иа коллекторе, для которого имеется статическая входная характеристика, определить по выходной динамической характеристике соответствующий этому напряжению ток базы. Зная токи базы для каждой из входных статических характеристик, необходимо на этнх характеристиках отметить точки, которые соответствуют найденным значениям токов базы. Если теперь соединить эти точки плавной кривой, то получится входная динамическая линия нагрузки.

Вследствие того, что входные статические характеристики транзистора располагаются очень густо, для упрощения расчетов входную динамическую линию нагрузки обычно не строят, а просто принимают одну из статических характеристик, соответствующую небольшому напряжению на коллекторе, за динамическую. Точность расчетов при этом получается вполие удовлетворительной.

Рассматривая ход входной динамической линии нагрузки (рис. 2, а), можно заметить, что характер нелинейности во входной цепи транзистора по своему результирующему действию является обратным по сравнению с нелинейностью в выходной цепи. Это выражается в том, что с увеличением напряжения на базе ток базы растет сиачала медленно, а затем быстрее. Если бы зависимость тока коллектора от тока базы была абсолютно линейной, то ток коллектора прн увеличении тока базы изменялся бы по тому же закону. Однако влияние нелинейности выходиых статических характеристик приводит к тому, что при равномерном увеличении тока базы ток коллектора увеличивается сначала довольно быстро, а затем его изменения замедляются.

Нелинейные свойства входиой цепи транзистора зависят от режима возбуждения транзисторного каскада, т. е. от соотношения между величинами входного сопротивления транзистора и внутреннего сопротивления источника сигнала. Для более наглядного представления этого свойства транзисторов полезно рассмотреть два предельных случая режима работы входной цепи транзистора.

Первый случай соответствует возбуждению транзисторного каскада источником сигиала, обладающим малым внутренинм сопротивлением по сравнению с входным сопротивлением транзистора. Этот случай соответствует режиму, когда на входе транзистора задаио управляющее напряжение, при котором напряжение, приложенное к базе, н э. д. с. источника сигнала почти равны. Второй предельный случай соответствует возбуждению каскада от источиика сигнала, обладающего большим внутренним сопротивлением по сравнению с входным сопротивлением транзистора. В этом случае на входе транзистора задается управляющий ток, который повторяет форму э. д с. источника сигнала, так как абсолютное значение входного сопротивления траизистора может быть настолько малым. что измечение входного сопротивления транзистора почти не скажется на форме входного тока.

Во втором случае нелинейность входной цепи транзистора никак себя не проявляет, а общая нелинейность амплитудной характеристики каскада целиком определяется только нелинейностью выходной цепи транзистора, т. е. зависимостью коэффициента усиле-

ния по току от величины тока коллектора.

Реальный транзисторный каскад обычно работает в режиме, заиимающем некоторое промежуточное положение между режимами возбуждения от источника тока и источника напряжения. При этом стремятся выбрать такое соогношение между внутренним сопротивлением источника сигнала и сопротнвлением нагрузки, чтобы нелинейность выходной динамической характеристики частично компеисировалась нелинейностью входной динамической характеристики. Если эта компенсация происходнт в области, охватывающей рабочий участок нагрузочной прямой, то общая нелинейность амплитудной характеристики каскада может быть меньше, чем в случае, когда такой компенсации нет.

Следует заметить, что для большинства отечественных транзисторов с точки зрения получения хорошей линейиости амплитудной характеристики выгодно возбуждать входную цепь каскада от источника, внутреннее сопротивление которого примерно равно входиому сопротивлению транзистора, т. е. условие получения хорошей линейности почти совпадает с условием полиого согласования по мощности источника сигнала и входной цепи транзистора.

ДИНАМИЧЕСКИЕ ПАРАМЕТРЫ ТРАНЗИСТОРНОГО КАСКАДА, РАБОТАЮЩЕГО В ЛИНЕЙНОМ РЕЖИМЕ

При работе транзистора в режиме усиления в его выходную цепь включено сопротивление нагрузки, а во входной цепи действует источник сигнала, обладающий своим внутренним сопротивлением (рис. 3, а). В этом случае токи и напряжения на электродах транзистора не остаются постоянными, а непрерывно изменяются. Такое состояние транзистора называют динамическим режимом работы.

Характеристики и параметры транзистора, находящегося в дииамическом режиме, отличаются от характеристик и параметров статического режима, так как определяются не только свойствами самого траизистора, но и свойствами элементов электрической схемы.

Усилительный каскад на транзисторе принято характеризовать следующими основными динамическими параметрами: входным сопротивлением $r_{\rm BX}$, выходным сопротивлением $r_{\rm BX}$, коэффициентом усиления по напряжению $K_{\it u}$, коэффициентом усиления по току $K_{\it i}$ и коэффициентом усилення по мощности $K_{\it p} = K_{\it u} K_{\it i}$.

Динамические параметры связаны со статическими параметрами и могут быть вычислены по упрощенным формулам, приведеиным ниже, если в эти формулы будут подставлены значения статических h-параметров, соответствующих используемому способу включения транзистора.

Входное сопротивление каскада равно:

$$r_{\rm BX} = h_{11} + h_{12} \, h_{21} \, R_{\rm H.9KB}, \tag{6}$$

где

 h_{11} — статическое входное сопротивление транзистора;

 h_{12} — статический коэффициент обратной связи по иапряженню;

 h_{21} — статический коэффициент усиления по току $(h_{21} = \beta)$ в схеме с общем эмиттером и $h_{21} = \alpha$ в схеме с общей базой);

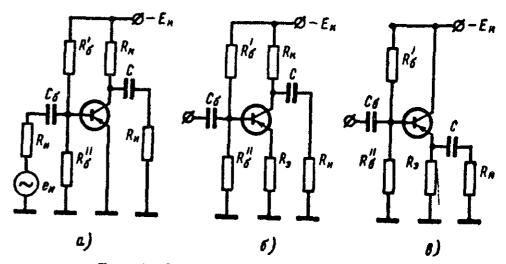


Рис. 3. Схемы усилительных каскадов.

a-c общим эмиттером; b-c общим эмиттером и c отрицательной обратной связью по току; b-c общим коллектором.

 $R_{
m H.9KB}$ — полное эквивалентное сопротивление нагрузки, определяемое по формуле

$$R_{\rm H \ 9KB} = \frac{R_{\rm K} R_{\rm H}}{R_{\rm K} + R_{\rm H}} \,, \tag{7}$$

в которой $R_{\rm K}$ — сопротивление резистора в цепи коллектора, а $R_{\rm H}$ — внешнее сопротивление нагрузки в цепи коллектора (например, это может быть входное сопротивление следующего каскада).

Следует заметить, что приведенная формула (6) не учитывает влияния резисторов, включенных в цепь базы и служащих для получения требуемого режима траизистора по постоянному току. В общем случае эти резисторы несколько уменьшают входиое сопротивление каскада, так как они оказываются включенными для переменного тока параллельно входному сопротивлению транзистора.

Выходное сопротивление каскада для схемы с общим эмиттером и схемы с общей базой равно:

$$r_{\rm BMX} = \frac{R_{\rm K}}{1 + h_{22} R_{\rm K}} \,, \tag{8}$$

где h_{22} — статическая выходная проводимость транзистора.

Коэффициент усиления каскада по напряжению можно вычислить по формуле

$$K_{u} = \frac{h_{21} R_{\text{H.9KB}}}{r_{\text{BX}} (1 + h_{22} R_{\text{H.9KB}})}$$
 (9)

Коэффициент усиления каскада по току определяется выражением

$$K_{t} = \frac{h_{21}}{1 + h_{22} R_{H, 2KB}} \,. \tag{10}$$

В транзисторных низкочастотных каскадах в подавляющем большинстве случаев сопротивление нагрузки $R_{\rm H.\,9KB}$ бывает настолько малым, что выполняются условия

$$h_{11} \gg h_{12}h_{21}R_{\text{H ƏKB}} \text{ H } h_{22}R_{\text{H ƏKB}} \ll 1.$$

Тогда формулы, приведенные выше, можио упростить и пользоваться следующими еще более приближенными формулами:

входное сопротивление каскада

$$r_{\rm BX} = h_{11}; \tag{6a}$$

выходное сопротивление каскада

$$r_{\rm BMX} = R_{\rm K}; \tag{8a}$$

коэффициент усиления по напряжению

$$K_u = \frac{h_{21}}{h_{11}} R_{\text{H 9KB}}; \tag{9a}$$

коэффициент усиления по току

$$K_i = h_{2i}$$
. (10a)

Пользование приближенными формулами (6a), (8a), (9a) и (10a) вполне оправдано, так как эти формулы обычно дают ошибку в расчетах, ие превышающую 10% от действительной величины определяемого динамического параметра, что в большинстве практических случаев вполне допустимо

Каскад, выполненный по схеме с общим коллектором, — эмиттерный повторитель (рис. 3, в) принято рассчитывать, пользуясь статическими параметрами схемы с общим эмиттером. Для расчега динамических параметров эмиттерного повторителя справедливы следующие приближенные формулы

Входное сопротивление эмиттерного повторителя

$$r_{\rm BX} = \beta R_{\rm H 9KB}, \tag{11}$$

где $R_{\rm H~9KB}$ — полное сопротивление нагрузки в цепи эмиттера, определяемое по формуле

$$R_{\mathrm{H.9KB}} = \frac{R_{\mathrm{9}} R_{\mathrm{H}}}{R_{\mathrm{9}} + R_{\mathrm{H}}} \,, \tag{7a}$$

в которой R_9 — сопротивление резистора в цепи эмиттера, а $R_{\rm H}$ — внешнее сопротивление нагрузки, действующее в цепи эмиттера

Формула (11) определяет входное сопротивление только самого транзистора без учета влияния резисторов смещения в цепи базы. В общем случае наличие этих резисторов уменьшает входное сопротивление каскада и может быть учтено.

Выходиое сопротивление эмиттерного повторителя равно

$$r_{\text{BMX}} = \frac{R_u}{\beta} , \qquad (12)$$

где R_u — внутреннее сопротивление источника сигнала.

Коэффициент усиления по напряжению эмиттерного повторителя рассчитывают по формуле

$$K_{\mu} = \frac{\beta R_{\text{H.9KB}}}{h_{11} + \beta R_{\text{H.9KB}}},\tag{13}$$

в которой h_{11} — статическое входное сопротивление транзистора в схеме с общим эмиттером.

Коэффициент усиления по току эмиттерного повторителя равен:

$$K_t = \beta. \tag{14}$$

Для улучшения линейности сквозной амплитудной характеристики каскада, а также для обеспечения достаточно устойчивого и стабильного усиления сигналов в схеме с общим эмиттером транзистор часто охватывается отрицательной обратной связью. Наиболее употребительным способом создания отрицательной обратной связи по перемеиному току является введение в цепь эмиттера резистора $R_{\mathfrak{p}}$ (рис. 3, δ).

При иаличии отрицательной обратной связи динамические параметры каскада изменяются. Их величины с учетом обратной связи могут быть вычислены по следующим приближенным формулам.

Входное сопротивление схемы с общим эмиттером с учетом обратной связи равио.

$$r_{\rm BX \ O.C} = r_{\rm BX} + \beta R_{\rm 9}, \tag{15}$$

где $r_{\rm RX}$ — входиое сопротивление каскада без обратной связи, т. е. когда $R_{\rm 9}\!=\!0.$

Коэффициент усиления по напряжению схемы с общим эмиттером при наличии обратной связи по току равен.

$$K_{u \text{ o-c}} = \beta \frac{R_{\text{H-9KB}}}{r_{\text{BX-o-c}}}.$$
 (16)

Для практических расчетов, не требующих большой точности, можно считать, что обратная связь по току ие изменяет выходное сопротивление каскада в схеме с общим эмиттером, т. е.

$$r_{\text{Bbix.o.c}} = r_{\text{Bbix}} = R_{\text{K}},\tag{17}$$

а также не изменяет коэффициента усиления по току, т. е.

$$K_{t \text{ o.c}} = K_t = \beta. \tag{18}$$

Очень важным параметром транзисторных усилительных каскадов, используемых в схемах развертывающих устройств, является коэффициент нелинейности сквозной амплитудной характеристики каскада, который для схемы с общим эмиттером можно вычислить по формуле

$$k_{\rm H} = 2 \frac{K_{u \text{ MAKC}} - K_{u \text{ MHH}}}{K_{u \text{ MAKC}} + K_{u \text{ MHH}}}, \tag{19}$$

где

$$K_{u \text{ Makc}} = \frac{\beta_{\text{Makc}} R_{\text{H 9KB}}}{R_{u} + r_{\text{BX-Makc}}}$$

И

$$K_{u \text{ MHH}} = \frac{\beta_{\text{MHH}} R_{\text{H 9KB}}}{R_u + r_{\text{BX} \cdot \text{MHH}}}$$

 малосигнальные значения коэффициентов усиления каскада по напряжению в гочках, соответствующих границам используемого уча-

стка динамических характеристик транзистора.

Все приведенные формулы, определяющие динамические параметры транзисториого каскада, справедливы в полной мере только для каскадов, работающих в режиме малого сигнала. Однако эти формулы могут быгь распространены и на каскады, работающие в режиме большого сигнала, если входящие в них значения малосигнальных статических параметров заменить значениями этих параметров, усредненными иа рабочем участке. Например, для схемы с общим эмиттером и схемы с общим коллектором величину в необходимо заменить величиной

$$B \approx \frac{\beta_{\text{MAKC}} + \beta_{\text{MBH}}}{2} , \qquad (20)$$

 $\beta_{\text{макс}}$ и $\beta_{\text{мин}}$ — максимальное и минимальное зиачения статического коэффициента усиления по току для малого сигнала на границах рабочего участка выходной динамической характеристики каскада Вместе с тем величину $h_{\rm H}$ тоже необходимо заменить величиной

$$R_{\rm BX} \approx \frac{h_{\rm 11MaKC} - h_{\rm 11MHH}}{2} \,, \tag{21}$$

где $h_{\text{H макс}}$ и $h_{\text{H мин}}$ — статические входные сопротивления транзистора для малого сигнала в точках, которыми ограничивается рабочий участок входной динамической характеристики. Полученные таким образом значения B и $R_{\rm BX}$ представляют собой статические параметры транзистора для большого сигнала.

ПЕРЕХОДНЫЕ ИСКАЖЕНИЯ В ТРАНЗИСТОРАХ

Искажения переходной характеристики в транзисторном импульсиом каскаде, проявляющиеся в затягивании фронтов исходиых импульсов, происходят главиым образом из-за влияния статических и диффузионных емкостей коллекторного и эмиттерного переходов транзистора, а также в силу инерционности процесса перемещения электрических зарядов в полупроводящей среде.

Влияние статических емкостей транзистора и монтажных емкостей схемы, очевидно, и не отличается от такового в ламповых усилителях. Другие факторы присущи только транзисторам, а поэтому

следует рассмотреть их особо

Не вдаваясь глубоко в существо довольно сложных физических процессов, протекающих в объеме полупроводниковых материалов, заметим лишь, что средние скорости движения, которыми обладают отдельные носители зарядов, движущиеся по законам диффузии в базе, отличаются друг от друга. В силу этого группа зарядов, одновременно инжектированных в базу из эмиттера, достигает коллектора в разное время

Если предположить, что в схеме с общим эмиттером форма тока базы имеет вид импульса с идеально крутыми фронтом и срезом (рис. 4), то импульс тока коллектора такого фроита и среза иметь не будет. Из-за разницы в скоростях движения отдельных зарядов они окажутся растянутыми во времени. Чем больше толщина базы

и чем меньше средняя скорость диффузии зарядов, тем более раз мытыми будут фронты и срезы выходных импульсов. Вместе с тем вследствие инерционности процесса диффузии носителей, препятст вующей быстрому накоплению и рассасыванию электрических зарядов в полупроводнике, начало и конец импульса коллекторного тока смещаются во времени относительно быстрых перепадов входного тока

Появление выходного тока отличается от начала действия входного тока на время задержки t_3 , определяемое на практике как интервал времени от начала действия импульса на входе до момента, когда выходной ток достигает уровня 0.1 установившегося значения. Для сплавных транзисторов малой мощности время задержки составляет примерно 0,3 мксек

Время $t_{\rm H}$, в течение которого ток коллектора нарастает от 0,1 до 0,9 установившегося значения, называется временем нарастания фронта импульса. Ток коллектора на участке нарастания изменяется по довольно сложному закону, который в практических расчетах заменяется экспонеициальным. Если транзистор работает в режиме, когда коллекторный ток не достигает области насыщения, т е $I_6 < I_{6.\text{нас}}$, время нарастания можно определить по фор-

$$t_{\rm H} = 2.2 \frac{B}{2\pi f_{\rm cr}}$$
, (22)

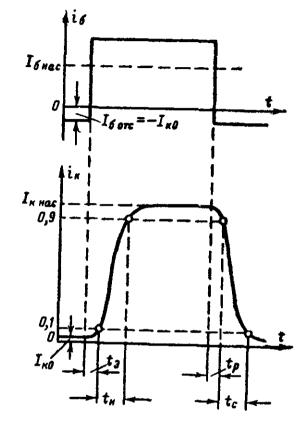


Рис. 4. Эпюры входного и выходного тока импульсного каскада, работающего с заходом в областн иасыщения и отсечки коллекторного тока.

в которой f_{α} — верхняя граничная частота транзистора, т. е. частота, при которой коэффициент усиления по току а (в схеме с общей базой) снижается по сравнению с его величиной на низких частотах в $\sqrt{2}$ раз. Последнее выражение показывает, что время нарастания

уменьшается с уменьшением параметра В транзистора и с увеличением его верхней граничной частоты

Если транзистор работает в режиме, когда коллекторный ток достигает области насыщения, т. е. $I_6 > I_{6\, \rm Hac}$, то аналитическое выражение для времени нарастания будет иметь вид-

$$t_{\rm H} = \frac{B}{2\pi f_{\alpha}} \ln \frac{S_{\rm Hac}}{S_{\rm Hac} - 0.9}, \qquad (23)$$

в котором $S_{\text{нас}}$ — коэффициент насыщения Из последнего выражеиия, в частности, вытекает, что время иарастания уменьшается по мере увеличения глубины насыщения.

2-1387

Для выхода траизистора из режима насыщения после резкого уменьшения тока базы требуется некоторое время, необходимое для рассасывания заряда, накопленного в базе. В течение времени рассасывания $t_{\rm p}$ ток коллектора стается равным току насыщения. Это время определяет запаздывание выхода транзистора из режима насыщения по отношению к моменту резкого спадания величины базового тока. Время рассасывания для сплавных транзисторов может быть вычислено по приближенной формуле

$$t_{\rm p} = \frac{B}{2\pi f_{\alpha}} \ln S_{\rm Hac}, \tag{24}$$

дающей удовлетворительное совпадение с действительностью при не очень большом запирающем напряжении. Время рассасывания можно существенно уменьшить, увеличив величину запирающего тока.

После стадии рассасывания начинается срез импульса. Время среза $t_{\rm c}$ коллекторного тока, отсчитываемое между уровнями 0,9 и 0,1 величины полного размаха импульса, можно определить по формуле

$$t_{\rm c}=2,2\frac{B}{2\pi f_{\alpha}}. \tag{25}$$

справедливой для транзисторов, работающих как с заходом в область насыщення, так и в ненасыщенном режиме.

Для сплавных траизисторов, обычно применяемых в импульсиых устройствах телевизора, можно пренебрегать влиянием емкости эмиттерного перехода C_9 , т. е. входной емкости транзистора.

При выполненни условня $R_{\rm K}C_{\rm K}2\pi f_{\alpha}\ll 1$ можно пренебречь также и влиянием емкостн коллектора, $C_{\rm K}$. Если же последнее условие не удовлетворяется, что происходит при больших сопротивлениях нагрузки $R_{\rm K}$, то в коллекторной цепи будут дополнительные существенные искажения переходной характеристики каскада.

Эти искажения можно учесть следующим образом: сначала нужио определить время установления переднего и заднего фронтов импульса тока в нагрузке, искажение которых обусловливается только влиянием постояниой времени выходной цепи $R_{\rm K}C_{\rm K}$; $t_{\rm y}=2.2R_{\rm K}C_{\rm K}$, а затем найти результирующую длительность фронта импульса

$$t_{\mathbf{\phi}1} = \sqrt{t_{\mathsf{H}}^2 + t_{\mathbf{y}}^2} \tag{26}$$

и результирующую длительность среза импульса

$$t_{\phi 2} = \sqrt{t_{\rm c}^2 + t_{\rm y}^2}$$
, (27)

Импульсный каскад характеризуется суммарным временем, в течение которого происходит полное нарастание или полный спад коллекторного тока с учетом всех факторов, обусловливающих переходные искажения. Время, в течение которого происходит полное иарастание коллекторного тока, отсчитываемое от начала перепада входного иапряжения, иазываемое временем включенця, равно:

$$t_{\text{BKJ}} = t_{\text{3}} + \sqrt{t_{\text{H}}^2 + t_{\text{y}}^2}$$
 (28)

Время, в течение которого происходиг полный спад коллекторного тока, отсчитываемое с момента начала перепада напряжения на входе и называемое временем выключения, равно:

$$t_{\text{выкл}} = t_{\text{p}} + \sqrt{t_{\text{c}}^2 + t_{\text{y}}^2}.$$
 (29)

Время включения и время выключения характеризуют быстродействие импульсного устройства, работающего в ключевом режиме

СПОСОБЫ ПОВЫШЕНИЯ БЫСТРОДЕЙСТВИЯ ТРАНЗИСТОРНОГО КЛЮЧА

Из предыдущего следует, что для уменьшения времени t_n перехода транзистора из запертого состояния в насыщенное коэффици-

ент насыщения $S_{\text{нас}}$ желательио выбирать большим. Но с другой стороны, чем больше величина $S_{\text{нас}}$, тем больше время $t_{\text{р}}$ выхода транзистора из состояния насыщения. Следовательно, для одновременного уменьшения как времени $t_{\text{н}}$, так и времени t_{p} нужио, чтобы в момент перехода траизистора в режим насыщения коэффициент насыщения был большим, а в момент, предшествующий выходу транзистора из насыщения, малым.

Существуют способы удовлетворения этим, на первый взгляд, противоречивым требованням. Один из этих способов заключается в примененин резистивно-емкостиой цепи запуска (рис. 5). Здесь $e_{\rm H}$ — э. д. с. источника сигнала; $R_{\rm H}$ — внутреннее сопротивление этого источника; R_{6} — резистор в цепи базы, включенный последовательно с источником сигнала; C_{5} — так называемая форсирующая емкость, служащая для повышения быстродействия переключающего устройства.

Пусть э. д. с. источника имеет форму импульса отрицательной полярности с размахом $E_{\rm H}$. В иачале действия входного импульса кондеисатор C_6 заряжается. Поэтому начальное значение базового тока определяется соотношением

$$I_{60} = \frac{E_{\text{N}}}{R_{\text{N}} + r_{6.2}}, \qquad (30)$$

где r_{6.9}— входное сопротивление насыщениого транзистора.

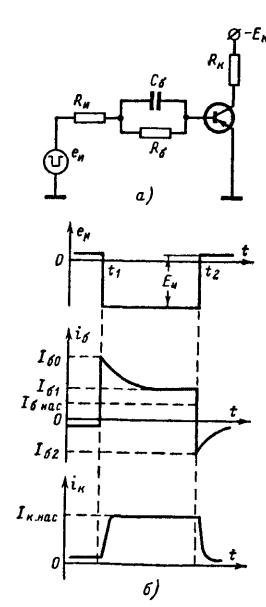


Рис. 5. Схема импульсного каскада с формирующей емкостью в цепн базы (а) и эпюры входной э.д.с., входного н выходного токов (б).

Сопротивление $r_{6.9}$ не остается постоянным во всех фазах работы рассматриваемой схемы и уменьшается по мере увеличения коллекторного тока и по мере увеличения степени насыщения, а также зависит от скорости электрических процессов. Для быстропеременных процессов в базе, иапример, во время очень быстрого увеличения базового тока, $r_{6.9}$ близко к значению сопротивления базы на высокой частоте (обычно несколько сотеи ом).

За счет действия конденсатора C_6 падеине напряжения на сопротивлении резистора R_6 в момент начала действия входного импульса практически равно иулю Конденсатор C_6 как бы замыкает накоротко резистор R_6 в это время.

По мере заряда конденсатора C_6 базовый ток уменьшается по

экспоненциальному закону, стремясь к величине

$$I_{61} = \frac{E_{H}}{R_{H} + r_{6.9} + R_{6}}, \qquad (31)$$

определяемой суммарным действием всех резисторов в цепи базы. При выборе $R_6\gg R_{\rm H}+r_{6.9}$ выполняется неравенство $I_{60}\gg I_{61}$, т. е. коэффициент насыщения в начале действия входного импульса $S_{\rm Haco}=I_{60}/I_{6~\rm Hac}$ может быть значительно больше коэффициента иасыщения, соответствующего моменту времени перед выходом траизистора из насыщения $S_{\rm Hacl}=I_{61}/I_{6.\rm Hac}$. Коэффициент иасыщения уменьшается при этом в

$$\frac{S_{\text{Hac 0}}}{S_{\text{Hac 1}}} = \frac{R_{\text{H}} + r_{6.9} + R_{6}}{R_{\text{H}} + r_{6.9}} \tag{32}$$

раз.

Для того чтобы к моменту окоичания входного импульса коэффициент насыщения успел существенно снизиться, необходимо удовлетворить условие

$$t_{\rm H} \geqslant 3 \frac{(R_{\rm H} + r_{\rm 6.9}) R_{\rm 6} C_{\rm 6}}{R_{\rm H} + r_{\rm 6.9} + R_{\rm 6}}$$
 (33)

так как коиденсатор заряжается полностью за время, равное при-

мерно трем постоянным времени цепи заряда.

Вследствие того, что входное сопротивление транзистора ие чисто активно, емкость C_6 ие следует выбирать слишком малой. Во всяком случае должно удовлетворяться условие $C_6 \gg C_{6.9}$, в котором $C_{6.9}$ — входная емкость транзистора — величина в общем не остающаяся постоянной во всех фазах работы импульсиого каскада. Ее наибольшее значение у маломощных траизисторов составляет обычио несколько десятков пикофарад.

К моменту окоичания входного импульса коидеисатор успевает зарядиться до напряжения $U_c = I_{61}R_6$. Непосредственно после окончания действия входного импульса конденсатор C_6 разряжается. К базе оказывается приложенным положительное напряжение, способствующее более быстрому запиранию транзистора. В цепь базы втекает ток

$$I_{62} = \frac{U_{\rm c}}{R_{\rm H} + r_{\rm 6.9}} \,, \tag{34}$$

направление которого обратно току I_{61} , что увеличивает скорость рассасывания заряда, накопленного в базе, и, следовательно, умень-

шает время выхода транзистора из насыщення $t_{\rm p}$ и время спада коллекторного тока $t_{\rm c}$.

По мере разряда конденсатора C_6 , а также вследствие того, что входное сопротивление транзистора $r_{6.9}$ увеличивается по мере рассасывания заряда в базе, ток базы постепенно уменьшается, достигая установившегося значения $I_6 = I_{K0}$.

В схеме с реостатио-емкостной цепью запуска суммарное сопротивление, действующее между базой и источником сигнала, за счет дополнительно вводимого резистора R_6 должно иметь относительно большое значение. Вследствие того, что на входе каскада задается управляющий ток, так как обычно $r_6 \le R_1 + R_6$, каскад обладает существенной нестабильностью коэффициента насыщения, что объясняется сильной зависимостью параметра B от температуры и его разбросом у транзисторов одного и того же типа. Коэффициент насыщения в данном случае связан с параметром B соотношением

$$S_{\text{Hac}} = \frac{BE_{\text{H}}}{I_{\text{K.Hac}} (R_{\text{H}} + r_{6.9})},$$
 (35)

т. е. пропорционален величине В. Следовательно, при изменении окружающей температуры или при замене одного транзистора другим коэффициент насыщения в коице действия входного импульса может изстолько измениться, что транзистор будет способен раньше времени выйти из режима насыщения. Это недопустимо не только потому, что нарушится нормальная работа импульсного каскада из-за изменения формы и амплитуды импульсов, но и потому, что на транзисторе в этом случае может выделяться недопусимо большая мощность. Чтобы этого не произошло, необходимо вводить запас по величине коэффициента насыщения.

Так как температурная иестабильность параметра В значительно меньше разброса этого параметра у одиотипных транзисторов и его дрейфа с течением времени, решающее значение для выбора запаса по степени насыщения имеют не температурные изменения В, а разброс и дрейф этого параметра. Минимальная величина коэффициента насыщения, соответствующая моменту времени перед окончанием входного импульса, должна выбираться из условия

$$S_{\text{Hac 1}} \geqslant \frac{B_{\text{MaKC}}}{B_{\text{MBH}}}, \tag{36}$$

в котором $B_{\text{макс}}$ н $B_{\text{мин}}$ соответственио наибольшее и наименьшее значения коэффициента усиления по току.

Если схема рассчитывается на абсолютную взаимозаменяемость транзисторов и их длительную работу, требуется довольно большой запас по насыщению. При этом, естественно, быстродействие пере-

ключающего устройства будет ниже.

Улучшить свойства рассматриваемого импульсного каскада можно включением в цепь эмиттера резистора R_3 (рис. 6, a). За счет падения напряжения на сопротивлении этого резистора создается огрицательная обратная связь по току, увеличивающая входное сопротивление каскада, что делает схему менее чувствительной к изменению параметра B транзистора. Вместе с тем обратная связь сама по себе способствует повышению быстродействия каскада

В случае включения в цепь эмиттера стабилизирующего резистора $R_{\mathfrak{I}}$ коэффициент усиления каскада по мощности уменьшается и для возбуждения требуется несколько большее иапряжение сигна-

ла на входе при почти неизменной величяне размаха импульса базового тока.

Коэффициент насыщения связан в этом случае с параметрами схемы следующими соотношениями.

$$S_{\text{Hac 0}} = \frac{BE_{\text{H}}}{I_{\text{K.Hac}} (R_{\text{H}} + r_{6.9} + BR_{9})}; \qquad (37)$$

$$S_{\text{Hac 1}} = \frac{BE_{\text{H}}}{I_{\text{K-Hac}} (R_{\text{H}} + r_{\text{6.9}} + BR_{\text{9}} + R_{\text{6}})} . \tag{38}$$

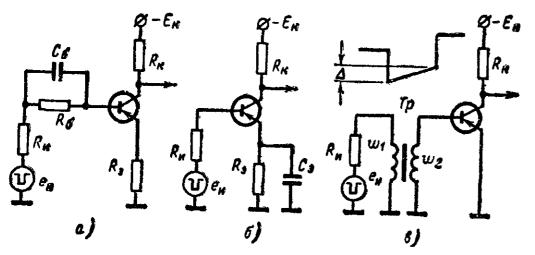


Рис. 6. Схемы импульсных каскадов.

a — с форсирующей емкостью в базе и с отрицательной обратной связью по току; δ — с форсирующей емкостью в эмиттере; s — с форсирующим трансформатором.

При этом коэффициент иасыщения слабее зависит от изменений параметра B, так как значение B входит и в числитель и в знаменатель последних выражений.

Рассмотрим еще одиу часто применяемую схему повышения быстродействия транзисториого импульсиого каскада (рис. 6, 6). В этой схеме форсирующая емкость $C_{\mathfrak{p}}$ включена параллельно резистору $R_{\mathfrak{p}}$ в цени эмиттера, т. е. конденсатор $C_{\mathfrak{p}}$ входит в цень отрицательной обратной связи.

Пусть иа вход каскада подается от источника э.д.с. с внутреиним сопротивлением $R_{\rm H}$ импульс напряжения отрицательной полярности. В ийчале действия входного импульса транзистор открывается и в цепи его эмиттера течет ток, равный сумме токов, протекающих в базе и в коллекторе $I_{\rm 3}{=}I_{\rm 6}{+}I_{\rm K}$. В это время конденсатор $C_{\rm 3}$ заряжается током эмиттера, и поэтому падение напряжения на резисторе $R_{\rm 3}$ практически равно нулю, так как почти, весь ток расходуется на заряд этого коидеисатора. Такое состояиие транзистора равноценно полному отсутствию действия отрицательной обратной связи, как если бы эмиттер был соедииен накоротко с общим проводом схемы. В этих условиях ток базы равен:

$$I_{60} = \frac{E_{\rm H}}{R_{\rm H} + I_{6.9}} \, . \tag{39}$$

По мере заряда конденсатора C_9 , если емкость последнего не

слишком велика, отрицательное напряжение на эмиттере возрастает по экспоненциальному закону до установившегося значения

$$U_{\rm c} = E_{\rm K} \frac{R_{\rm s}}{R_{\rm K} + R_{\rm s}} \,. \tag{40}$$

Это напряжение направлено встречно входиому напряжению, приложенному к базе транзистора относительно общего провода, вследствие чего суммарное напряжение, действующее непосредствению между базой и эмиттером, уменьшается. Для источника сигиала такое изменение режима входной цепи воспринимается как увеличение входного сопротивления транзистора 16.9 на величину BR_9 .

Поэтсму базовый ток к моменту окончания входного импульса становится равным:

$$I_{61} = \frac{E_{\rm H}}{R_{\rm H} + r_{6.9} + BR_{\rm B}} \,. \tag{41}$$

Как и в предыдущем случае, при выборе $R_9B\gg R_u+r_{6.9}$ выполняется неравенство $I_{60}\gg I_{61}$, т. е. коэффициент насыщения в начале действия входного импульса превышает коэффициент насыщения в конце импульса в

$$\frac{S_{\text{Hac 0}}}{S_{\text{Hac 1}}} = \frac{R_{\text{H}} + r_{6.9} + BR_{9}}{R_{\text{H}} + r_{6.9}} \tag{42}$$

раз.

Для того, чтобы за время действия входного импульса конденсатор $C_{\mathfrak{D}}$ успел почти полностью зарядиться, необходимо удовлетворить условие

$$t_{\rm H} \geqslant 3 \frac{R_{\rm K} R_{\rm 9} C_{\rm 9}}{R_{\rm K} + R_{\rm 9}} \tag{43}$$

После окончания входиого импульса заряд конденсатора C_3 сохраняется еще длительное время. Отрицательное напряжение $U_{\rm C}$ про должает действовать в цепи эмиттера. Ток эмиттера, втекающий в область базы, увеличивает скорость рассасывания зарядов в базе и способствует более быстрому запиранию транзистора.

В рассматриваемой схеме коэффициент насыщения в начале действия входного импульса равен:

$$S_{\text{Rac 0}} = \frac{BE_{\text{H}}}{I_{\text{K.Hac}}(R_{\text{H}} + r_{6.9})}$$
 (44)

В момент времени перед окоичанием входного импульса коэффициент насыщения определяется соотношением

$$S_{\text{Hac 1}} = \frac{BE_{\text{H}}}{I_{\text{K-Hac}} (R_{\text{H}} + r_{6.9} + BR_{9})}$$
(45)

Сопоставнв между собой два последиих выражения, легко заметить, что в начале действия входного импульса коэффициент иасыщения $S_{\text{насо}}$ пропорционален величине параметра B, а перед окончанием входного импульса зависимость $S_{\text{нас1}}$ от B выражена значительно слабее, так как величина B входит и в числитель н в знаменатель последнего выражения. Зависимость $S_{\text{нас1}}$ от B тем слабее, чем больше сопротивленне резистора R_{9} .

Нестабнльность коэффициента насыщения $S_{\text{нас0}}$ при колебаниях окружающей температуры или при смене траизистора в последней схеме не опасна, так как коэффициент насыщения в начале действия входиого импульса может быть выбран достаточно большим. В момент времени перед окоичанием входного импульса зависимость коэффициента насыщения $S_{\text{нас1}}$ от B может быть существенно ослаблена действием обратиой связи путем установки резистора R_9 , обладающего достаточно большим сопротивлением. Поэтому схема импульсного усилительного каскада с форсирующей емкостью в цепи эмистера оказывается менее чувствительной к температурной нестабильности и разбросу параметра B.

В транзисторных телевизорах для согласования импульсных каскадов по мощности часто применяют согласующие трансформаторы. При этом параметры трансформатора выбирают так, чтобы время переключения транзистора, на входе которого включен траисформатор, было по возможности малым.

Быстродействие схемы (рис 6, 8), в которой применен согласующий трансформатор, повышается за счет явления скола плоской части управляющего импульса. Скол может быть получен, если индуктивность L_1 первичной обмотки выбрать не слишком большой. Величина скола Δ , определяемая как отношение изменения импульсию пого напряжения за время действия импульса к размаху этого импульса в изчальный момент времеии, рассчитывается по формуле

$$\Delta = T \frac{R_{\rm H} + n^2 \, r_{\rm 6.9}}{L_1} = T \frac{R_{\rm 9KB}}{L_1}, \tag{46}$$

в которой T — длительность импульса; $n=w_1/w_2$ — коэффициент трансформации согласующего трансформатора; $r_{\rm t}$ 9— активиое сопротивление участка база — эмиттер насыщенного транзистора.

Если преиебречь влиянием на величину скола насыщения магнитопровода в траисформаторе, а также не учитывать нзменения входного сопротивления транзистора в разных фазах его работы, то можио считать, что относительное уменьшение коэффициента насыщения за время действия отпирающего импульса пропорционально величине скола, т. е.

$$\frac{S_{\text{Hac }1}}{S_{\text{cal},0}} = \Delta. \tag{47}$$

Повышение быстродействия импульсного каскада за счет скола плоской части управляющего импульса прииципиально возможно и в схеме с разделительной емкостью между каскадами, если величину последней выбрать не слишком большой. В этом случае величина скола связана с парамеграми схемы следующим соотношением:

$$\Delta = \frac{T}{(R_{\rm H} + r_{\rm 6.9}) C_{\rm p}}, \tag{48}$$

в котором C_p — емкость переходного конденсатора. Однако вследствие сильного влияния на величину скола нестабильности сопротивления $r_{6.9}$ эффективность данного способа получается невысокой.

СТАБИЛИЗАЦИЯ РЕЖИМА ТРАНЗИСТОРНОГО КАСКАДА

В усилительном каскаде, работающем в линейном режиме, положение рабочей области на динамической линии нагрузки может существенно смещаться при измененнях температуры или после замены

траизистора, а также с течением времени. Это происходит из-за нестабильности параметров транзистора и за счет влияния обратного тока коллектора, величина которого сильно зависит от температуры, нмеет существенно разные значения у однотипных траизисторов и изменяется в течение срока службы траизистора.

Обе причины в конечном итоге приводят к изменению тока коллектора, т. е. к иестабильности режима каскада по постоянному току. Это нежелательно, так как положение рабочей области на динамических характеристиках каскада ограничено с двух сторон теми значеннями токов и напряжений, при которых амплитудная характеристика каскада становится нелинейной.

При увеличении постоянного тока коллектора это происходит из-за нелинейной зависимости тока коллектора от тока базы, так как в этой области выходной динамической характеристики коэффициент усиления по току ие постоянен При уменьшении коллекторного тока, что соответствует уменьшению тока базы, наблюдается существенная нелинейность входной динамической характеристики из-за того, что в этой области входных характеристик проявляется непостоянство входного сопротивления транзистора.

В усилительных каскадах, в которых по условиям работы может быть допущена некоторая нелинейность амплитудной характеристики, ограничивающим фактором положения рабочей области на выходной динамической линии нагрузки является возможность захода в режим отсечки или насыщения коллекторного тока.

Основным фактором, обусловливающим нестабильность режима транзисторного каскада, следует считать температурную иестабильность обратного тока коллектора $I_{\kappa 0}$, который представляет собой ток, протекающий через обратно смещенный диод коллекторно-базового перехода. У хороших транзисторов ток $I_{\kappa 0}$ мало зависит от напряжения между коллектором и базой. Температурная зависимость тока $I_{\kappa 0}$ выражается формулой

$$I_{\kappa 0(t)} = I_{\kappa 0} 2^{\frac{\Delta t}{b}}, \tag{49}$$

в которой I_{K0} — обратный ток коллектора при температуре 20° C; Δt — приращение температуры; b — постоянная величина (для германиевых транзисторов $b \approx 10^{\circ}$ C, а для кремниевых $b \approx 8^{\circ}$ C).

Формула (49) показывает, что при повышении температуры обратиый ток коллектора у германиевых транзисторов увеличивается примерно в 2 раза на каждые 10° С, а у кремниевых транзисторов — во столько же раз на каждые 8° С, т. е. растет еще быстрее. Но абсолютная величина обратного тока кремнневых транзисторов сравнительно невелика, что обусловливает их более высокую температурную стабильность.

В схеме с общей базой увеличение обратного тока коллектора вызывает уменьшение напряжения на коллекторе на величину

$$\Delta U_{\rm K} = \Delta I_{\rm K0} R_{\rm K}, \tag{50}$$

т. е. смещение рабочей точки определяется только приращением неуправляемой части коллекторного тока

$$\Delta I_{\kappa 0} = I_{\kappa 0 \ (t)} - I_{\kappa 0}. \tag{51}$$

Поэтому в схеме с общей базой для транзисторов какого-либо типа в заданном интервале рабочих температур требуемая стабильность положения рабочей точки может быть достигиута соответствующим выбором сопротивления резистора $R_{\rm K}$ в цепи коллектора.

В схеме с общим эмиттером (рис. 7, а) увеличение обратного тока коллектора вызывает такое изменение напряжения на базе транзистора, что транзистор открывается еще сильнее. Это приводит к увеличению тока коллектора, которое происходит преимущественио за счет изменения напряжения смещения и в меньшей мере за счет увеличения самого обратного тока Рабочая точка при этом смещается, т. е. режим каскада по постоянному току изменяется как за счет управляемой, так и исуправляемой частей коллекторного тока.

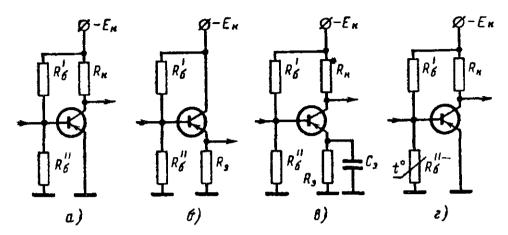


Рис. 7. Схемы импульсных каскадов.

a — нестабилизированный с общим эмиттером; b — с общим коллектором; b — с термокомпенсацией режима.

Это происходит потому, что в схеме с общим эмиттером неуправляємая часть коллекторного тока — обратный ток коллектора, попадая непосредственно на области коллектора в область базы, усиливается траизистором, вызывая приращение тока коллектора В большинстве случаев это приращение во много раз превышает величину самого обратного тока.

Следует заметить, что стабильность режима транзистора при прочих равных условиях тем лучше, чем более низкоомный делитель стоит в цепи базового смещения и чем меньше сопротивление резистора в цепи коллектора. Первое условие обеспечивает большую стабильность напряжения смещения на базе, которое в этом случае в меньшей степени подвержено влиянию изменяющегося обратного тока коллектора. Второе условие дает возможность коллекториой цепи работать при большем токе коллектора, т. е. в таком режиме, когда управляемая часть коллекторного тока становится существенно больше иеуправляемой части — обратного тока коллектора

Для оценки стабильности режима траизисторного каскада пользуются понятием коэффициента нестабильности

$$S_i = \frac{\Delta I_{\rm K}}{\Delta I_{\rm K0}} \,, \tag{52}$$

который показывает, во сколько раз приращение общего коллекторного тока ΔI_{κ} больше вызвавшего это приращение изменения обратного тока коллектора $\Delta I_{\kappa 0}$.

В схеме с общей базой приращение коллекторного тока происходит только за счет изменения обратного тока коллектора, т. е. $\Delta I_{\rm K} = \Delta I_{\rm K0}$. Поэтому коэффициент нестабильности в этой схеме равен

единице. Нужно сказать, что схема с общей базой обладает самым малым коэффициентом иестабильности, т. е является самой стабильной схемой из всех схем включения транзистора. Однако в низкочастотных каскадах эта схема применяется крайне редко, так как обладает очень малым входным сопротивлением и вследствие этого дает сравнительно небольшое усиление по мощности.

Схема с общим коллектором (рис. 7, б) применяется главным образом в качестве межкаскадного согласователя сопротивлений, так как она обладает самым высоким входным и самым низким выходным сопротивлением. Коэффициент нестабильности этого каскада из-за глубокой отрицательной обратной связн по постоянному напряжению имеет тоже довольно низкое значение и обычно какихлибо дополнительных мер стабилизации не требуется.

Наибольшее применение нмеет схема с общим эмиттером, позволяющая при прочих равных условиях получить самое большое значение коэффициента усиления по мощности. Но для получения удовлетворительной стабилизации режима эта схема требует в большинстве случаев специальных мер.

В каждом конкретном случае работы транзистора в усилительной схеме могут быть допущены различные изменения тока коллектора в зависимости от условий работы каскада и требований к стабильности его динамических параметров. Если допустимое изменение положения рабочей точки при выбранной величние нагрузочного сопротивления определено и известиа величина приращения обратного тока коллектора, то допустимый коэффициент нестабильности может быть вычислеи по формуле

$$S_{i_{\bullet},\text{gon}} = \frac{\Delta I_{\text{K},\text{gon}}}{\Delta I_{\text{K0}}}, \qquad (53)$$

в которой $\Delta I_{\rm K}$ доп— допустимое по условням работы каскада изменение тока коллектора — величина, связанная с допустимым изменением напряжения на коллектора $\Delta U_{\rm K, доп}$ следующим простым соотношением

$$\Delta I_{\text{K-AOI}} = \frac{\Delta U_{\text{K-AOI}}}{R_{\text{K}}} \,. \tag{54}$$

В транзисторном каскаде, построенном по схеме (рис. 7, а), коэффициент нестабильности может быть вычислен по формуле

$$S_i = 1 + \beta, \tag{55}$$

справедливой для случая, когда полное эквивалентное сопротивление резисторов в цепи базы $R_{\text{б.экв}}$ много больше входного сопротивления транзистора для постоянного тока $R_{\text{овх}}$, т. е.

$$R_{6.9 \text{KB}} = \frac{R_{6}^{'} R_{6}^{''}}{R_{6}^{'} + R_{6}^{''}} \gg R_{0 \text{ BY}}.$$

В большинстве случаев последнее условие довольно хорошо выполняется, так как для получения наибольшего усиления каскада по мощиости $R_{\mathbf{6.9KB}}$ выбирается большим.

Коэффициент иестабильности иестабилизированного транзисторного каскада (рис. 7, a) очень часто превышает значение допустимого коэффициента нестабильности, поэтому возникает иеобходимость использовать специальные методы стабилизации режима.

Сама по себе стабилизация режима имеет своей целью уменьшить до безопасной величины изменения коллекторного тока при действии всех дестабилизирующих факторов: изменения температуры, различия параметров транзисторов (что сказывается при их сменения пораметров транзисторов от промения пораметров от пораметро

не), изменения параметров транзистора от времени и т. п.

Наиболее эффективным методом стабилизации режима является использование огрицательных обратных связей по постоянному току, охватывающих данный каскад. На рис. 7, 8 приведена схема эмиттерной стабилизации, получившей благодаря своей простоте и эффективности наибольшее распространение B этой схеме отрицательная обратная связь создается за счет резистора R_9 , включенного в цепь эмиттера. Если требуется, чтобы в каскаде не создавалось отрицательной обратной связи по переменному току, резистор R_9 должен быть зашунтирован конденсатором достаточно большой емкости.

При эмиттерной стабилизации режима коэффициент нестабильности связан с номинальными значениями сопротивлений резисторов следующим соотношением

$$S_{i} = \frac{1 + \frac{R_{9}}{R_{6}'} + \frac{R_{9}}{R_{6}''}}{1 + \frac{R_{9}}{R_{6}'} + \frac{R_{9}}{R_{6}''} - \frac{\beta}{1 + \beta}}$$
 (56)

Наряду с методом стабилизации режима посредством отрицательных обратных связей в транзисторной технике довольно часто применяется метод температурной компенсации режима. В качестве компенсирующих термочувствительных элементов обычно используют терморезисторы с отрицательным температурным коэффициентом сопротивления.

Схема с термокомпенсацией режима приведена на рис. 7, г. В этон схеме с увеличением температуры сопротивление терморезнстора $R_{\rm 6}$ уменьшается. Это вызывает уменьшение отрицательного напряжения смещения на базе, т. е. компенсирует увеличение напряжения на базе, вызваниое увеличением (при повышении температуры) обратного тока коллектора. Если закон, по которому изменяется напряжение на базе вследствие уменьшения сопротивления $R_{\rm 6}^{\pi}$, близок к закону, по которому происходит измененне напряжения смещения вследствие действия обратного тока коллектора, то общий ток коллектора будет изменяться незначительно в достаточно инроком диапазоне температуры.

Метод термокомпенсации предпочтителен в том смысле, что позволяет дать сколь угодно высокую стабильность сравнительно простыми средствами. Однако реализовать на практике это преимущество затруднительно, так как однотипные транзисторы имеют большой разброс значений обратного тока и статического коэффициента усиления по току. Кроме того, с течением времени у одного и того же транзистора эти величины могут существенно измеияться Все это затрудняет обеспечение взаимозаменяемости транзисторов в схеме, т. е. требует индивидуального подбора для каждого транзистора термокомпенсирующей цепочки, а также не обеспечивает для некоторого числа транзисторов хорошей стабильности режима в течение всего срока службы траизистора. Обычно метод термокомпенсации применяется совместно с методом стабилизации режима преимуществению в мощных выходных каскадах, когда очень важно иметь возможно больший коэффициент усиления по мощности при удовлетворительном к п д. каскада.

ТЕПЛОВОЙ РЕЖИМ ТРАНЗИСТОРОВ

Для надежной и стабильной работы транзистора очень большое значение имеет его температурный режим, т. е. условия теплообмена между транзистором и окружающей средой. Являясь потребителем электрической энергии, транзистор нагревается, вследствие чего его температура зависит не только от температуры окружающего воздуха, но и от мощности, рассеиваемой на транзисторе.

Основной характеристикой теплового режима транзистора является температура его электронно-дырочных переходов — тех областей транзистора, в которых влияние температуры на свойства траи-

зистора проявляется в наиболее сильной степени

Основная часть электрической мощности, рассеиваемой на транзнсторе, выделяется на коллекторном переходе. Поэтому в справочных данных и паспортах транзисторов указывается наивысшая температура на коллекторном переходе $t_{\text{п.макс}}$, при которой сохраняется работоспособность транзистора. Эта температура называется максимальной или предельно допустимой температурой коллекторного перехода. В любом случае эксплуатации траизистора температура на коллекторе не должна превышать этой величины.

За счет тепловой мощности, выделяющейся внутри траизистора, температура коллекторного перехода может значительно превышать температуру окружающего воздуха. Перепад температур между переходом и окружающей средой зависит от конструкции транзистора

и площади поверхности его корпуса или радиатора.

Непосредственное измерение температуры коллекторного перехода, иаходящегося внутри корпуса транзистора, затруднительно. Поэтому эту температуру определяют расчетным путем по известной мощности, рассеиваемой иа коллекторе, и температуре корпуса транзистора или температуре окружающей среды.

Для оценки перепада температур между двумя какими-лнбо областями пользуются понятием теплового сопротивления, которое равно разности температур между этими областями, если в одной из иих выделяется 1 вт тепловой мощиости. Тепловое сопротивление из-

меряется в градусах Цельсия на ватт.

В справочных даиных на траизисторы содержатся сведения о значениях тепловых сопротивлений для каждого типа траизистора. Если известна величина теплового сопротивления $R_{\rm n.c.}$ между переходом и окружающей средой, которая для данного типа траизисторов является величиной постоянной, то температуру коллекторного перехода $t_{\rm n}$ можно вычислить по формуле

$$t_{\rm n} = t_{\rm c} + P_{\rm K} R_{\rm n.c}, \tag{57}$$

в которой $t_{\rm c}$ — температура окружающей среды и $P_{\rm K}$ — мощиость, рассеиваемая на коллекторе транзистора.

Из предыдущей формулы следует, что температура перехода всегда выше температуры окружающей среды на величину $P_{\kappa}R_{\text{n.c.}}$ Кроме того, очевидно, что температура перехода тем выше, чем больше тепловое сопротивление между переходом и окружающей средой.

Следовательно, для каждого типа траизисторов при некоторой температуре окружающей среды существует такая мощность, рассеиваемая на коллекторе, при которой температура перехода равн допустимой. Эта мощность, называемая предельной или максималь пой, может быть подсчитана по формуле

$$P_{\text{Makc}} = \frac{t_{\text{n Makc}} - t_{\text{c}}}{R_{\text{n.c}}}.$$
 (58)

Превышение этой мощности недопустнмо, так как ведет к резкому ухудшению свойств транзистора и к потере надежности.

Улучшение условий охлаждения транзисторов существенно увеличивает их срок службы и является основой надежной и стабиль ной работы всего транзисторного устройства. Известно, например что сиижение температуры перехода всего на 10° С от допустимой величины увеличивает срок службы транзистора примерно в 2 раза

Обеспечение нормального теплового режима траизисторов средней и большой мощности достигается применением искусственных теплоотводов — радиа горов. При этом мощиость, рассеиваемая на транзисторе, может быть значительно увеличена. В этом случае максимальная мощность определяется по формуле

$$P_{\text{Makc}} = \frac{t_{\text{n·Makc}} - t_{\text{c}}}{R_{\text{n·k}} + R_{\text{k·c}}},$$
(59)

где $R_{\rm II \ K}$ — тепловое сопротивление между переходом и корпусом транзистора, а $R_{\rm K \ C}$ — тепловое сопротивление радиатора (тепловое сопротивление между корпусом транзистора и окружающей средой). Чем меньше тепловое сопротивление радиатора, тем лучше охлаждается транзистор, но больше размеры радиатора

Требуемое для обеспечения нормального теплового режима тран зистора тепловое сопротивление радиатора можно определить из соотношения

$$R_{\text{K-C}} = \frac{t_{\text{II-MdKC}} - t_{\text{C}}}{P_{\text{K}}} - R_{\text{II-K}},$$
 (60)

а площадь поверхности радиатора, обладающего нужным тепловым сопротивлением, вычисляется по следующей приближениой формуле

$$S_{\rm p} = \frac{1000}{R_{\rm K.S.}}, \ cm^2 \tag{61}$$

Чтобы уменьшить габариты и вес радиатора, его обычио изготовляют из легких металлов с высокой теплопроводностью — алюми ния или его сплавов. Толщину стенок и ребер радиатора для низко частотных и импульсных каскадов выбирают из условия обеспечения необходимой механической прочности конструкции.

Крепление транзистора к радиатору должно обеспечнвать надежный тепловой контакт. Перед закреплением транзистора к радиатору контактирующие поверхности рекомендуется слегка смазать невысыхающим техническим маслом.

В качестве теплоотводов можно использовать поверхности металлических конструкций радиоэлектронного блока и его шасси. Если при этом возникает необходимость электрически изолировать корпус транзистора от теплоотвода, то между контактирующими поверхностями прокладывают тонкую и прочную слюдяную прокладку с не-

большими отверстиями под выводы транзистора. При этом тепловое сопротивление теплоотвода увеличивается, примерио, на 1° C/вт на каждые 0.1 мм толщины прокладки.

Радиатор необходимо располагать по возможности дальше от деталей, нмеющих повышенную относительно окружающего воздуха температуру. Плоскости основной поверхности радиатора и его ребер должны располагаться в вертикальном положении, что улучшает условия конвекции. Поверхности радиатора полезно зачистить крупнозериистой наждачной бумагой, что заметно уменьщает тепловое сопротнвление радиатора.

Глава вторая

ОБЩИЕ ПРИНЦИПЫ РАБОТЫ РАЗВЕРТЫВАЮЩИХ И СИНХРОНИЗИРУЮЩИХ УСТРОЙСТВ В ТЕЛЕВИЗОРЕ

ФОРМИРОВАНИЕ ТЕЛЕВИЗИОННОГО РАСТРА

Формирование телевизионного изображения на экране приемной трубки осуществляется путем его развертки от элемента к элементу вдоль каждой строки и от строки к строке по кадру.

Совокупиость положений светового пятна на экране приемной трубки, при помощи которого происходит поэлементная развертка воспроизводимого изображения, образует телевизионный растр. Структура растра определяется законом развертки.

В вещательном телевидении применяется линейная развертка, у которой скорость перемещения развертывающего луча в активные моменты времени работы развертки постоянна. Это позволяет получить постоянство четкости и яркости по всему полю воспроизводимого изображения Постоянство скорости движения луча обеспечивается формированием генераторами развертки соответствующих линейных пилообразных токов в огклоняющих катушках приемной и передающей трубок.

Линейные развертки подразделяют на построчные (прогрессив-

иые) и чересстрочные. Рассмотрим кратко их особенности.

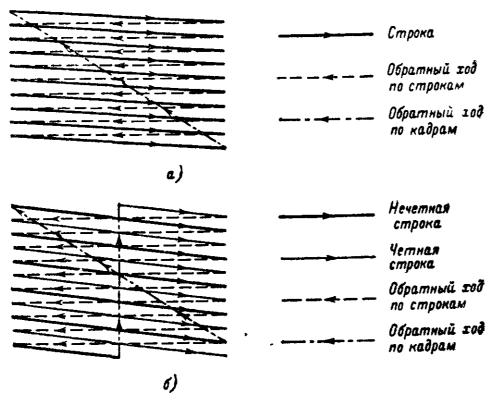
При построчной развертке (рис. 8, а) развертывающий луч движется по горизонтали, прочерчивая строку растра, и одновременно смещается по вертикали. К концу строки он несколько сместится вииз относительно ее иачала. Затем, очень быстро возвращаясь к началу строки, развертывающий луч займет положение, соответствующее началу второй строки, и т. д. После того, как будут прочерчены все строки одного кадра, луч быстро возвратится к началу первой строки, и процесс формирования нового кадра полностью повторится. Для построчного растра характерно то, что цикл развертки периодически повторяется от первой строки до последией, т. е. кадр за кадром.

При чересстрочной развертке (рис. 8, 6) полное число строк в кадре формируется в два приема — двумя полукадрами (полями). В первом полукадре происходит, например, развертка только нечетных строк, а во втором — только четных строк. Строки второго полукадра размещаются точно посредине между строками первого полукадра. Полиый кадр образуется из суммы строк двух полукад-

ров, а строки одного полукадра перемежаются на растре со строка-

ми другого полукадра

Необходимое перемежение четиых и нечетных строк при чересстрочной развертке получается потому, что общее число строк в кадре выбирается нечетным. Так, если нечетный полукадр начинается с начала строки, то он кончается на половине строки; последующий четный полукадр начинается обязательно с оставшейся половины строки и кончается полной строкой этого полукадра. Вследствие



Рнс. 8. Телевизионный растр при построчной (а) и чересстрочной (б) развертках луча.

этого четный и нечетный полукадры оказываются сдвинутыми друг относительно друга по вертикали.

Построчная развертка имеет ограниченное применение и используется иногда только в телевизионных установках узкого назначения. В телевизионном вещаиии применяется чересстрочная развертка, позволяющая по сравнению с построчной разверткой при прочих равных условиях вдвое сократнть требуемую полосу частот сигнала изображения

Как известно, требуемая полоса частот сигнала изображения должна быть тем шире, чем больше строк и кадров передается в единицу времеии. С уменьшением числа строк в кадре ухудшается четкость телевизионного изображения по вертикали, а с уменьшением частоты кадров ниже 50 гц начинает проявляться неприятное для зрения мерцание экрана.

Чересстрочная развертка позволяет вдвое понизить частоту кадров, а следовательно, и сократить требуемую полосу частот сигнала изображения, сохранив прнемлемое качество воспринимаемого зрителем телевизионного изображения. По стандарту, действующему в нашей стране, полное число строк в кадре составляет Z=625 Полный кадр, состоящий из двух полукадроь, имеет частоту $n_{\rm K}=25$ гц. Соответственно частота полукадров равна $n_{\rm H}=50$ гц.

СУЩНОСТЬ РАБОТЫ РАЗВЕРТЫВАЮЩИХ И СИНХРОНИЗИРУЮЩИХ УСТРОЙСТВ ТЕЛЕВИЗОРА

Управление электронным лучом в кинескопе осуществляется с помощью переменных магнитных полей, создаваемых токами, которые протекают в отклоняющих катушках. Устройства, служащие для создания этих токов, называются развертывающими устройствами или генераторами развертки

Для получения телевизионного растра необходимо иметь две пары отклоняющих катушек, одна из которых перемещает луч в горизонтальном направлении, а другая — в вертикальном направлении. Обе пары отклоняющих катушек совмещены в один общий узел, называемый отклоняющей системой, которая размещается на горловине кинескопа.

Пара отклоняющих катушек, служащая для горизонтального отклонения электроиного луча, называется строчными отклоняющими катушками. Другая пара катушек, предназначенная для вертикального отклонения луча, называется кадровыми отклоняющими катушками

Кадровые и строчные отклоняющие катушки электрически связаны с соответствующими генераторами развертки и являются нагрузками этих генераторов.

Одно из основных условий неискаженной передачи телевизиоиного изображения заключается в том, чтобы положение электрониого луча на мишени передающей трубки совпадало с положением светового пятна на экране кинескопа. Это условие требует синхронности и синфазности работы разверток в передающей камере н в телевизоре.

Задача синхронной и синфазной работы генераторов развертки при передаче и приеме изображения решается устройствами синхронизации, входящими в комплекс передающей и приемной аппа-

ратуры.

Для получения сихронизации телевизионный сигнал должен содержать информацию о том, в каком положении в даниый момент времени находится электронный луч на мишени передающей трубки. чтобы использовать эту информацию в телевизоре для управления положением светового пятна на экране приемной трубки. При этом нет необходимости передавать эту информацию непрерывно во времени, а достаточно лишь отметить узловые фазы работы генераторов развертки в передающей камере — моменты времени, соответствующие, например, концам строк и полукадров. В эгом случае создаются прииципиальные возможности обеспечить условия, при которых конец каждой строки и полукадра на экране телевизора совпадает во времени с концом каждой строки и полукадра в передающей камере. В другие моменты времеии положения развертывающих лучей будут тоже совпадать, так как развертка луча в телевизоре осуществляется по тому же закону, что и в передающей камере.

Синхронизирующая информация передается в форме прямоугольных импульсов напряжения — синхроимпульсов, добавляемых к сигналу, изображения. Сигнал изображения вместе с синхроим-пульсами образует так иззываемый полный телевизионный сигнал, который часто называют просто видеосигиалом.

Сигналы снихронизации должны иметь признаки, отличающие их от сигнала изображения, чтобы можно было выделить синхрочимпульсы из видеосигнала, т. е. получить в телевизоре синхронизирующую информацию в чистом виде, наиболее пригодном для е. дальнейшего использования. Такими отличительными признаками.

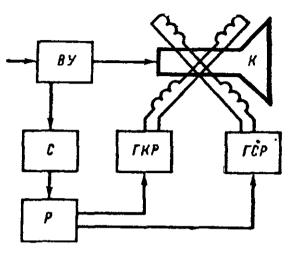


Рис. 9. Тракт формировання телевизионного изображення (ВУ—видеоусилитель; С—амплитудиый селектор; Р—разделитель; ГКР—генератор кадровой развертки; ГСР—генератор строчной развертки; К—кинескоп).

34

являются уровни напряжения на которых передаются сигналы изображения и сигналы син хронизации.

Импульсы синхронизации подразделяются на строчные и кадровые. Первые служат для синхронизации в телевизорегенератора строчной развертки, а вторые — для синхронизации задающего генератора кадровой развертки. Строчные и кадровые синхроимпульсы различаются между собой по длительности, что позволяет выделить их отдельно друг от друга — разделить.

Синхронизирующее устройство телевизора выделяет синхроимпульсы из видеосигнала и разделяет их на строчные и кадровые. Затем эти импульсы используются для управления частотой и фазой генераторов развертки телевизора.

Для большей наглядности изложенного рассмотрим блок-схему тракта формирования телевизионного изображення в телевизоре (рис. 9). Он содержит видеоусилитель, с которого видеосигнал подается на управляющий электрод кинескопа. Одновременно с выхода видеоусилителя вндеосигнал подводится к селектору, в котором происходит отделение импульсов синхронизации от видеосигнала. На выходе селектора остаются только синхроимпульсы без сигнала изображения.

Затем в последующем блоке-разделителе синхроимпульсы сортируются на строчные и кадровые и поступают соответственно на генераторы строчной и кадровой развертки.

Непосредственно воздействуя иа режим работы генераторов развертки, сиихроимпульсы заставляют эти генераторы срабатывать в строго определенные моменты времени, т. е. происходит сиихронизация генераторов развертки. Каждый из генераторов развертки представляет собой самовозбуждающийся генератор, состоящий обычно из маломощного задающего генератора, работающего в режиме самовозбуждения, и мощного усилителя, нагрузкой которого являются отклоняющие катушки. Задающие генераторы развертки вырабатывают управляющее напряжение необходимой формы.

Усилительная часть схемы траизисториых генераторов развертки чаще всего содержит, кроме выходного каскада, один или два предварительных каскада, основное назначение которых — получить достаточное уснление в этой части схемы.

СТРУКТУРА ПОЛНОГО ТЕЛЕВИЗИОННОГО СИГНАЛА

Полиый телевизнониый сигнал, состоящий из сигналов изображения и сигиалов снихронизации, должеи удовлетворять следующим требованиям: 1) синхроимпульсы не должны создавать видимых помех иа изображении; 2) во время передачи синхроимпульсов сигнал изображения не должен мешать работе синхроннзиру-

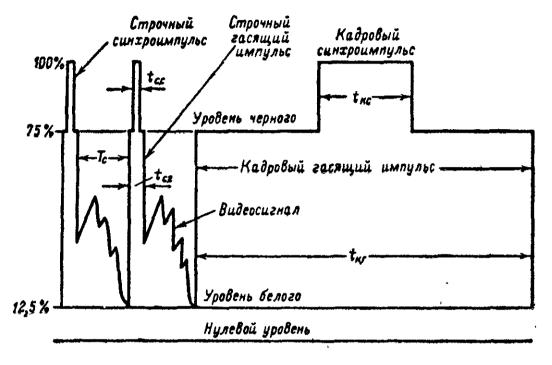


Рис. 10. Упрощенная форма полного телевизионного сигнала.

ющих устройств; 3) должна быть предусмотрена возможность наиболее простыми средствами отделять синхроимпульсы от полного телевизионного сигнала и разделять их на строчные и кадровые; 4) форма синхроимпульсов и порядок их следования должны обеспечивать надежную н устойчивую синхронизацию генераторов развертки.

Рассмотрим изображенную на рнс. 10 упрощенную форму стан-

дартного телевизионного сигнала.

Прежде всего обратим вниманне на то, что полный телевизионный сигнал условно делигся на несколько уровней напряжения. Принимая весь размах полного телевизионного сигнала за 100%, отметим уровень, составляющий 12,5% всего размаха и отсчитываемый от нулевого уровня. Этот уровень соответствует самым светлым участкам изображения и называется уровнем белого.

Уровень, отсчитываемый от нулевого и составляющий 75% от полного размаха телевизионного сигнала, называется уровнем черного. Он соответствует самым темным участкам изображения, т. е.

запиранию электроиного луча кинескопа.

Сигнал изображення, управляющий яркостью свечения развертывающего пятна на экране приемной трубки, передается во время

прямого хода строчной развертки T_c . Время передачи одной строки составляет $T_c = 54$ мксек. По условням формирования сигнал изображения может принимать только те мгновенные значения напряжения, которые располагаются между уровием белого и уровнем черного.

Чтобы электронный луч при своем движении во время обратиого хода по строкам и кадрам не засвечивал экраи, в телевизионный снгнал вводятся специальные гасящие импульсы, вершины которых располагаются на уровие черного. Строчный гасящий нмпульс имеет длительность $t_{c,r} = 10.2 - 11.5$ мксек, кадровый гасящий импульс составляет около $t_{K,\Gamma} = 1,5$ мсек.

Для передачи синхроимпульсов используют те момеиты времени, когда развертывающий луч совершает обратный ход по строкам и по кадрам. Сиихроимпульсы, размах которых составляет примерно 25% размаха полного телевизноиного сигнала, располагаются на гасящих импульсах как на пьедестале, т. е. выше уровня черного. Такое положение синхроимпульсов делает их невидимыми на экране кинескопа и обеспечивает возможность их отделения от сигнала изображения. Длительность строчного снихроимпульса составляет $t_{\rm c.c} = 5.1$ мксек, а длительность кадрового синхроимпульса $t_{\rm K.c} =$ = 192 мксек (т. е. три строки).

Соответственно период строчной развертки равен H = 64 мксек, а период кадровой развертки V=20 мсек. Более 20% всего времени телевизионной передачи отводится для сигналов синхроинзации.

Длительность кадрового сиихроимпульса превышает длительность строчного сиихроимпульса в число раз, равное

$$\frac{t_{\text{c.k}}}{t_{\text{c.c}}} = \frac{192}{5,1} = 37,5,$$

Это позволяет воспользоваться сравнительно простыми и достаточно иадежными средствами для четкого разделения строчных и кадровых сиихроимпульсов.

Полиый телевизионный сигнал, используемый на практике, несколько отличается от изображенного на рис. 10. Недостатком рассмотренной нами упрощениой формы телевизионного сигнала является отсутствие в ием сигналов строчной синхронизации во время кадрового гасящего импульса. При этом за время, пока строчные синхроимпульсы отсутствуют, частота колебаний задающего генератора строчной развертки может значительно отклониться от частоты следования синхроимпульсов. После того, как синхроимпульсы онять появятся, потребуется некоторое время, прежде чем задающий генератор строк виовь войдет в синхронизм, так как этот процесс инерционен. Это приведет к нарушению синхронизации в начале кадра, т е. будет искажена верхняя часть изображения. Следовательно, сигналы строчной синхронизации необходимо передавать иепрерывио.

В полном телевизионном сигнале (рис. 11), используемом иа практике, сигиалы строчной синхронизации во время кадровых сиихроимпульсов передаются в форме так называемых врезок, расположенных непосредственио на Кадровых синхроимпульсах.

При рассмотрении способа формировання чересстрочного растра мы установили, что четный и иечетный полукадры сдвинуты относительно друг друга на время, равное длительности половины строки. В связи с этим временной интервал между соседними строчиыми и кадровыми синхроимпульсами не остается постоянным для четно-

го и иечетного полукадра. Кроме того, местоположение и число врезок в кадровых сиихроимпульсах в нетных и нечетных полукадрах тоже получаются неодинаковыми.

Чтобы условия при разделении строчных и кадровых синхроимпульсов в четном и нечетном полукадрах были одинаковыми, частота следования строчных синхронизирующих импульсов удваивается до, во время и после передачи кадрового синхроимпульса. В этом случае структура синхроимпульсов во время передачи кадрового гасящего импульса для четного и нечетного полукадров оказывается одинаковой.

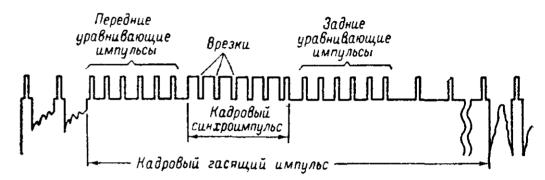


Рис. 11. Форма стандартного телевизионного сигнала.

Удвоение строчных синхроимпульсов достигается введением в промежутки между основными строчными снихроимпульсами и врезками дополнительных импульсов и врезок. Импульсы двойной строчной частоты, следующие до и после передачи кадрового синхроимпульса, называют уравнивающими.

OCHOBHOLE TPEBOBAHUS K FEHEPATOPAM PASBEPTKI

Для иеискаженной передачи телевизионного изображення необходимо, чтобы линейная скорость перемещения луча в плоскости экрана приемной трубки в активиые моменты времени работы развертки была по возможности постоянной. Отклонение закоиа развертки от линейного вызывает специфические искаження телевизиоиного изображения на экране приемной трубки, выражающиеся в нарушении геометрических пропорций объектов воспроизводимого нзображення.

Степень этих искажений характеризуется коэффициентами нелинейности по горизонтали и вертикали. Нелинейность по горизонтали связана с работой строчной развертки, а нелинейность по верти-

кали — с работой кадровой развертки.

Коэффициенты нелинейности разверток измеряют непосредственно иа экране трубки с помощью специальных генераторов, подключаемых на вход видеоусилителя. Испытательный видеосигиал генератора снабжен сиихронизирующими импульсами согласно телевизионному стандарту и в активные моменты времени имеет форму прямоугольных симметричных импульсов, следующих с постоянной частотой Частота генератора и уровень испытательного сигнала могут устанавливаться такими, чтобы на экране трубки четко просматривались либо горизонтальные, либо вертикальные чередующиеся светлые и темные полосы. Число полос обычно выбирается от 10 до 20.

Для проверки личейности кадровой развертки измеряют ширину самой узкой и самой широкой горизонтальных полос. Величину коэффициента нелинейности подсчитывают по формуле

$$k_{\rm H} = 2\frac{A - B}{A + B} 100\%, \tag{62}$$

в которой A и B — ширина самой широкой и самой узкой полосок соответственно.

Линейность строчной развертки проверяется аналогично, но для этого используется изображение вертикальных полос.

Следует заметить, что при просмотре нормального телевизионного изображения иелинейные искажения разверток порядка 8—10% почти незаметны для глаза.

В радиолюбительской практике линейность разверток обычно проверяют по стандартной телевизионной испытательной таблице. При хорошей линейности размеры квадратов таблицы примерно одинаковы, а большой круг в центре таблицы имеет более или менее правильную форму.

Другим важным параметром развертывающих устройств является устойчивость синхронизации, которая характеризуется способиостью генераторов развертки эффективно работать в режиме вынужденных колебаний, т. е. с частотой следования синхронизирующих импульсов.

Захватывание колебательного процесса в самовозбуждающихся генераторах наиболее устойчиво, когда собственная частота генератора мало отличается от частоты приходящих синхроимпульсов. Однако целый ряд факторов, наиболее существенными из которых являются колебания окружающей температуры и иестабильность напряжения источников питания, вызывают изменение собственной частоты задающего генератора. При этом собственная частота может иастолько отличаться от частоты сиихроимпульсов, что задающий генератор может выйти из режима вынужденных колебаний, и сиихронизация иарушится.

Кроме того, по мере-изменения собственной частоты задающего генератора, когда разность между частотой собственных колебаний и частотой сиихроимпульсов увеличивается, ухудшается помехо-устойчивость. В этом случае синхронизация легче срывается при воздействии помех.

Устойчивость синхронизации характеризуется стабильностью собственной частоты задающего генератора и полосой захвата — областью собственных частот, в пределах которой происходит быстрое захватывание частоты задающего генератора, т. е. уверенное вхождение генератора в режим вынужденных колебаний.

Полоса захвата генераторов кадровой развертки современных телевизоров составляет 10-15 гу. Строчная развертка обычио имеет полосу захвата $\pm (500 \div 1\ 000)$ гу.

Очень важным качеством телевизионной развертки является наличие симметричной чересстрочиости, которая характеризуется тём, что строки одиого полукадра располагаются точно посредине между строками другого. Значнтельное нарушение этой симметрии выражается в «слипании» соседних строк кадра, что приводит к потере четкости телевизионного изображения. Симметричность чересстрочной развертки должиа сохраняться в пределах полосы захвата задающего генератора или, по крайней мере, в пределах возможного изменения его собственной частоты.

Большое внимание при разработке транзисторных схем развертки должно уделяться стабильности параметров при колебаниях окружающей температуры и при изменениях напряжения источника пнтания Особенно интенсивные изменения при воздействии этих факторов испытывают размер растра по вертикали и горизонтали, а также линейность развертки.

СПОСОБЫ ПОЛУЧЕНИЯ ПИЛООБРАЗНЫХ НАПРЯЖЕНИЙ И ТОКОВ

Смещение луча на экране кинескопа в первом приближенин линейно зависит от тока, протекающего в отклоняющих катушках. Следовательно, задача отклонения луча на экране сводится к по-

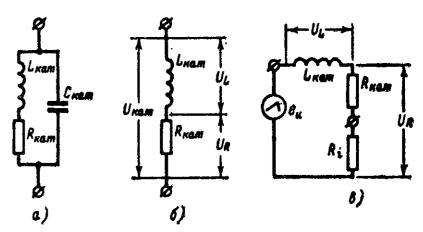


Рис. 12. Эквивалентиые схемы.

a — полная эквивалентиая схема отклоняющих катушек; b — упрощенная эквивалентная схема для кадровых отклоняющих катушек; b — полная эквивалентная схема генератора пнлообразного тока кадровой частоты.

лученню в отклоняющих катушках достаточно больших по величиие линейных пилообразных токов.

Форма отклоняющего тока во время обратного хода развертки по строкам и кадрам принципиального значения не имеет, так как в это время ннформация изображения не передается, а кинескоп заперт гасящим импульсом видеосигнала.

Для оценки геометрических искажений нзображения, возникающих вследствие непостоянства скорости перемещения развертывающего луча вдоль строк и по кадру нз-за нелинейности пилообразных отклоняющих токов, вводится понятие коэффициента нелинейности пилообразных токов

$$k_{\rm H} = \frac{V_{\rm MAKC} - V_{\rm MHH}}{V_{\rm cp}} = 2 \frac{V_{\rm MAKC} - V_{\rm MHH}}{V_{\rm MAKC} + V_{\rm MHH}}$$
, (63)

который равен разности между максимальной и минимальной скоростями изменения тока во времени, отнесенной к средней скорости.

Методы и приемы, которые используются для получения пилообразных токов в строчных и кадровых катушках, различны. Это различие обусловливается тем, что частота пилообразного тока в строчных отклоняющих катушках в 312,5 раза выше частоты пилообразного тока в кадровых отклоняющих катушках. Вследствие этого характер нагрузки у обоих генераторов получается существенно различным

На рис. 12, a приведена эквивалентная схема отклоняющей катушки Здесь $L_{\rm кат}$ — индуктивность катушки, $R_{\rm кат}$ — ее активное сопротивление и $C_{\rm кат}$ — межвитковая емкость катушки.

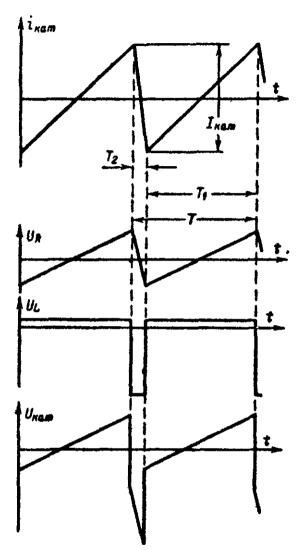


Рис. 13. Эпюры напряжений и токов в кадровых отклоняющих катушках.

На относительно низкой частоте кадровой развертки катушка обладает преимущественным активиым сопротивлением и межвитковой емкостью катушки в этом случае можно пренебречь. Индуктивность отклоняющих катушек влияет только в момент обратного хода кадровой развертки, когда изменение тока в катушке имеет наибольшую скорость.

Следовательно, выходной каскад кадровой развертки, нагрузкой которого являются кадровые отклоняющие катушки, оказывается нагруженным иа активное сопротивление отклоняющих катушек и в пределаж прямого хода развертки представляет собой обычный личейный усилитель, работающий в режиме, аналогичном режиму класса А.

На частоте строчной развертки отклоияющие катушки обладают преимущественно индуктивным сопротивлением. Существенную роль в этом случае играет межвитковая емкость отклоняющих катушек.

Рассмотрим эквивалентную схему (рис 12, б) кадровых от клоняющих катушек и выясним какой формы напряжение нужно подвести к этим катушкам чтобы получить в них пилооб разиый ток $\iota_{\text{кат}}$ (рис 13).

Если бы схема (см. рис. 12, 6) состояла только из активного сопротивления, то к ней, очевидно, потребовалось бы подвести пилообразное напряжение U_R (рис. 13). А если бы эта система состоялатолько из индуктивности, то, как известно, пилообразный ток в ней можно было бы получить только при условии, что к ней будет подведено прямоугольно-импульсное напряжение U_L (рис. 13).

Нужная форма напряжения получится, если сложить по точкам напряжение на активном сопротивлении и напряжение на индуктивности В результате такого сложения получится пилообразно-импульсиое напряжение $U_{\rm кат}$ (рис. 13), которое имеет линейно нарастающий участок во время прямого хода T_1 и импульсный скачом

напряжения во время обратного хода T_2 . Следовательно, для получения в кадровых отклоняющих катушках пилообразного тока с линейным прямым ходом необходимо на катушки подать пилообразно-импульсное напряжение

Следует отметить, что соотношение между импульсной составляющей U_L и пилообразиой составляющей U_R определяется соотношением между индуктивностью $L_{\rm kat}$ и активным сопротивлением $R_{\rm kat}$, т. е. зависит от постоянной временн катушек:

$$au_{ ext{KaT}} = rac{L_{ ext{KaT}}}{R_{ ext{KaT}}} \, .$$

Чем больше постоянная времени катушек, тем больше должна быть импульсная составляющая напряжения по сравиению с пилообразной составляющей. Идеально линейное нарастание тока в отклоняющих катушках будет в случае, когда соблюдается условие

$$\frac{\mathcal{U}_L}{U_R} = \tau_{\text{KaT}} \left(\frac{1}{T_1} + \frac{1}{T_2} \right). \tag{64}$$

Увеличение или уменьшение импульсной составляющей напряжения на катушках против оптимальной величины, определяемой соотношением (64), приводит к ухудшению линейности пилообразного тока в этих катушках. Одиако следует иметь в виду, что это соотношение не учитывает влияния внутреннего сопротивления источника пилообразного-импульсного напряжения R_i , т. е. при выводе его предполагалось, что $R_i = 0$. Количественная взаимосвязь между пилообразной и импульсной составляющими, необходимая для получения линейно изменяющегося тока, с учетом внутреннего сопротивления источника (см. рис. 12, в) выражается соотношением

$$\frac{U_L}{U_R} = \frac{L_{\text{KaT}}}{R_i + R_{\text{KaT}}} \left(\frac{1}{T_1} + \frac{1}{T_2} \right) = \tau_{\text{SKB}} \left(\frac{1}{T_1} + \frac{1}{T_2} \right), \quad (65)$$

из которого следует, что при работе от источника с очень большим внутренним сопротивлением эквивалентная постоянная времени катушки $\tau_{3 \text{KB}}$ делается настолько малой, что требуется незначительная импульсная составляющая напряжения, которой можно пренебречь без заметного ухудшения линейности пилообразного тока.

Это положение интересно рассмотреть применительно к транзисторным источникам пилообразно-импульсного напряжения, т. е. с точки эрения выходных каскадов генератора кадровой развертки. Если каскад включен по схеме с общим эмиттером, когда выходное сопротивление R_t относительно велико, требуется небольшое импульсное напряжение A в случае включения каскада по схеме с общим коллектором, когда выходиое сопротивление каскада мало, требуется большое импульсное напряжение.

Считая условно амплитудную характеристику каскада линейной, можно сделать следующий вывод. требуемое соотиошение между импульсной и пилообразной составляющими напряжения, подводимыми к входному электроду транзистора, зависит от выходного сопротивления каскада. Если каскад обладает большим внутренним сопротивлением для переменного тока в точке подключения отклоняющих катушек, то на его входном электроде напряжение должно быть практически пилообразным, а если каскад имеет малое внут-

реннее сопротивление, то входное напряжение должно иметь значи-

тельную импульсную составляющую.

Нужно иметь в виду, что при работе кадровых отклоняющих катушек от источника с очень большим внутренним сопротивлением, несмотря на то, что импульсная составляющая во входном напряжеиии каскада отсутствует, на катушках произойдет всплеск иапряжения, имеющий характер импульсной составляющей, который возникает за счет самоиндукции катушек. В любом случае всплеск напряжения равен:

$$U_{L} = \frac{I_{\text{KaT}} L_{\text{KaT}}}{T_2}, \qquad (66)$$

где $I_{\text{кат}}$ — размах отклоняющего тока в катушках.

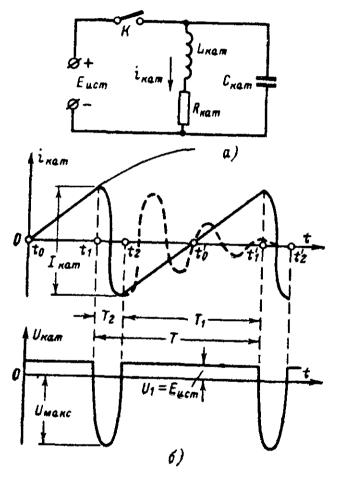


Рис. 14. Схема формирования пилообразного тока с помощью двустороннепроводящего ключа (а) и эпюры напряжений и токов (б).

ки, которая не обладает собственной эта емкость все же оказывает влияние, несколько видеоизменяя форму импульсов обратного хода На частоте строчной развертки постоянная времени отклоняющих катушек становится сравнимой с периодом строчной развертки. Если бы в этих условиях этой емкостью можно было пренебречь, то для получения пилообразного тока в катушках достаточно было оы подвести к ним толь-

Из последнего выражения следует, что увеличение времени обратного хода T_2 вызывает соответственное уменьшение импульсной составляющей, и наоборот. Поэтому, если необходимо уменьшить величину импульсной составляющей (всплеска напряжения на катушке), с необходимостью чего часто приходится сталкиваться на практике, надо уменьшить индуктивность катушки или увеличить время обратного хода развертки. Причем для заданной постоянной времени катушки уменьшение любым способом всплеска напряжения на ней будет сопровождаться ухудшением линейности пилообразного тока или увеличением длительности обратного хода.

Следует заметить. что все приведенные рассуждения в полной мере справедливы только для идеализированной кадровой отклоняющей катушемкостью На практике

ко импульсное напряжение без пилообразной составляющей. Однако из-за действия емкости катушек форма пилообразного тока очень сильно искажается, так как на нее накладываются затухающие гармонические колебания тока, возникающие в колебательном контуре, образованном индуктивностью катушек и их собственной емкостью. Этот процесс обязан своим происхождением тому, что период собственных колебаний контура получается на практике соизмеримым с периодом строчной развертки.

Для уменьшения паразитной емкости отклоняющих катушек необходимо сокращать число витков, т. е. уменьшать индуктивность катушек, а для гашения паразитных колебаний нужно шунтировать катушки активным сопротивлением, чтобы колебательный процесс в катушках был апериодическим. Все это связано с резким возрастанием мощности генератора строчной развертки, что делает схему

неэкономичной.

В телевизионных генераторах строчной развертки для повышения их эффективности применяется специальный способ формирования пилообразного отклоняющего тока, использующий собственные колебания в отклоняющих катушках. На рис. 14 приведена простейшая идеализированная схема генератора пилообразного тока строчной частоты, поясняющая этот способ, и даны эпюры токов и напряжений на отклоняющих катушках, характерные для этого способа.

При замыкании ключа K в момент времени t_0 через отклоняющие катушки начинает протекать ток $i_{\rm kar}$, нарастающий по экспоненциальному закону. Заметим, что начальный участок экспоненты имеет малую кривизну и изменение тока на этом участке происходит почти линейно во времени. Чтобы линейность отклоняющего тока была удовлетворительной, нарастание тока не должно заходить высоко в область, отмеченную на рис. 14 тонкой линией. Это условие можно удовлетворить, если соответствующим образом выбрать параметры отклоняющих катушек, пользуясь соотношением

$$k_{\rm H} = \frac{T_1}{\tau_{\rm KAT}} = T_1 \frac{R_{\rm KAT}}{L_{\rm KAT}}, \qquad (67)$$

в котором $k_{\rm H}$ — коэффициент нелинейности отклоняющего тока.

Если в момент времени t_1 разомкнуть ключ K, то в контуре, образованном индуктивностью $L_{\text{кат}}$ и емкостью $C_{\text{кат}}$, возникнут гармонические затухающие колебания с частотой, равной резонансной частоте контура. Во время, предшествующее моменту t_1 , гармонические колебания в контуре отсутствовали, так как контур был зашунтирован низким выходным сопротивленнем источника питания.

После выключения источника питания в момент времени t_1 ток контура, изменяясь по гармоническому закону, начнет уменьшаться. Уменьшаясь, он достигнет нулевого значения, изменит свое направленне в катушках и снова начнет увеличиваться по абсолютной величине. Если бы ключ К был оставлен в разомкнутом состоянии длительное время, то ток в контуре имел бы форму, отмеченную на рис. 14 штриховой линией.

По прошествин времени обратного хода T_2 в момент времени t_1 ключ К замыкается. Источник питания, подключенный к контуру, зашунтирует его. Гармонические колебания в контуре прекратятся, и ток в катушках опять будет изменяться почти линейно.

На первой стадии прямого хода T_{i} ток в катушках начнет уменьшаться по абсолютному значению. Направление тока в это время таково, что энергия от источника питания не потребляется, а наоборот — возвращается источнику, т. е. происходит подзаряд источника энергией, запасенной в катушке.

На второй стадин прямого хода T_1 , когда направление тока в катушке изменится на обратное, катушка виовь начнет запасать в себе энергию, потребляя ток от источника питания.

Таким образом, ток через ключ К проходит в двух направлениях Поэтому схему, изображенную на рис. 14, называют схемой с двустороннепроводящим (двусторонним) ключом. Работа этой схемы основана на использовании электрических процессов в чисто реактивных элементах, и если бы можно было устранить потерн

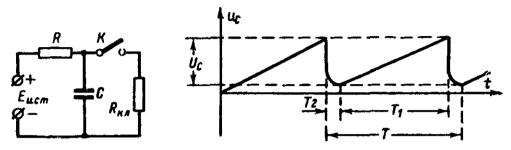


Рис. 15. Формирование пилообразного напряжения с помощью рэзрядной цепочки.

в паразитных активных цейях, то такая схема не потребляла бы активной мощности от источника питания. На практике, к сожалению, потери активной мощности весьма значительны.

В схеме с двусторонним ключом параметры колебательного контура, образованного индуктивностью катушки и ее емкостью, выбирают так, чтобы этот контур был настроен иа частоту, период которой в 2 раза больше времени обратного хода строчной развертки. Это условие обеспечивает требуемую длительность обратного хода.

Во время обратного хода развертки вследствие резонансных явлений в контуре возникает всплеск напряжения $U_{\rm Mc}$, представляющий собой полпериода гармонических колебаний напряжения, сдвинутого во времени относительно тока этой катушки на время, равное четверти периода гармонического колебания. Напряжение опережает ток по фазе на 90° .

В реальном транзисторном выходном каскаде строчной развертки роль двустороннего ключа выполняет транзистор в совокупности с полупроводниковым диодом. При этом транзистор работает в ключевом режиме и управляется импульсами напряжения.

Основной метод получения пилообразного напряжения заключается в использовании явления заряда и разряда конденсатора. Рассмотрим схему, иозбраженную на рис. 15. При включении источника пнтания конденсатор C постепенно заряжается через резистор R, и напряжение на конденсаторе возрастает по экспоненциальному закону. Если для заряда конденсатора используется начальный участок экспоненты, то закон изменения напряжения на конденсаторе будет почти линейным.

По прошествии времени T_1 замкнем ключ K. Если сопротивление резнстора R существенно превышает внутреннее сопротивление ключа $R_{\rm K}$, то конденсатор сравнительно быстро разрядится. При размыканин ключа конденсатор вновь начнет заряжаться.

Таким образом, разряжая конденсатор через равные промежутки времени, можно получить на конденсаторе напряжение, меняюще-

еся по пилообразному закону. Частота пилообразного напряжения в этой схеме равна частоте, с которой работает ключ, а длительность обратного хода определяется временем, в течение которого ключ остается в замкнутом состоянии

Размах пилообразного напряжения определяют по формуле

$$U_c = \frac{T_1}{\tau_{\text{3ap}}} E_{\text{HCT}} = \varepsilon E_{\text{HCT}}, \tag{68}$$

в которой т_{зар}= RC — постоянная времени цепи заряда, а

$$\varepsilon = \frac{U_c}{E_{\text{HCT}}}$$

- коэффициент использования напряжения источника питания.

Коэффициент нелинейности пилообразного напряжения связан с параметрами схемы следующим соотношением

$$k_{\rm H} = \frac{T_1}{\tau_{\rm 3ap}} \ , \tag{69}$$

т. е. численио равеи коэффициенту использования напряжения источника питания $k_{\rm H} = \epsilon$. Размах пилообразного напряжения на емкости C связан с коэффициентом нелинейности следующим образом:

$$U_{c} = k_{\rm H} E_{\rm HCT} \tag{70}$$

Последнее выражение показывает, что при неизменном напряжении источника питания по мере увеличения размаха пилообразного напряжения, которое может быть осуществлено уменьшением постоянной времени заряда $\tau_{\rm 3ap}$, линейность ухудшается. Единственным средством увеличения размаха $U_{\rm c}$ при заданном неизмениом коэффициенте нелинейности является увеличение напряжения источника питания.

В рассмотренном примере прямому ходу пилообразного напряжения соответствует заряд конденсатора, т. е. конденсатор медленно заряжается через резистор R и быстро разряжается через малое сопротивление ключа. Однако схема может быть построена и так, что стадии прямого хода будет соответствовать не заряд, а разряд конденсатора. В этом случае конденсатор C медленно разряжается и быстро заряжается. Все сделанные ранее выводы справедливы и для этого случая, если вместо величины τ_{3ap} пользоваться величиюй τ_{pas} — постоянной времени разряда.

В качестве ключа в схемах формирования пилообразного напряжения может быть использован транзистор, включенный по любой из известных схем. Такой транзисторный каскад чаще всего работает в ключевом режиме и управляется короткими импульсами напряжения, длительность которых равна требуемому времени обратного хода, а частота следования которых соответствует требуемой частоте пилообразного напряжения.

Для улучшения линейиости пилообразного напряжения применяются различные методы линеаризации, позволяющие при неизменном размахе этого напряжения несколько улучшить его линейность Простейшим способом линеаризации является использование на выходе разрядного каскада двойной интегрирующей цепочки.

На рис. 16 представлена схема разрядного каскада с двойной интегрирующей цепью. Разрядиая цепочка R_1C_1 , являющаяся пер-

вым интегрирующим звеном, включена в эмиттер транзистора. Второе интегрирующее звено R_2C_2 работает так, что на конденсаторе C_2 образуется напряжение, кривизна которого противоположна кривизне пилообразного напряжения на конденсаторе C_1 . Форма напряжения в какой-либо точке вдоль потенциометра R_2 определяется сумированием в определенной пропорции напряжений на конденсатор рах C_1 и C_2 .

Перемещая ползунок потенциометра R_2 , всегда можно найти такую точку, форма напряжения в которой имеет меньшую нелиней-

иость, чем нелинейность напряжения на конденсаторе C_1

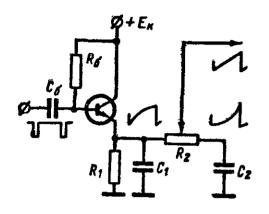


Рис. 16. Разрядный каскад с двойной интегрирующей иепью.

Практически схема с двойной интегрирующей цепочкой позволяет при неизменном размахе пилообразного напряжения уменьшитеего коэффициент нелинейности пс сравнению со схемой, содержащей только одно интегрирующее звено, в 1,5-2 раза. Потенциометр R_2 в этой схеме может служить регулятором линейности пилообразного напряжения, способным эффективно корректировать форму пилообразного напряжения.

Приемным электроннолучевым трубкам с большим углом откло-

нения свойственны искажения линейности разверток по строкам и кадрам, проявляющиеся в том, что середина изображения получается сжатой, а края — растянутыми Причина этих искажений состоит в том, что изменение величины отклоняющего тока пропорцнонально не линейному смещению луча на экране кинескопа, а его угловому смещению отосительно оси сниметрии колбы.

Для коррекции указанных геометрических искажений приемных трубок стремятся пилообразному отклоняющему току придать S-образную форму, при которой скорость изменения отклоняющего тока в начале и в конце строки будет меиьше, чем скорость в ее середине. Способы коррекции этого вида нелинейных искажений будут нами рассмотрены ниже при рассмотрении конкретных схем строчной и кадровой разверток.

Поскольку размер изображения по горизонтали больше, чем размер по вертикали, то S-образная форма отклоняющего тока строчной развертки должна быть более подчеркнута по сравнению с формой отклоняющего тока кадровой развертки.

Главатретья

ЭЛЕМЕНТЫ СХЕМ ТРАНЗИСТОРНЫХ СИНХРОНИЗИРУЮЩИХ УСТРОЙСТВ

ПРИНЦИП РАБОТЫ АМПЛИТУДНОГО СЕЛЕКТОРА

В полном телевизионном сигнале синхроимпульсы и сигнал изображения размещены на различных уровнях напряжения. Синхроимпульсы составляют 25% размаха полного телевизионного сиг-

нала и располагаются выше уровня черного, т. е. выше всех других составляющих видеосигнала.

Это позволяет для отделения импульсов синхронизации от полного телевизионного сигнала воспользоваться методом амплитудной

селекции, который заключается в том, что с помощью амплитудного ограничителя подавляются все сигналы, располагающиеся по одну сторону от уровня ограничения, а на выход проходят только сигналы синхронизации.

Роль такого ограничителя выполняет так называемый амплитудный селектор, обычно представляющий собой усилительный каскад, работающий в спецнально выбранном режиме.

Схема простейшего амплитудного селектора, выполненного на транзисторе, приведена на рис. 17. На вход каскада подается вилеосигнал положительной полярности с тем, чтобы транзистор открывался сиихронмпульсами. В приведенной схеме . применен проводимости транзистор типа n-p-n. При подаче на вход амплитудного селектора видеосигнала отрицательной полярности в каскаде следует применять проводимостн транзистор типа р-п-р. При этом, естественно, полярность напряжения питания должна быть изменена на обратную.

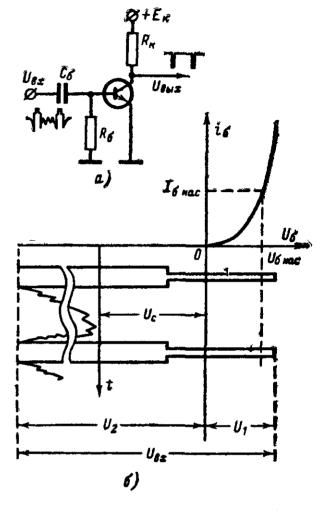


Рис. 17. Упрощенная схема амплитудного селектора (а) и принцип отделения синхроимпульсов (б).

Прежде чем рассмотреть принцип работы транзисторного амплитудного селектора, заметим, что все рассуждения, касающиеся приведенной схемы с транзистором проводимости типа n-p-n, в равной степени справедливы и для транзисторов проводимости типа p-n-p, если учесть изменение полярностей напряжений и направления токов.

Режим транзистора, используемого в амплитудном селекторе, выбирается так, чтобы в растворе входной динамической характеристики (рис. 17) между значениями напряжений на базе $U_6 = 0$ и $U_6 = U_{6\text{-Hac}}$ размещалась часть синхрочизирующего импульса U_i .

При этом за счет одностороиней проводимости эмиттерно-базового перехода входная цепь транзистора будет закрыта для той части полного телевизиоиного сигнала U_2 , которая имеет отрицательный относительно эмиттера потенциал. Гасящие импульсы и сигиал

изображения будут располагаться за линией отсечки базового тока, т. е. в той области, где ток базы и, следовательно, ток коллектора равны нулю.

Верхняя часть синхроимпульса располагается в той области напряжения на базе, где удовлетворяется условие $I_6 > I_{6.\text{нас}}$. За счет насыщения коллекторного тока на выходе каскада происходит ограничение синхроимпульса по амплитуде.

Таким образом, на выход каскада проходит и усиливается только та часть сигиала, которая размещается в пределах раствора
входной динамической характеристики. Если режим каскада выбран
правильно, то синхроимпульс отделяется от полного телевизионного
сигнала и ограничивается с двух сторон: снизу — за счет отсечки
и сверху — за счет насыщения транзистора.

ФИКСАЦИЯ ПОЛОЖЕНИЯ СИНХРОИМПУЛЬСОВ ВО ВХОДНОЙ ЦЕПИ АМПЛИТУДНОГО СЕЛЕКТОРА

В процессе работы телевизора размах видеосигнала, подводимого к амплитудному селектору, может изменяться. Вместе с тем из-за потери постоянной составляющей видеосигнала в разделительной емкости C_6 уровень, соответствующий верхушкам синхроим-

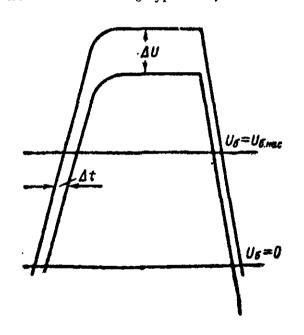


Рис. 18. Смещение фронтов импульса во времени при изменении его уровия относительно иапряжений отсечки и насыщения.

пульсов, в зависимости от формы видеосигнала может существенно смещаться. Периодическое смещение верхушек синхроимпульсов могут вызывать пульсации напряжения источника питания, попадающие на вход амплитудного селектора вместе с видеосигналом.

Все эти факторы обусловливают неустойчивость положения сиихроимпульсов относительно иапряжений отсечки и насыщения в амплитудиом селекторе. В конечном итоге такая неустойчивость приводит к сдвигу во времени фронтов выходиых синхроимпульсов, так как любой импульс имеет конечное значение времен нарастания и среза.

Для пояснения этого явления обратимся к рис. 18. На ием изображены два совершенно одинаковых по форме синхроимпульса, сдвинутых отпосительно друг друга по высоге на

величину напряжения ΔU . Для наглядности начала этих импульсов совмещены во времени.

Предположим, что рассматриваемые импульсы, имеющие конечные значения времен нарастания и среза, действуют на входе двустороннего ограничителя с верхним порогом ограничения на уровне $U_6 = U_{6\text{-Hac}}$ и нижним порогом ограничения иа уровне $U_6 = 0$. Тог-

да на выход ограничителя пройдет только та часть импульсов, которая заключена между уровнями $U_{\ell} = U_{6,\text{нас}}$ н $U_{\delta} = 0$. При этом, как это следует из рис. 18, начала импульсов на выходе ограничителя окажутся сдвинутыми относительно друг друга на время Δt .

Ко всему сказанному следует добавить, что существенные искажения временных соотношений в синхронизирующие импульсы вносятся самим транзистором, так как коэффициент насыщения во время действия каждого из этих импульсов и запирающее напряжение после каждого импульса получаются различными.

Такие искажения приводят к ухудшению параметров синхронизации, проявляющемся в смещении строк растра относительно друг друга при импульсной синхронизации и в изгибе вертикальных линий изображения при инерционной синхронизации

Поэтому очень важно верхний уровень верхушек синхроимпульсов поддерживать по возможности на определенном и постоянном относительно напряжений отсечки и насыщения уровне, т. е. осуществить фиксацию положения синхроимпульсов.

В приведенной схеме амплитудного селектора (см. рис. 17) положение синхронмпульсов относительно раствора входной динамической характеристики транзистора поддерживается автоматически. Необходимое напряжение смещения вырабатывается здесь за счет заряда конденсатора C_6 импульсами синхронизации через прямо смещенный диод эмиттерно-базового перехода.

В момент достижения синхроимпульсом такой величины, когда напряжение на базе станет положительным, эмиттерно-базовый переход открывается, и в цепи базы начинает протекать входной ток, заряжающий конденсатор C_6 . Обкладка конденсатора, соединенная с базой; заряжается отрицательно, а противоположная ей обкладка — положительно.

Если постоянная времени разряда конденсатора $au_{\text{раз}} = R_6 C_6$ достаточно велика, то за время между двумя соседними синхроимпульсами конденсатор не будет успевать существенно разряжаться, и базовая цепь транзистора получит постоянное напряжение смещения U_c , смещающее положение видеосигнала относительно уровня отсечки $U_6 = 0$ в стороиу отрицательных зиачений напряжения иа базе.

Напряжение автоматического смещения, действующее на базе транзистора, способствует стабилизации положения синхроимпульсов в растворе входной динамической характеристики. Если почему-либо уровень импульсного напряжения на базе уменьшится, и синхроимпульс сместится в сторону отрицательных напряжений, то это вызовет уменьшение отрицательного напряжения на конденсаторе C_6 . В результате синхроимпульс сместится в сторону положительных значений напряжения так, что верхушка синхроимпульса останется почти на прежнем уровне.

Следует заметить, что фиксация уровня синхроимпульсов в амплитудном селекторе, выполненном на транзисторе, действует менее эффектнвно, чем привязка синхроимпульсов в аналогичной ламповой схеме.

В лампе часть размаха напряжения синхроимпульса, которая заходит в область сеточных токов, очень мала по сравнению с размахом напряжения всего видеосигнала. Поэтому даже существенные медленные изменения, например, размаха видеосигнала не приводят к сколь-нибудь заметному смещению верхушек синхроимпульсов от уровня привязки

В транзисторном амплитудном селекторе синхроимпульсы глу-

боко заходят в область прямых напряжеиий на эмиттерном переходе, так как управление транзистором сопровождается протеканием в его входной цепи значительного управляющего тока. Следовательно, траизистор управляется менее стабильной частью импульсов, расположенных значительно выше уровня привязки.

Этими же соображениями объясняется и то обстоятельство, что привязка синхроимпульсов в ламповой схеме обладает лучшей способностью подавлять низкочастотные помехи, проникающие на вход амплитудного селектора вместе с видеосигналом.

ВЫБОР РЕЖИМА РАБОТЫ ТРАНЗИСТОРА В СХЕМЕ АМПЛИТУДНОГО СЕЛЕКТОРА

Режим работы транзистора в схеме амплитудного селектора выбирается таким образом, чтобы стабильное двустороннее ограничение синхроимпульсов наступало при возможно меньшем напряжении видеосигнала на входе каскада. Для этого необходимо выбрат**ь**

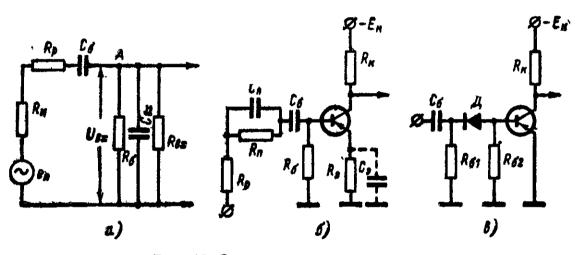


Рис. 19. Эквивалентные схемы.

a — эквивалентная схема входной цепи амплитудного селектора; б — полная схема амплнтудного селектора: в — амплитудный селектор с разделенным

травильное соотношение между элементами входной цепи транзи-

Входная цепь амплитудного селектора может быть представлена эквивалеитной схемой, приведенной на рис. 19,a. Здесь $e_{
m u}$ э. д. с. источника видеосигнала, т. е. размах видеосигнала в точке A, когда источиик не нагружен'входной цепью транзистора; $R_{
m D}$ — развязывающий резистор, служащий для уменьшения влияния входной емкости транзистора и емкости монтажа на частотную характеристику видеоусилителя; $C_{ ext{BX}}$ — входная емкость транзистора; $R_{ ext{BX}}$ активиое входное сопротивление транзистора.

В процессе работы амплитудного селектора входное сопротивление транзистора изменяется в довольно широких пределах. Когда гранзистор находится в режиме отсечки базового ток $\hat{\mathbf{a}}$, величина $R_{\mathbf{B}\mathbf{x}}$ мала и равна сопротивлению обратно смещенного эмиттерно-базового перехода. В это время входная емкость $C_{\mathtt{BX}}$ определяется емкостью этого перехода.

В области активного режима активная составляющая входиого сопротивления резко уменьшается Учитывая это, влиянием емкости $oldsymbol{\mathcal{C}_{ exttt{BX}}}$ в этой области без большой погрешности можио пренебречь и считать входное сопротивление транзистора чисто активным, равным значению сопротивления $R_{\mathrm{Bx}}^{'}$, которое определяется по входной статической характеристике транзистора при $U_{\kappa} = 0$, как

$$R'_{\rm BX} = \frac{U_{\rm 6.Hac}}{I_{\rm 6.Hac}}.$$

В области насыщенного режима, по мере увеличения коэффициента насыщения, входное сопротивление транзистора еще больше уменьшается, стремясь в пределе к величине сопротивления эмиттер-

но-базового перехода $r_{\text{б.э}}$.

Если результирующее сопротивление входной цепи $R_{\text{H-9KB}} = R_{\text{H}} +$ + $R_{\rm P}$ выбрано слишком большим по сравнению с сопротивлением $R_{\mathrm{av}}^{\dagger}$ то на вход амплитудного селектора попадает только небольшая часть синхроимпульсов, так как активная составляющая входиого сопротивления транзистора резко уменьшается при переходе из режима отсечки в область активного режима. Размах синхроимпульсов, действующих непосредственно на базе, может быть таким малым, что в раствор входной характеристики гранзистора будет попадать часть сигнала изображения. Чтобы этого не произошло, выбор сопротивления $R_{\rm H.3KB}$ должен производиться из условия

$$R_{\text{H.9KB}} \leq 0.25 \; \frac{e_{\text{H}} B}{I_{\text{K.Hac}} S_{\text{Hac}}} - R'_{\text{BX}}.$$
 (71)

Последняя формула позволяет однозначно выбрать соотношение между э.д.с. источника видеосигнала и суммарным сопротивлением входной цепи для конкретного режима работы цепи коллектора, т. е. с учетом сопротивления нагрузки каскада. Пользуясь формулой (71), следует иметь в виду, что э.д.с. источника сигнала не постоянна и изменяется в зависимости от положения регулятора контрастности, величины сигнала на входе телевизора и эффективности работы АРУ. Поэтому в формуле (71) под величнной e_{μ} подразумевается минимальное значение e_{ij} , при котором еще должна устойчиво работать синхронизация.

Величина сопротивления резистора R_6 определяет скорость разряда конденсатора C_6 в то время, когда транзистор заперт. В установившемся режиме последовательных циклов заряда и разряда коиденсатора C_6 на нем устанавливается постоянное напряжение, зависящее от сопротивления резистора R_0 . С уменьшением сопротивления R_6 конденсатор C_6 разряжается быстрее, что приводит к уменьшению постоянного напряжения, накопленного конденсатором. В установившемся режиме заряда и разряда конденсатора количество электричества, которое конденсатор отдает во время разряда, всегда равно количеству электричества, которое накапливается на конденсаторе во время его заряда. Поэтому с уменьшением сопротивления резистора R_6 конденсатор отдает больше количества электричества во время разряда, а следовательно, увеличивается и ток заряда конденсатора, т. е. увеличивается базовый ток в импульсе. Это приводит к увеличению коэффициента насыщения.

Автоматическая фиксация верхушек синхроимпульсов на определенном уровне позволяет обходиться без глубокого насыщения транзистора. Транзисторный амплитудный селектор вполне стабильно работает при значениях коэффициента насыщения в пределах $S_{\text{нас}} = 1,5 \pm 2,0$. Большее значение $S_{\text{нас}}$ следует выбирать в случае, когда размах видеосигнала на входе селектора изменяется в больших пределах.

Выбор требуемого сопротивления $R_{\mathbf{6}}$ по заданной величине коэффициента насыщения может быть произведен по следующей при-

ближенной формуле:

$$R_6 \approx 25 \, \frac{R_{\rm H} + R_{\rm p}}{S_{\rm Hac}} \,. \tag{72}$$

Если сопротивление R_6 будет выбрано слишком малым, то коэффициент насыщения будет чрезмерно большим. Большая часть синхроимпульса зайдет глубоко в область малых входных сопротивлений транзистора. Пропорциональность между размахами синхросигнала и сигнала изображения существенно нарушнтся. При этом часть сигнала изображения, прилегающая непосредственно к уровню черного, может войти в область активного режима, что в свою очередь может вызвать нарушение нормальной работы селектора.

При использовании германиевых транзисторов сопротивление R_6 не следует выбирать слишком большим, так как это ухудшает термостабильность каскада. Дело в том, что по мере увеличения окружающей температуры увеличивается и величина обратного тока эмиттерио-базового перехода I_{90} . Этот ток способствует более быстрому разряду конденсатора C_6 , т. е. воспринимается последним так

же, как и уменьшение сопротивления R_{6} .

С этой точки зреиия средний ток разряда конденсатора C_6 , протекающий через резистор R_6 , должен быть существенно больше обратиого тока эмиттера, который имеет место при иаивысшей возможной температуре окружающего воздуха. Термостабильность каскада будет удовлетворительной, если выполнить условие

$$R_6 < (0,1 \div 0,3) \frac{e_{\rm H}}{I_{9.0 \text{ MaKc}}},$$
 (73)

где $I_{90 \text{ макс}}$ — обратный ток эмиттера при наивысшей температуре окружающего воздуха.

Следует иметь в виду, что уменьшение сопротивления R_6 вызывает, кроме всего прочего, соответствующее уменьшение входного сопротивления каскада, так как при этом возрастает импульсный ток,

потребляемый от источника видеосигнала.

Улучшение термостабильности каскада, работающего в схеме амплитудного селектора, может быть достигнуто применением схемы с разделенным входом (рис. 19, в). В этой схеме обратный ток эмиттера не участвует в разряде конденсатора C_6 и, кроме того, величина сопротивления R_{62} может быть выбрана достаточно малой. В тот момент, когда транзистор находится в режиме отсечки, днод $\mathcal L$ заперт и обратный ток эмиттера протекает через сравнительно небольшое сопротивление R_{62} в то время, как конденсатор C_6 разряжается через сопротивление R_{61} .

Для использования в схеме амплитудиого селектора с разделенным входом наиболее пригодны точечные диоды с большим обратиым сопротивлением. Обладая малой проходной емкостью $(0,1-0,3\ n\phi)$, такой диод эффективно устраняет влияние входной емкости каскада на частотную характеристику видеоусилителя, что позволяет существенно уменьшить величину разделительного резистора $R_{\rm D}$.

В этой схеме сопротивление R_{62} выбирается из условия обеспечения требуемой термостабильности каскада, а сопротивление R_{61} — из условия обеспечения постоянства режима разряда конденсатора C_6 с тем, чтобы на средний ток разряда не оказывал существенного влияния изменяющийся от температуры обратный ток разделительного диода.

Иногда для улучшения условнй взаимозаменяемости транзисторов в эмиттерную цепь селектора включается стабилизирующий резистор R_9 (рис. 19, 6). В этом случае входное сопротивление каскада в области активного режима увеличивается на величину BR_9 , что означает расширение раствора входной динамической характеристики транзистора. При этом размах видеосигнала, подводимого ко входу каскада, должен быть увеличен. Требуемое соотношение между э.д.с. источника видеосигнала и элементами входной цепи для выбранного режима в коллекторе выражается следующей формулой:

$$R_{\rm H} + R_{\rm p} \leqslant 0.25 \frac{e_{\rm H} B}{I_{\rm K \ Hac} S_{\rm Hac}} - (R'_{\rm BX} + BR_{\rm g}).$$
 (74)

Для уменьшения времени переключения стабилизирующий резистор R_9 полезно зашунтнровать конденсатором (0,02—0,1 $\kappa \phi$).

В транзисторном амплитудном селекторе емкость разделительного конденсатора C_6 должна быть выбрана достаточно большой. При малой емкости этого конденсатора за счет искажения переходной характеристики в области больших времен могут искажаться вершины кадровых синхронизирующих и гасящих импульсов, что может вызвать выход транзистора из режима насыщения сразу же после окончания кадрового гасящего импульса. Это неизбежно приведет к искривлению вертикальных линий изображения в верхней части растра. Емкость конденсатора C_6 должна быть порядка 5-20 мкф.

Для защиты входной цепи амплитудного селектора от импульсных помех малой длительности в цепь базы транзистора обычно вводится цепочка R_nC_n (рис. 19, δ), постоянная времени которой выбирается в 2 раза меньше периода строчиой развертки.

Эта цепочка работает так, что с приходом короткого импульса помехи конденсатор C_{Π} заряжается этим импульсом, и напряжение на конденсаторе несколько возрастает. В то же время напряжение на конденсаторе C_{6} практически не изменяется, так как емкость конденсатора C_{6} значительно превышает емкость конденсатора $C_{\Pi^{\bullet}}$

По окончании действия помехи конденсатор C_{Π} быстро разряжается на сопротивление резистора R_{Π} . Поэтому влияние помехн проявляется в этой схеме только в момент ее действия, т. е. занимает относительно малый промежуток времени.

Если же цепочка $R_{\rm II}C_{\rm II}$ отсутствует, то с приходом импульса помехи напряжение на конденсаторе C_6 резко изменяется и транзистор запирается на довольно длительное время, значительно превышающее длительность помехи. Группа синхроимпульсов, следующая сразу после помехи, не сможет открыть транзистор до тех пор, пока напряжение на конденсаторе не уменьшится до нормальной величины. Для эффективиой работы цепи $R_{\rm II}C_{\rm II}$ емкость конденсатора $C_{\rm II}$ должна быть по крайней мере в 10—20 раз меньше емкости C_6 .

Нагрузкой выходной цепи транзисторного амплитудного селектора обычно является последующий транзисторный каскад, служащий для усиления и дополнительного ограничения синхроимпульсов. Входное сопротивление такого каскада бывает невысоким, а поэтому

полное сопротивление нагрузки в коллекторной цепи амплитудного селектора должио определяться с учетом входиого сопротивления следующего каскада по формуле

$$R_{\rm H} = \frac{R_{\rm K} R_{\rm BX}}{R_{\rm K} + R_{\rm BX}},\tag{75}$$

где $R_{\rm K}$ — сопротивление резистора в коллекторной цепи селектора, а- $R_{\rm BX}$ — входное сопротивление следующего каскада. С учетом этого ток коллектора, соответствующий режиму насыщения селекторного каскада, должен определяться по формуле

$$I_{\text{K-HaC}} = \frac{E_{\text{K}}}{R_{\text{H}}} \,. \tag{76}$$

Полное сопротивление в коллекторной цепи амплитудного селектора выбирают с учетом допустимого увеличения длительности синхроимпульсов и требуемого фронта. Для получения на выходе селектора крутых фронтов и срезов синхроимпульсов можно на его вход подавать сигнал сравнительного большого уровня. Однако такой способ приводит к расширению импульсов из-за увеличения времени рассасывания неосновных носителей, а также к попаданию сигнала изображения в коллекторную цепь через паразитную емкость коллекторно-базового перехода. Поэтому пользоваться этим способом нужно осторожно.

Скорость переключения транзистора в схеме амплитудного селектора должиа быть достаточно малой. Требуемую длительность переднего фронта импульса можно в большинстве случаев обеспечить применением низкочастотного или среднечастотного сплавного германиевого транзистора.

Кроме отделения синхроимпульсов от сигналов изображения, амплитудный селектор должен обеспечнвать достаточную мощность выходных импульсов, т. е. усиление по мощности должно быть достаточно большим. Поэтому в большинстве случаев в схеме амплитудного селектора применяют несколько транзисторов— чаще всего два. Использование нескольких транзисторов выгодно и тем, что при этом просачивание видеоснгнала на выход амплитудного селектора происходит в гораздо меньшей степени, т. е. отделение синхроимпульсов от сигналов изображения более четкое.

При наличии нескольких транзисторов в схеме амплитудного селектора функциональные задачи между отдельными каскадами разделяются. Один из транзисторов должен обеспечивать привязку верхушек синхроимпульсов, т. е. работать в режиме автоматического смещения за счет заряда переходной емкости в цепи базы. Другие транзисторы могут быть усилителями или усилителями-ограничителями с фиксированным смещением. Последовательность расстановки этих каскадов зависит от особенностей схем, смежных с амплитудным селектором. Эта последовательность должна выбираться с учетом размаха видеосигнала, предназначенного для амплитудного селектора, а также с учетом нужных полярностей синхроимпульсов.

В каскадах амплитудного селектора стремятся применять транзисторы с большим коэффициентом усилеиия по току B и с малой емкостью между коллектором и базой у закрытого транзистора. Коэффициент B определяет усиление, которое при прочих равных условиях может дать транзистор, а достаточно малая проходная емкость позволяет устранить паразитное пролезаиие видеосигнала из базы в коллектор. Кроме того, транзистор, используемый в амплитудном селекторе, должен иметь входиую характеристику с малым напряжением насыщения, что тоже является одним из условий получения максимального усиления.

Немаловажную роль в работе амплитудного селектора играют обратные токи эмиттерного и коллекторного переходов. Когда транзистор заперт, температурно нестабильные токи утечки I_{κ_0} и $I_{\mathfrak{s}_0}$ влияют на режим по постоянному току во входной цепи транзистора, что может нарушать нормальную работу каскада.

СОЕДИНЕНИЕ АМПЛИТУДНОГО СЕЛЕКТОРА С ВИДЕОУСИЛИТЕЛЕМ

Для того чтобы качество синхронизации было высоким, очень важно правильно выбрать место и способ подключения амплитудного

селектора к видеоусилителю. Низкоомный вход амплитудного селектора необходимо согласовать с ценями видеоусилителя, а кроме того, надо постараться по возможности уменьшить влияние емкостной составляющей входного сопротивления амплитудного селектора на частотную характеристику видеоусилителя.

Простейший способ согласования видеоусилителя со входом амплитудного селектора — подключение селектора к части сопротивления коллекторной нагрузки видеоусилителя (рис. 20).

При частичном включении к селектору подводится только часть напряжения видеосигнала, действующая на коллекторе видеоусилителя, а эквивалентное внутреннее сопротивление источника видеосигиала $R_{\rm H}$, практически равное сопротивлению $R_{\rm K}$, получается достаточно малым.

В данном случае э. д. с. источника видеосигнала $e_{\rm H}$, соответствующее эквивалентной схеме входной цели амплитудного селектора

(см рис. 19, a), определяется соотношением.

Рис. 20. Варианты частичного подключения амплитудиого селектора к нагрузке выходного каскада видеоусилителя.

$$e_{\rm H} = \rho \overline{U}_{\rm B}, \tag{77}$$

в котором

$$p = \frac{R_{K1}}{R_{K1} + R_{K2}} \tag{78}$$

— коэффициент включения, а $U_{\rm B}$ — напряжение видеосигиала из коллекторе транзистора выходиого каскада.

Использование частичного включения позволяет в значительной степени уменьшить влияние паразитных емкостей, вносимых входной цепью амплитудного селектора.

Недостаток этой схемы заключается в относительно большом уровне пульсаций видеосигнала. Это объясияется тем, что из-за большого внутреннего сопротивления цепи коллектора переменному току уровень пульсаций слабо зависит от места подключения селектора к коллекторной цепи и имеет почти постоянное значение при любом коэффициенте включения. Например, при уменьшении коэффициента включения уровень пульсаций не изменяется, а размах видеосигнала падает, т. е. отношение напряжения пульсаций к размаху видеосигнала возрастает. Это обстоятельство обусловливает довольно жесткие требования к уровню пульсаций источника питания телевизоров, рассчитанных иа питание от сети переменного тока.

Возможен вариант схемы, в которой амплитудный селектор подключают к эмиттеру выходного каскада видеоусилителя. В такой схеме видеосигнал для селектора снимается с резистора в цепи эмиттера R_3 , который обычно вместе с небольшой емкостью в эмигтере C_3 используется для стабилизации режима транзистора и коррекции частотной характеристики видеоусилителя. Емкость коиденсатора C_3 выбирают с учетом входной емкости амплитудного селектора, т. е. сумма обенх емкостей обеспечивает нужную глубину коррекции.

Уровень пульсаций в эмиттере транзистора относительно невелик, а выходное сопротивление в этой точке очень мало. Однако коэффициент включения, равный в этом случае

$$p = \frac{R_9}{R_K + R_9} \,, \tag{79}$$

ие может быть выбраи большим из-за того, что в цепь эмиттера нельзя включить большое сопротивление R_9 , так как при этом сильно падает коэффициент усиления кажкада.

В связи с этим размах видеосигнала, сиимаемого с эмиттера, имеет небольшую величину, что требует чаще всего дополнительного усилительного каскада, предшествующего входной цепи амплитудного селектора. Этот каскад обычно работает с фиксацией уровия синхроимпульсов или с фиксированным смещением в режиме частичного ограничения видеосигнала со стороиы сигналов изображения.

Для устойчивой работы синхронизации очень важно, чтобы видеосигнал на входе амплитудного селектора не изменялся бы в больших пределах. Поэтому при выборе точки сиятия видеосигнала и места установки регулятора контрастности нужно стремиться к тому, чтобы размах видеосигнала на входе селектора как можно меньше зависел от положения регулятора контрастности.

Невыполнение этого условия чаще всего приводит к смещению изображения по горизонтали при регулировке контрастности. Кроме того, при слабой контрастности синхронизация может нарушаться, когда размах видеосигнала станет недостаточным для нормальной работы амплитудного селектора.

Если видеосигнал, подводимый к амплитудному селектору, снимается с части нагрузки окоиечного каскада видеоусилителя, то регулировку контрастности можно выполнить в виде частотноскомпенсированного потенциометра, включенного между выходным каскадом видеоусилителя и управляющим электродом кинескопа.

Довольно часто используют схемы, в которых амплитудный селектор подключен к предварительному каскаду видеоусилителя, а контрастность регулируют в выходном каскаде. В этом случае

размах видеосигнала на входе селектора не зависит от положения регулятора контрастности, но в большинстве случаев требуется дополнительное усиление видеосигнала, подводимого к селектору.

РАЗДЕЛЕНИЕ ИМПУЛЬСОВ СИНХРОНИЗАЦИИ

Синхросигнал, получаемый на выходе амплитудного селектора, представляет собой смесь кадровых и строчных синхроимпульсов, следующих через определенные интервалы времени, определяемые частотой развертки. Для последующего использовання синхроим-

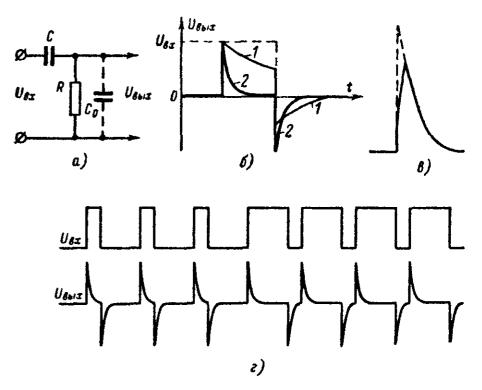


Рис. 21. Дифференцирующая цепь.

a — схема, b — влиянне постоянной времени на форму выходного напряження, b — форма синхроимпульса на выходе, c — выделение строчных синхроимпульсов

пульсов их нужно разделить между собой, т. е. получить отдельно друг от друга кадровые и строчные синхроимпульсы.

Принцип разделения синхроимпульсов основан на использовании разницы в длительности кадровых и строчных синхроимпульсов. По-стандарту длительность строчного синхроимпульса составляет 5,1 мксек, а длительность кадрового синхроимпульса равна 192 мксек

Разделение синхроимпульсов заключается в преобразовании разиицы по длительности синхроимпульсов в разницу по их размаху. Наиболее простым и достаточно надежным способом разделения является применение интегрирующих и дифференцирующих цепей.

Выделение строчных синхроимпульсов из синхросмеси осуществляется с помощью дифференцирующей цепочки (рис 21,a). Если иа вход этой цепочки подать прямоугольный импульс напряжения с размахом $U_{\rm EX}$, то напряжение на конденсаторе C будет нарастать

по экспоненциальному закочу. В начале действия входного импульса кондеисатор будет заряжаться особенно быстро. В это время зарядный ток, протекающий через резистор R, будет максимальным. По мере заряда конденсатора C, зарядный ток будет уменьшаться по экспоненциальному закону. Напряжение на резисторе R, пропорциональное току, протекающему через этот резистор, тоже будет уменьшаться по тому же закону.

Скорость изменения напряжения на резисторе R зависит от по-

стоянной времени $\tau_{\pi} = RC$ дифференцирующей цепочки

На рис. 21, б изображены эпюры напряжений для двух различных постояных времени. Кривая 1 соответствует большой постоян-

ной времени, а кривая 2 — малой постоянной времени.

Если на вход дифференцирующей цепочки подать синхросмесь, состоящую из строчных и кадровых синхроимпульсов и врезок, то на выход цепочки кадровые синхроимпульсы не пройдут, а останутся только крутые положительные и отрицательные перепады напряжения, соответствующие фронтам и срезам строчных синхронмпульсов и врезок (рис. 21, г).

На практике из-за влияния конечиого внутреинего сопротивления источника синхроимпульсов и паразитной емкости схемы форма импульсов несколько искажается (рис. 21, в), а их размах уменьшается. При этом длительность фронта синхроимпульса несколько

увеличивается.

Для эффективной работы дифференцирующей цепочки ее постоянная времени должна быть в 2—3 раза меньше длительности строчного снихронульса, т. е.

$$\tau_{\rm p} = \frac{5.1}{2+3} = 1.7 \div 2.5 \text{ мксек}.$$

Вместе с тем соотношение между постоянной времени дифференцирующей цепочки и постоянной времени паразитной цепи должио удовлетворять условию

$$R_{\iota} C_0 \leqslant (0, 1-0, 2) \tau_{\mathrm{ff}}.$$
 (80)

Для импульсной синхронизацин задающего генератора строчной развертки лучше использовать проднфференцированные синхроимпульсы, соответствующие фронтам исходиых синхроимпульсов. Импульсы, соответствующие срезам синхроимпульсов и имеющие обратную полярность, подавляются с помощью односторонних диодных или транзисторных ограничителей

В промышленных образцах транзисторных телевизоров импульсный метод синхронизации задающих генераторов строчной развертки почти не применяется из-за низкой помехоустойчивости Вместе с тем из-за значительного времени переключения транзисторов в схеме амплитудного селектора и в схеме строчной развертки получается довольно большое (3—5 мксек) запаздывание срабатывания оконечного каскада строчной развертки по отношению к началу каждой строки. Это приводит к сдвигу изображения по горизонтали на экране кинескопа. Однако использование импульсной синхронизации принципиально возможно, хотя при этом возникает иеобходнмость компенсации сдвига с помощью устройств, аналогичных устройствам центровки растра по горнзоитали.

Выделение кадровых синхроимпульсов осуществляется с помощью интегрирующих цепочек. Схема такой цепочки изображена

на рис 22, а.

Если на вход интегрирующей цепочки подать прямоугольный импульс, то напряжение на конденсаторе С будет нарастать по экспоненциальному закону во время действия импульса и будет спадать по тому же закону после его окончания.

Скорость нарастания и спада напряження зависит от постоянной временн $\tau_H = RC$ интегрирующей цепочки. На рис. 22, δ изображены эпюры напряжений для двух различных постоянных времени. Кривая I соответствует малой постоянной времени, а кривая 2 — большой постоянной времени интегрирующей цепи. Из рис. 22, δ

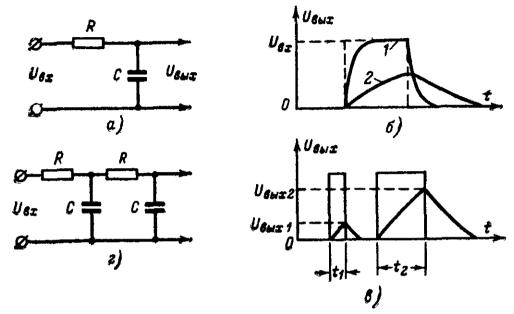


Рис. 22. Интегрирующая цепь.

а — схема однозвенной интегрирующей цепи; б — влияние постоянной времени на форму и размах выходного импульса; в — влияние длительности импульса на размах выходного напряжения; г — схема двухзвенной интегрирующей цепочки

можно усмотреть, что чем больше постоянная времени интегрирующей цепочки, тем меньше амплитуда импульса на выходе.

С другой стороны, размах импульса на выходе интегрирующей цепочки сильно зависит от длительиости входного импульса. Чем больше длительиость импульсов, действующих на входе, тем до большего напряжения успевает заряжаться конденсатор С и тем больше будет размах выходиого импульса. Это поясняет рис. 22, в, на котором изображены два прямоугольных импульса одинакового размаха, но различной длительности, действующие на входе интегрирующей цепочки. На этом же рисунке изображены соответствующие выходные импульсы.

Если на вход интегрирующей цепочки подать синхросмесь, то на ее выходе размах строчных синхроимпульсов окажется значительно ослабленным по сравнению с размахом кадровых синхроимпульсов. Очевидно, что чем больше постоянная времени интегрирующей цепочки, тем лучше подавляются строчные синхроимпульсы, но при этом сильно увеличивается длительность фронта кадровых синхроимпульсов, что приводит к ухудшению качества синхронизации.

На практике постояиная времени интегрирующей цепочки выбирается порядка $\tau_n = 40$ мксек. При этом коэффициент подавления

строчных синхроимпульсов $k_{\rm C}$, определяемый как отношение размаха кадрового синхроимпульса к размаху подавленного строчного синхроимпульса на выходе цепочки, получается равным $k_{\rm C} = 8,5$. Такой коэффициент подавления мал, так как высокий уровень строчных синхроимпульсов в сигнале кадровой синхронизации приводит к ухудшению чересстрочности.

Чтобы получить более крутое нарастание фронта кадрового сиихроимпульса и обеспечить более сильное подавление строчных сиихроимпульсов применяют многозвенные интегрирующие цепочки, т. е. включают несколько интегрирующих звеньев последовательно.

На рис. 22, г показана двухзвенная интегрирующая цепочка.

При одной и той же крутизне нарастания фронта кадрового синхроимпульса подавление строчных синхроимпульсов в двухзвен-

ной цепи примерно в 2,5 раза лучше, чем в однозвенной.

Оптимальное значение постоянной времени для каждого звена в двухзвенной и трехзвенной интегрирующих цепях соответствует примерно $\tau_{\rm H}=10-40$ мксек. При этом коэффициент подавления строчных синхроимпульсов получается равным $k_{\rm C}\!=\!20-40$.

Благодаря простоте и высокой помехозащищенности интегрирующие цепочки в настоящее время стали наиболее распространенным

типом устройств для выделения кадровых синхроимпульсов.

ТИПОВЫЕ СХЕМЫ АМПЛИТУДІНЫХ СЕЛЕКТОРОВ

На рис. 23 изображена очень распространенная схема амплитудного селектора, применяемая в отечественных и зарубежных телевизорах. На вход схемы в базу транзистора T_1 поступает видео-

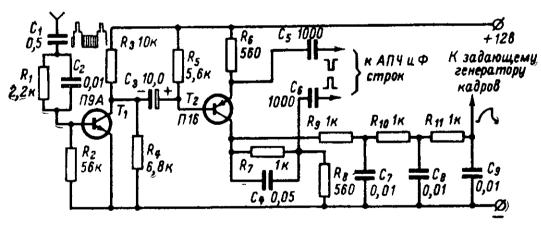


Рис. 23. Двухкаскадная схема амплитудного селектора.

сигнал, снимаемый с части коллекторной нагрузки видеоусилителя Цепочка R_1C_2 позволяет уменьшить влияние кратковременных импульсных помех.

Транзистор T_1 включен по схеме с общим эмиттером и его режим выбран так, что верхушки синхроимпульсов привязаны к уровию постоянного напряжения на базе, соответствующему переходу транзистора из области активного режима в область насыщения.

Для уменьшения раствора выходной характеристики первого траизистора, являющегося амплитудным селектором, коллектор этого транзистора получает питание от делителя напряжения, составленного из резисторов R_3 и R_4 . Такое включение нагрузки эквива-

лентно снижению напряжения источника питания и помимо этого обеспечивает достаточно низкое выходиое сопротивление каскада. На базу транзистора T_2 , работающего в каскаде с разделенной нагрузкой, поступают отрицательные синхроимпульсы, которые переводят транзистор в режим насыщения. При этом на базе транзистора T_2 тоже происходит привязка верхушек синхроимпульсов.

Как видно из рис. 23, тип проводимости транзисторов T_1 и T_2 выбран таким образом, чтобы и первый, и второй транзисторы от-

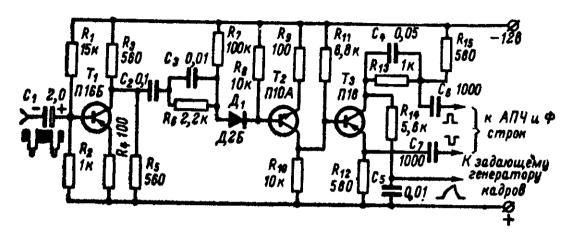


Рис. 24. Трехкаскадная схема амплитудного селектора.

крывались с приходом каждого очередного синхронмпульса, что необходимо для правильной работы схемы.

В коллекторную и эмиттерную цепи транзистора T_2 включены два одинаковых резистора R_6 и R_8 , с которых снимаются равные по размаху, но противоположные по полярности импульсы, используемые в схеме автоматической подстройки частоты и фазы (АПЧиФ) строчной развертки.

Синхросмесь, предназначенная для выделения кадрового синхроимпульса, снимается непосредственно с коллектора траизистора T_2 , т. е. с точки, в которой общее сопротивление коллекторной нагрузки сделано большим за счет резистора R_7 . Конденсатор C_4 , шунтирующий резистор R_7 , служит для улучшения кругизны фронтов строчных синхроимпульсов, выделенных на резисторе R_8 . Интегрирующая трехзвенная цепочка R_9C_7 , $R_{10}C_8$, $R_{11}C_9$ подавляет строчные синхроимпульсы и в зависимости от состава схемы задающего генератора кадровой развертки может состоять из меньшего числа отдельных интегрирующих звеньев.

На рис. 24 приведена другая схема синхронизации, предназначенная для случая снятия видеосигнала с эмиттера выходного каскада видеоусилителя. В отличие от схемы, изображенной на рис. 23, здесь амплитудный селектор T_2 включен после однокаскадного усилителя T_1 , обеспечивающего необходимый для нормальной работы селектора размах вндеосигнала.

Амплитудный селектор выполнен по схеме с разделенным входом и с обратной связью по току, создаваемой резистором, включенным в цепь эмиттера. Наличие этих элементов существенно улучшает условия взаимозаменяемости транзистора T_2 , а также повышает термостабильность каскада. Реализация этих преимуществ стала здесь возможной только потому, что размах видеосигнала на входе селектора достаточно велик.

ПРИНЦИП ДЕЙСТВИЯ ИНЕРЦИОННОЙ СХЕМЫ СИНХРОНИЗАЦИИ (АПЧиФ)

Синхронизация генераторов строчной развертки в транзисторных телевизорах осуществляется исключительно инерционными схемами синхронизации с автоматической подстройкой частоты и фазы задающих генераторов строк (сокращенно АПЧиФ). Это объясняется не только тем, что система АПЧиФ обладает повышенной помехоустойчивостью, но также и тем, что применение этой системы позволяет обойти целый ряд трудностей, обусловлеиных спецификой транзисторов.

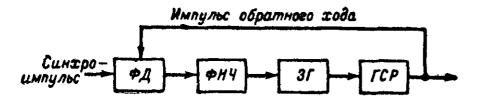


Рис. 25. Функциональная блок-схема системы АПЧиФ.

Система АПЧиФ делает схему синхронизирующего устройства менее чувствительной к разбросу и нестабильности параметров применяемых транзисторов. При этом существенно понижаются требования к их импульсным характеристикам. Последнее обстоятельство нанболее существенно, так как при импульсной синхронизации затягивание фронтов строчных синхроимпульсов в каскадах амплитудного селектора и завал передних фронтов управляющих импульсов в каскадах строчной развертки приводит к запаздыванию начала развертки относительно исходных сигналов, что вызывает горизонтальное смещение растра на экране кинескопа.

Принцип улучшения помехоустойчивости в схеме АПЧиФ основан на использовачии различия в свойствах периодического сигна-

ла, которым являются синхроимпульсы, и случайных помех.

Вероятность появления помехи на входе синхронизируемого генератора уменьшают с помощью управляемого клапана, открывающегося только на то время, когда через него должен пройти очередной синхроимпульс. В течение остальной части общего времени этот клапан закрыт и, следовательно, доступ помех к задающему

генератору развертки прекращен.

Принцип работы схемы АПЧиФ основан на том, что в ией происходит сравиение частоты синхроимпульсов с частотой генератора развертки Напряжение, вырабатываемое схемой АПЧиФ и являющееся результатом сравнения, усредияется во времени, т. е. в конечном виде представляет собой результат сравнения не за время действия одного синхронмпульса, а за время действия большого числа синхроимпульсов. Поэтому поражение отдельных синхроимпульсов импульсами случайных помех не приводит к заметиому нарушению синхронизации. В этом состоит второй прииципиальный способ улучшения помехоустойчивости, используемый в схеме АПЧиФ.

Блок-схема устройства АПЧиФ строчной развертки изображена на рис 25. С выхода схемы амплитудного селектора строчные синхроимпульсы подаются на фазовый дискриминатор ($\Phi \mathcal{I}$) К этому же фазовому дискриминатору подводятся импульсы обратного хода, снимаемые с генератора строчной развертки (ΓCP).

Фазовый дискриминатор вырабатывает постоянное напряжение, пропорцнональное разности фаз сравниваемых импульсов, а полярность зависит от того, какой из двух импульсов отстает от другого во времени

Это напряжение оказывается смешанным с импульсами помех и остатками синхроимпульсов. Для подавления этих паразитных импульсов и для усреднения результата сравнения за длительный период времени на выходе фазового дискриминатора устанавливают низкочастотный фильтр ($\Phi H Y$), отделяющий высокочастотную пере-

менную составляющую помех.

Полученное в результате этого напряжение управляет собственной частотой и фазой задающего генератора строчной развертки. Для этого управления используют свойство транзисторных блокинг-генераторов изменять частоту собственных колебаний при изменении напряжения смещения на базе. Изменяющееся в зависимости от разности фаз сравниваемых импульсных сигналов напряжение с выхода инзкочастотного фильтра подводится к задающему генератору (ЗГ) строчной развертки и изменяет в иужном направлении частоту собственных колебаний задающего генератора.

Роль клапана в системе АПЧиФ играет фазовый дискримииатор, так как сравнение фазы синхроимпульсов с фазой импульсов обратного хода строчной развертки происходит только в момент обратного хода. Во время между синхроимпульсами путь для прохождения помех через фазовый дискриминатор на его выход закрыт.

Благодаря усреднению с помощью фильтра нижних частот кратковременные импульсы случайных помех и флюктуационные шумы, накладывающиеся на синхроимпульсы, воздействуют на условия запуска задающего генератора в гораздо меньшей степени, чем при

импульсной синхронизации.

В качестве фильтра нижних частот обычно используют интегрирующее звено резистивно-емкостной цепи с большой постоянной времени. Такие цепи препятствуют очень быстрым изменеииям напряжения, предназначенного для управления собственной частотой блокинг-генератора. Имея в виду это свойство системы АПЧиФ, эту систему синхронизации часто называют инерционной.

СХЕМЫ ФАЗОВЫХ ДИСКРИМИНАТОРОВ СИСТЕМЫ АПЧИФ

Рассмотрим наиболее распространенные схемы фазовых дискриминаторов, нашедших применение в транзисторных телевизорах.

На рис. 26 приведена схема иесбалансированного (или несимметричного) фазового дискриминатора, который имеет две входные точки. К одному входу требуется подвести строчные синхроимпульсы от схемы амплитудиого селектора, а на другой вход подаются импульсы обратного хода, которые затем преобразуются в так называемое иапряжение сравиеиия.

Напряжение сравнения получается за счет интегрирующей цепочки R_3C_2 , которая преобразует импульсы обратного хода строчной развертки (рис. 27, δ) в пилообразное напряжение (рис. 27, δ). При этом крутой участок пилообразного напряжения совпадает по фазе с исходным импульсом обратного хода.

В рассматриваемой схеме фазового дискриминатора синхроимпульсы положительной полярности необходимо подать в точку \mathcal{E} через кондеисатор \mathcal{C}_1 Крутой участок пилообразного напряжения сравнения между точками \mathcal{A} и \mathcal{B} должен быть нарастающим, что соответствует положительной полярности импульса обратного хода строчной развертки. При этом выходное напряжение дискриминатора, снимаемое с точки Д, получается пригодным для управления частотой блокинг-генератора, в котором используется транзистор проводимости тнпа *n-p-n* (если между фазовым дискриминатором и блокинг-генератором нет усилительных каскадов, инвертирующих фазу управляющего сигнала). В противном случае система АПЧиФ работать не будет, так как напряжение управления будет стремиться не к тому, чтобы при уходе собственной частоты бло-

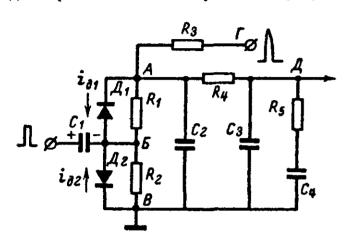


Рис. 26. Несбалансированиый фазовый дискриминатор.

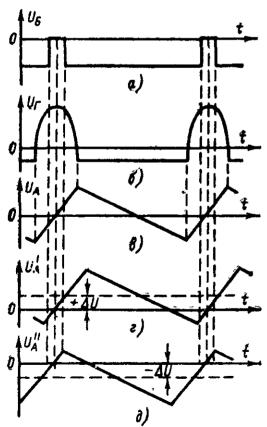


Рис. 27. Форма напряжений в узловых точках несбалаисированного фазового дискриминатора.

кинг-генератора возвратить ее к прежнему значению, а, наоборот, будет еще сильнее уводить эту частоту в сторону от оптимальной настройки.

Приступая к рассмотрению электрических процессов в фазовом дискриминаторе, предположим сначала, что напряжение сравнения между точками А и В отсутствует. Строчные синхрочимпульсы, поступающие на аноды встречно включенных диодов Д1 и Д2, будут отпирать эти дио-

ды, заряжая конденсатор C_1 . В период между сихроимпульсами обкладка коидеисатора C_1 , обращеииая к анодам диодов, будет иметь отрицательный потенциал, равный размаху синхроимпульсов (рнс. (27,a). Диоды \mathcal{I}_1 и \mathcal{I}_2 будут заперты в это время отрицательным напряжением, действующим в точке Б. За время между соседними синхроимпульсами конденсатор C_1 медленно разряжается через резисторы R_1 и R_2 , имеющие равные сопротивления $(R_1=R_2)$, на точку нулевого потенциала B и на конденсатор C_2 . При этом потенциал точки А почти не изменяется, так как емкость конденсатора C_2 выбирается много больше емкости конденсатора C_1 .

В момент прихода каждого очередного синхроимпульса потенциал в точке \mathcal{B} резко возрастает и становится несколько больше нулевого значения. Диоды \mathcal{I}_1 и \mathcal{I}_2 отпираются и через них текут примерно одинаковые прямые токи, подзаряжающие конденсатор \mathcal{C}_1 . Таким образом, с приходом каж-

дого синхроимпульса заряд конденсатора C_1 , пополняется. Следует особо подчеркнуть, что при отсутствии напряжения сравнения между точками A и B потенциал точки A в любой момент времени остается весьма близким к нулевому значению.

При наличии между этими точками пилообразного напряжения сравнения на диоды дискриминатора воздействуют два переменных напряжения: напряжение синхроимпульсов и пилообразное напряжение сравнения. К каждому из диодов прикладывается половина напряжения сравнения, когорое делится поровну на сопротивлениях резисторов R_1 и R_2 . Переменное напряжение, действующее на каждом из диодов во время прохождения пологого участка пилы, не может отпереть диоды, так как этому препятствует запирающее отрицательное напряжение, накопленное конденсатором C_1 .

Во время действия синхроимпульса диоды находятся под действием суммарного напряжения синхроимпульсов и крутого участка пилы При этом полярность синхроимпульсов одинакова по отношению к полярности включения диодов, а полярность напряжений сравнения для каждого из диодов получается различной.

Если фаза синхроимпульсов совпадает с фазой импульсов обратного хода строчной развертки, то середина крутого участка пилообразиого напряжения совмещается во времени с центральной частью синхроимпульса (рис. 27, в). В этом случае средине во времени токи каждого из диодов равны по величине, но противоположны по направлению, т. е. результирующий ток в цепи между точками А и В равеи нулю. В этих условиях изменения постоянной составляющей напряжения между этими точками не происходит.

Если же крутой участок пилообразного напряжения отстает по фазе от синхроимпульса, что соответствует уменьшению собственной частоты задающего генератора строчной развертки, то среднее значение тока через диод \mathcal{L}_1 будет больше среднего значения тока через диод \mathcal{L}_2 . В результате между точками A и B появляется постоянная составляющая напряжения $+\Delta$ U (рис. 27, ϵ), нмеющая положительный знак.

В случае, если крутой участок пнлообразного напряжения опережает по фазе сиихронмпульс, что может случиться, когда собственная частота задающего генератора строчной развертки увеличится, то происходит обратное перераспределение токов, текущих через диоды. Это приводит к появлению между точками A и B постоянной составляющей напряжения — ΔU (рис. 27, ∂) отрицательного знака.

Для выделения постоянной составляющей выходного напряжения фазового дискриминатора из смеси переменных напряжений, в которой присутствуют пилообразное напряжение с остатками синхроимпульсов и напряжение импульсных помех, на выходе фазового дискриминатора устанавливается низкочастотный фильтр R_4C_3 . Чем больше постоянная времени фильтра, тем лучше подавляются высокочастотные составляющие помех, которые попадают в точку A дискриминатора вместе с синхроимпульсами.

Однако при чрезмерно большой постоянной времени фильтра сказывается инерционность системы АПЧиФ, выражающаяся в том, что после случайных иарушений синхронизации она восстанавливается слишком долго. Вместе с тем, чрезмерное увеличение постоянной времени фильтра заметно сужает полосу пропускания всей системы АПЧиФ в целом, что вызывает уменьшение полосы захвата частот задающего генератора. На практике постоянную времени

фильтра выбирают в большинстве случаев равной 10-20 периодам

строчной частоты.

Система АПЧиФ относится к разряду следящих систем, в которых используется петля отрицательной обратной связи. Как и всем полобным системам автоматического регулирования, системе АПЧиФ свойственны переходные процессы, проявляющиеся в том, что задающий генератор входит в сиихронизм не сразу, а в течение некоторого времени. При этом процесс вхождения в синхронизм может иметь характер медленио затухающих гармонических колебаний. В этом случае на экране телевнзора могут возникать качания изображения по горизонтали или сильно выраженные изгибы вертикальных линий изображения, имеющие характер распространяющейся вииз затухающей синусоидальной волны («веревочка»).

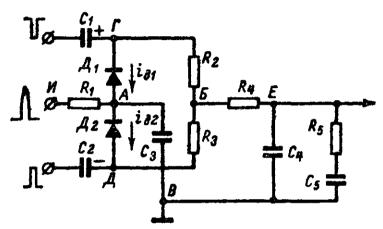


Рис. 28. Сбалансированный фазовый дискриминатор.

Подобная неустойчивость работы АПЧиФ возникает из-за паразитных колебаний в системе, вызываемых переходными процессами. Природа этих колебаний состоит в том, что для некоторых относительно высоких частот в полосе пропускания системы удовлетворяются условия самовозбуждения.

Паразитные колебания можно устранить, если каким-либо способом уменьшить напряжение сравнения, что эквивалентно уменьшению коэффициента обратной связи. Однако эта мера нежелательна,

так как при этом сильно сужается полоса захвата.

Более рациональным способом, позволяющим повысить устойчивость системы, является применение цепочки частотно-фазовой коррекции R_5C_4 (рис. 26). Такая цепочка устраняет подъем частотной характеристики в области верхиих частот полосы пропускания и вносит фазовые искажения, характер которых является обратным по отношению к паразитным фазовым искажениям, возиикающим в системе и приводящим к неустойчивости. В связи с этим цепочка частотно-фазовой коррекции, которую называют демпфирующей, способна подавлять паразитные колебання.

Демпфирующую цепочку обычно подбирают экспериментально. Наиболее вероятное значение ее постоянной времени в транзистор-

ных телевизорах лежит в пределах 2-10 мсек.

На рис. 28 приведена схема сбалаисированного (или симметричного) фазового дискриминатора, имеющая три входиые точки. К одной на них (точка A) подводится пилообразное напряжение срав-

пения, получаемое посредством интегрирования положительного импульса обратного хода строчной развертки с помощью цепочки R_1C_3 , а в две другие точки (точка Γ и точка \mathcal{I}) через конденсаторы C_1 и C_2 подаются синхроимпульсы, равные по величине, но протнвоположной поляриости. Полярности синхронизирующих нмпульсов должны быть такими, чтобы дноды в момент их действия открывались.

Если пилообразного напряжения сравнения нет, то в момент прихода синхроимпульсов диоды \mathcal{L}_1 и \mathcal{L}_2 открываются и через них текуг токи, заряжающие конденсаторы C_1 и C_2 . Емкости конденсаторов C_1 и C_2 выбирают одинаковыми, вследствие чего эти конденсаторы приобретают равные по абсолютной величине, но противоположные по знаку потеициалы.

В период между синхроимпульсами обкладка конденсатора C_1 , обращенная к диоду \mathcal{I}_1 , будет иметь положительный потенциал, а сбкладка коиденсатора C_2 , обращениая к диоду \mathcal{I}_2 , будет иметь отрицательный погенциал. Разность потенциалов между точками Γ и \mathcal{I} равна удвоенному зиачению размаха каждого синхроимпульса.

Весь отрезок времени между соседними синхроимпульсами диоды \mathcal{L}_1 и \mathcal{L}_2 будут заперты, так как к диодам прикладывается запирающее напряжение, действующее между точкамн Γ и \mathcal{L} . Конденсаторы C_1 и C_2 в это время медленио разряжаются на резисторы R_2 и R_3 , сопротивления которых равны. Так как токи разряда кондеисаторов C_1 н C_2 равны по величине, то вдоль цепи от точки Γ до точки \mathcal{L} все время сохраняется симметрия в распределении потенциалов и потенциал точки \mathcal{E} будет оставаться равным нулю.

В начале действия синхроимпульсов потенциал точки Γ резко падает и становится немного меньше нулевого зиачения. Соответствению потенциал точки \mathcal{L} резко возрастает и становится немного больше нулевого значения. Диоды \mathcal{L}_1 и \mathcal{L}_2 отпираются и через них текут прямые токи $i_{\mathcal{L}_1}$ и $i_{\mathcal{L}_2}$, заряжающие конденсаторы C_1 и C_2 . Таким образом с приходом каждого очередного синхроимпульса заря-

ды коиденсаторов C_1 и C_2 пополняются.

При наличии между точками A и B пилообразиого напряжения сравнения каждый нз диодов \mathcal{L}_1 и \mathcal{L}_2 во время прихода синхроимпульсов иаходится под действием суммарного иапряжения синхроимпульсов и крутого участка пилы. При этом от пилообразного напряжения зависит распределение потенциалов в точке Γ и \mathcal{L} . Если напряжение между точками A и B в момент действия синхроимпульсов потенциалы точек Γ и \mathcal{L} распределятся несимметрично относительно общего провода схемы (точка B). Однако симметрия всегда сохраняется относительно потенциала точки A. Так, если потенциал точки A в момент действия синхроимпульса положителен, то конденсатор C_1 получает добавочный положительный потенциал, T е. потенциал точки Γ становится еще более положительным. Соответственно потенциал точки Γ смещается в сторону положительных значений, T е. становится менее отрицательным.

Такое распределение потенциалов объясняется тем, что в момент действия синхроимпульсов прямые изпряжения, действующие на каждом из днодов, получаются неодинаковыми. Если потенциал точки A положителен, то из дноде \mathcal{I}_1 действует меньшее прямое изпряжение, чем из дноде \mathcal{I}_2 . Соответственно и прямые токи диодов будут различными. Прямой ток диода \mathcal{I}_1 будет меньше прямого тока диода \mathcal{I}_2 . Разностный ток ответвляется при этом в цепь

конденсатора C_3 , несколько изменяя напряжение на нем.

Несимметричное распределение потенциалов в точках Г и Д относительно иулевого провода схемы приводит к тому, что потен циал точки B стремится сместиться в ту же сторону, в которую сме щается потенциал точки A. Токи разряда конденсаторов C_1 и C_2 в этом случае будут разными, так как часть тока ответвляется в точку E_{i} заряжая конденсатор C_{i} . Выходное напряжение фазово го дискриминатора при этом изменяется.

Из этого следует, что напряжение на выходе фазового дискриминатора будет зависеть от того, какой участок пилообразного напряжения сравнения в точке А совпадает во времени с моментом

действия синхроимпульсов.

Если фаза импульсов обратного хода строчной развертки совпадает с фазой синхроимпульсов, то среднее значение напряжения между точками А и В за время действия синхроимпульсов будет равным нулю. При этом симметрия в распределении потенциалов в точках Γ н $\mathcal I$ относительно нулевого провода схемы сохраняется и выходное напряжение фазового дискриминатора будет таким же. как н в случае отсутствия напряжения сравнения, т. е. равным нулю.

В случае, если фаза импульсов обратного хода строчной развертки опережает фазу синхроимпульсов, среднее за время действия синхроимпульсов напряжение между точками A и B делается отри \blacktriangleleft цательным. Симметрия в распределении потенциалов в точках ? и Д относительно нулевого провода схемы иарушается и потенциал точки Б становится отрицательным.

Если же фаза импульсов обратного хода строчной развертки отстает от фазы синхроимпульсов, то потенциал точки ${\cal B}$ становится положительным.

В рассматриваемой схеме сбалаисированного фазового дискриминатора (рис. 28) выходное напряжение, синмаемое с точек E и B. пригодно для управления частотой блокинг-генератора, в котором используется транзистор проводимости p-n-p (если между точкой Е и управляющей цепью блокииг-генератора нет усилительных каскадов, инвертирующих фазу управляющего сигнала). При иеобходимости можно произвести инверсию управляющего напряжения непосредственно в самом фазовом дискриминаторе. Для этого достаточно изменить полярность импульсов обратного хода строчной развертки, подводимых в точку H. Этот же способ пригоден и для схемы иесбалансированного фазового дискримниатора.

Требуемая собственная частота траизнсторных блокинг-генераторов получается при иаличии на базе транзистора некоторого постоянного иапряжения, отличного от иуля. Поэтому для правильной работы системы АПЧиФ необходимо к выходному напряжению, снимаемому с фазового дискриминатора, добавить постоянное компенсирующее напряжение, соответствующее требуемой собственной частоте блокинг-генератора При этом выходное напряжение фазового дискриминатора, управляющее собственной частотой блокинггенератора, должно изменяться не от нулевого значения, а в обе стороны от уровня компеисирующего напряжения.

Компенсирующее напряжение для схемы иесбалансированного фазового дискриминатора (рис. 29, a) получается с помощью делителя напряжения, подключаемого к источнику питания, и подается между точками В и корпусом (точка В заземлена в рабочей схеме только по переменному току). Делитель напряжения обычио содержит резистор переменного сопротивления R_7 — регулятор частоты строк, позволяющий плавно измеиять собственную частоту блокинггенератора в необходимых пределах.

В схеме сбалансированного фазового дискриминатора (рис. 29, б) компеисирующее напряжение заводится в точку И или в точку А.

Следует заметить, что несбалансированный фазовый дискриминатор уступает по своим качественным показателям сбалансированному фазовому дискриминатору Его преимущество состоит только в том, что для его работы необходимо иметь не два, а один синхроимпульс любой полярности. Если удобио со схемы амплитудного селектора получать синхроимпульсы отрицательной полярности,

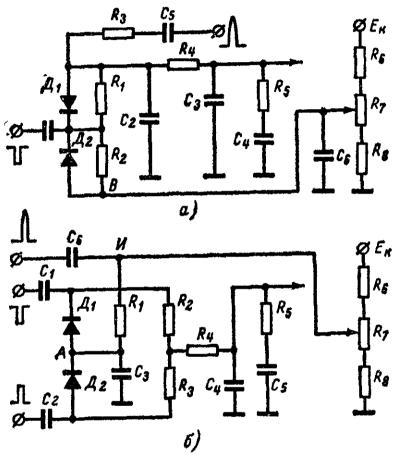


Рис. 29. Способы подачи компенсирующего напряжения на фазовые дискриминаторы.

то диоды \mathcal{A}_1 и \mathcal{A}_2 в схеме необходимо включить так, как показано

на рис 29, а.

Сбалансированный фазовый дискриминатор позволяет получить более симметричную и широкую полосу захвата и обеспечивает при прочих равных условиях большую мощность выходиого управляющего сигнала. Благодаря этим преимуществам сбалансированный фазовый дискриминатор нашел более широкое применение в схемах промышленных транзисторных телевизоров.

Нормальная работа фазовых дискриминаторов возможна, если амплитуда синхроимпульсов по крайней мере в 2 раза превышает

размах пилообразного напряжения сравнения.

Для фазовых дискриминаторов пригодны маломощные точечные германиевые диоды с величинами обратных сопротивлений не менее 100-200 ком.

Глава четвертая КАДРОВАЯ РАЗВЕРТКА

ОБЩИЕ СВЕДЕНИЯ

Общая функциональная блок-схема кадровой развертки состоит из задающего генератора, формирующего пилообразиое напряжение, и усилителя мощности, преобразующего пилообразное напряжение в пилообразный ток. Этот ток протекает в кадровых отклоняющих катушках и управляет положением электронного луча по вертикали на экране кинескопа.

В общем случае построения схемы кадровой развертки принципнальио возможиы два предельных (идеализированных) варианта распределения функциональных задач между задающим генераго-

ром и усилительной частью схемы.

Один вариант характеризуется наличием задающего генератора, вырабатывающего пилообразное напряжение, в сочетании с усилителем, имеющим почти линейную амплитудную характеристику, которая достигается применением глубоких отрицательных обратных связей. Такие схемы сложны, но обеспечивают высокую линейность развертки и стабильность всех ее параметров. Применять подобные схемы целесообразно только в высококачественных стационарных телевизионных приемниках.

Другой вариант предусматривает наличие такого задающего генератора, в котором допускается значительная нелинейность пилообразного напряжения. Эта нелинейность компенсируется затем в усилительной части схемы кадровой развертки нелинейностью, имеющей обратный характер. Компенсация нелинейности достигается использованием неличейных свойств траизисторных ступеней в усилительных каскадах, а также формированием соответствующих переходных характеристик за счет частотно-избирательных цепей.

Схемы кадровых разверток, в которых используется этот принцип, отличаются простотой, но применяются обычно только в тех случаях, когда к развертке в целом не предъявляется высоких требований по линейности н стабильности. Такие схемы применяются только в малогабаритиых переносных конструкциях дешевых теле-

визоров.

Большинство современных транзисторных схем кадровой развертки строится по принципу, занимающему промежуточное положение между двумя упомянутыми предельными вариантами. Почтн всегда в этих случаях усилительная часть схемы кадровой развертки содержит отрицательные обратные связи, которыми охватываются отдельные каскады или весь усилитель, а задающий генератор дополняется схемой линеаризации пилообразного напряжения или схемой компенсации нелинейности, вносимой усилительной частью развертки.

Как и в ламповых схемах, кадровая развертка на транзисторах может быть двухкаскадной, состоящей из задающего генератора и выходного каскада. Однако при этом требуются транзисторы, обладающие очень высокими усилительными свойствами. Практические транзисторные схемы кадровой развертки содержат обычно: три-четыре транзисторных каскада и несколько полупроводииковых диодов. Число каскадов определяется, в основном, мощностью, потребляемой отклоняющими катушками, качеством транзисторов и требопредъявляемыми к качественным характеристикам ваниями, развертки.

В некоторых схемах между амплитудным селектором и задающим генератором кадровой развертки включают дополнительный каскад, усиливающий кадровые синхроимпульсы и позволяющий по-

лучить более высокое качество синхронизации.

 ${f y}$ силительная часть схемы транзисторной кадровой развертки содержил обычно два траизистора, один из которых используется в выходьом каскаде, а другой — в предварительном, обеспечивающем требуемое усиление мощности, подводимой к выходиому каскалу При использовании в усилительной части дешевых транзисторов или при повышенных требованиях к параметрам развертки мотут потреооваться три транзистора.

Уровень необходимой выходной мощности в выходном каскаде кадровой развертки на траизисторах и лампах примерно одинаков Поэтому в выходном каскаде применяются достаточно мощные транзисторы, а в задающем генераторе — маломощные низкочастотные транзисторы. Мощность транзистора, предшествующего выходиому каскаду, выбирается в зависимости от усилительных свойств траизистора, работающего в выходном каскаде, а также зависит от мощности, отдаваемой выходным каскадом в нагрузку.

Выходные каскады кадровой развертки строят преимущественно по однотактной схеме с выходным трансформатором или дросселем Двухтактные схемы выходных каскадов не обеспечивают требуемого времени обратного хода кадровой развертки и в промышленных телевизорах почти не применяются.

Рассмотрим более подробно отдельные каскады, входящие

в схему кадровой развертки.

ЗАДАЮЩИЙ ГЕНЕРАТОР

Для формирования пилообразиого иапряжения необходимы самовозбуждающийся генератор прямоугольных импульсов и разрядный каскад С целью уменьшения общего числа транзисторов функции разрядного каскада и генератора импульсов обычно выполняет один транзистор.

В современных транзисторных телевизорах в качестве самовозбуждающегося генератора прямоугольных импульсов кадровой частоты применяют исключительно блокинг-генератор, обладающий по сравнению с мультивибратором более высокой стабильностью собственной частоты при изменениях иапряжения источника питания н окружающей температуры, а также позволяющий использовать в схеме меньше транзисторов. Преимущество блокинг-генератора проявляется также и в том, что он обладает корошей взаимозаменяемостью транзисторов, т. е. не критичен к разбросу параметров Однотипных транзисторов.

Блокинг-генератор, выполненный на транзисторе, аналогичен ламповому варианту блокинг-генератора, т. е. представляет собой усилительный каскад, охваченный с помощью трансформатора очень сильной положительной обратной связью. Одну из обмоток трансформатора включают в цепь базы транзистора, а другую обмотку можно включить либо в цепь коллектора (коллекторно-базовая

связь), либо в цепь эмиттера (эмиттерно-базовая связь).

На рис. 30 изображена практическая схема траизисторного бле кинг-генератора с коллекторно-базовой связью, нашедшая наиболи шее применение в задающих генераторах кадровой развертки. Рас смотрим работу блокинг-генератора на примере этой схемы.

Большую часть периода колебаний блокинг-генератора транзи стор находится в закрытом состоянии за счет того, что отрицатель ное напряжение в эмиттере больше отрицательного напряжения и базе, подводимого от делителя напряжения R_{61} , R_{62} и R_{68} . В эт время конденсатор C_2 медленио разряжается на резистор R_3 .

Когда отрицательное напряжение $U_{\rm c}$ на конденсаторе $C_{\rm s}$ п абсолютиой величиие стаиет меньше иапряжения на базе $E_{f 5}$, транf iзистор приоткроется, и через первичную обмотку траисформатора

потечет нарастающий коллекторный ток, который вызовет появлен ние отпирающего напряжения во вторичной обмотке транс форматора и, следовательно

> тока в цепи базы транзистора. Это еще больше отопрет транзистор, т. е. коллекторный ток станет еще сильнее увеличиваться. Процесс увеличения коллекторного тока благодаря сильной положительной обратной связи развивается очень быстро - лавииообразно и заканчивается глубоким насыщеиием транзистора. Затем некоторое время транзистор находится в открытом состоянии, так как ток базы не может прекратиться мгновенио из-за реакции самонндукции обмотом траисформатора.

> В это время кондеисатор $C_{\mathbf{s}}$ заряжается током эмиттера и отрицательное напряжение на нем быстро растет. Это напряжение успевает стать больше отрицательного напряжения на базе E_6 и, когда переходный процесс в трансформаторе прекратится, траизистор начнет запираться. Ток коллектора в это время будет уменьшаться, что вызовет уменьшение тока базы. Под действием положительной обратной связи процесс перехода транзистора из насыщенного состояния в состояние отсечки коллекторного тока происходит лавинообразио.

Быстрый переход транзистора из открытого состояния в закрытое вызывает в первичиой обмотке трансформатора очены резкое изменение коллекторно

 E_{N} 6)

Рис. 30. Схема блокинг-генератора (а) и формы напряжений токов в блокинг-генераторе (6).

го тока, которое сопровождается всплеском напряжения $U_{\kappa\text{-макс}}$, имеющего форму острого импульса отрицательной полярности. На рис. 30 форма этого всплеска обозначена тонкой линией.

Напряжение на коллекторе транзистора в момент его перехода в запертое состояние определяется суммой напряжений источника питания и размаха импульса. Это напряжение представляет для транзистора опасность, так как оно, в большинстве случаев превышает величииу предельно допустимого напряжения между коллек-

тором и базой транзистора,

Для ограничения указанного всплеска напряжения достаточно подсоединить параллельно какой-либо обмотке трансформатора полупроводниковый диод так, как это сделано, например, в схеме, изображенной иа рис. 30 При подключении диода напряжение всплеска оказывается приложениым к открытому диоду и ограничивается его шунтирующим действием. В другие моменты времени диод практически не влияет на работу блокинг-генератора.

Следует заметить, что самовозбуждение блокинг-генератора возможно только при определенном подключении выводов обмоток трансформатора к схеме. Правильное включение трансформатора показано на рис. 30, где обозначены начала и коицы обмоток. Если траисформатор включить иеправильно, то обратная связь станет не положительной, а отрицательной, и блокинг-генератор работать не

Пилообразное напряжение в рассматриваемой схеме формируется на конденсаторе $C_{\mathfrak{p}}$ и имеет нарастающий по времени линейный участок. В своей совокупности резистор $R_{\mathfrak{s}}$ и кондеисатор $C_{\mathfrak{s}}$ представляют собой разрядиую цепочку, работа которой была ранее рассмотрена.

В случае, когда нужно иметь пилообразное напряжение с падающим лииейным участком, т. е. изменить полярность пилообразного напряжения, аналогичную схему можно постронть, применив

в ней транзистор обратного типа проводимости.

Пилообразиое напряжение с падающим линейным участком можно получить так же, используя рассматриваемую схему блокинг-генератора. Для этого необходимо установить в цепь коллектора другую разрядную цепочку, т. е. еще один резистор и еще одии конденсатор. Резистор включают в этом случае последовательно с коллекторной обмоткой трансформатора между ее началом и проводом коллекторного питания. Конденсатор подключают к началу коллекторной обмотки трансформатора и общему проводу схемы так, как показано на рис. 31, а. Пилообразное напряжение в схеме (рис. 31, a) формируется за счет заряда конденсатора C_{κ} через резистор R_{κ} и быстрого разряда через коллекториую цепь траизистора, когда последини полностью открывается.

Длительность импульсов обратного хода в блокинг-генераторе связана с параметрами элементов схемы следующим приближенным

соотношением:

$$T_2 = \frac{L_1}{nr_{6\cdot 9}} \left(B - \frac{1}{n} \right), \tag{81}$$

в котором $r_{6.9} = 150 \div 500$ ом — прямое сопротивление участка база — эмиттер насыщенного траизистора; L_1 — индуктивность первич ной (коллекторной) обмотки трансформатора; $n=w_1/w_2$ — коэффи циент траисформации, равный отношению числа витков первичной обмотки к числу витков вторичной обмотки.

Из формулы (81) видно, что при увеличении индуктивности первичной обмотки трансформатора длительность импульсов обратного хода возрастает. На практике время обратного хода формируемого пилообразного напряжения кадровой развертки выбирается в пределах 100-500 мксек. Коэффициент трансформации трансформатора в схемах транзисторных блокинг-генераторов, в которых используются германиевые транзисторы, принимается в большинстве случаев равным $n=0.25 \div 0.5$, причем меньшая величина n наиболее пригодна для типов транзисторов с малым значением параметра B.

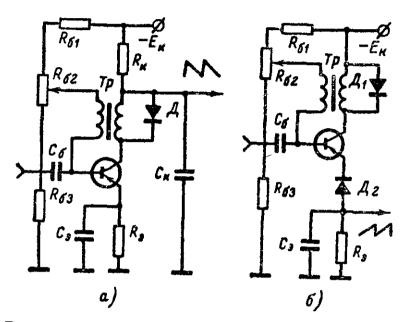


Рис. 31. Задающий генератор кадровой развертки. а — типовая схема с формированием пилообразного напряжения в коллекториой цепи; б — блокинг-генератор с улучшенной стабильностью собственной частоты.

Собственную частоту блокинг-генератора регулируют, изменяя постоянное напряжение на базе транзистора при помощи потенциометра R_{62} (см. рис. 30). При этом пропорционально изменяется и напряжение на эмиттере открытого транзистора, так как транзистор по постоянному току включен по схеме эмиттерного повторителя. Если, например, постояниая составляющая тока эмиттера уменьшается по абсолютной величине, то разряд конденсатора C_9 происходит медленнее вследствие того, что средний ток разряда (на постоянное сопротивление резистора R_9) уменьшается. Это приводит к увеличению времени, в течение которого транзистор остается в закрытом состоянии, т. е. происходит уменьшение собственной частоты блокинг-генератора.

Время, в течение которого транзистор блокинг-генератора остается в закрытом состоянии, соответствует прямому ходу пилообразиого напряжения. Оно может быть вычислено по следующей приближенной формуле:

$$T_1 = R_9 C_9 \ln \frac{|E_6| + |U_c|}{|E_6|}$$
, (82)

в которой $|E_6|$ — абсолютная величина постоянного напряжения на базе транзистора, а $|U_c|$ — абсолютная величина размаха пилооб-

разного напряжения, возникающего на конденсаторе C_9 . Цепочка R_9C_9 называется времязадающей, так как время прямого хода зависит в основном от постоянной времени этой цепочки.

Назначение резисторов R_{61} и R_{63} в приведенных схемах блокииг-генераторов заключается в том, чтобы ограничить пределы регулировки постоянного напряжения на базе. Сопротивления этих резисторов выбирают с таким расчетом, чтобы имелась возможность при помощи потенциометра R_{62} плавно изменять частоту собственных колебаний блокинг-генератора в требуемых пределах.

При выборе элементов схемы блокинг-генератора необходимо следить за тем, чтобы в момент заряда конденсатора $C_{\mathfrak{p}}$ ток коллектора в импульсе $I_{\mathbf{K}.\mathbf{имп}}$ не превышал допустимого, оговоренного в справочных данных. Величина этого тока определяется выражением

$$I_{\text{K.HMI}} = \frac{E_6}{R_9} \frac{T_1}{T_2} \,. \tag{83}$$

Размах пилообразного напряжения, снимаемого с конденсатора C_9 , может быть вычислен по формуле

$$U_{\mathbf{c}} = \frac{I_{\mathbf{K}.\mathbf{HMB}} T_{\mathbf{2}}}{C_{\mathbf{a}}}.$$
 (84)

При этом коэффициент нелинейности составит:

$$k_{\rm H} = \frac{E_{\rm 6}}{U_{\rm c}} \ .$$

Важным свойством траизисторных блокинг-генераторов, используемых в задающих генераторах телевизиоиной развертки, является стабильность частоты собственных колебаний, во многом определяющая качество синхронизации. Рассмотрим кратко причины, вызывающие нестабильность, и меры, улучшающие этот параметр.

Период собственных колебаний блокинг-генератора в основиом определяется длительностью прямого хода, так как она намного больше длительности обратного хода. Поэтому и стабильность собственных колебаний зависит от стабильности времени прямого хода пилообразиого напряжения.

Одна из причин нестабильности собственной частоты транзисторного блокинг-генератора состоит в том, что длительность прямого хода зависит от величины стагического коэффициента усиления транзистора по току B, который заметно изменяется от температуры и с течением времени.

Механизм связи времени прямого хода с параметром B таков, что при увеличении B увеличивается коэффициент насыщения транзистора во время обратного хода, а это приводит к уменьшению выходного сопротивления открытого транзистора. Следовательно, кондеисатор C_9 за время обратного хода в случае большего B зарядится до большего напряжения A это в соответствии с формулой (82) должно привести к увеличению времени T_1 , так как заряд кондеисатора до большего напряжения по существу означает увеличение напряжения U_c .

Уменьшить влияние изменения параметра B на длительность прямого хода можно несколькими путями. Во-первых, коэффициент насыщения следует выбирать достаточио большим $S_{\text{нас}} = 5 \div 10$, так как отиосительные изменения коэффициента насыщения при его боль-

шом абсолютном значении проявляются значительно слабее. Во-вторых, время обратного хода не должно быть слишком малым с тем, чтобы за время обратного хода конденсатор C_9 успевал заряжаться через внутреннее сопротивление открытого транзистора до возможно большего напряжения.

Наконец, можно установить в цепи коллектора резистор, сопротивление которого существенио превышает сопротивление насыщенного транзистора с тем, чтобы относительное изменение сопротивления насыщения было во много раз меньше общего сопротивления в цепи коллектора. Обычно искусственное увеличение активного сопротивления трансформатора дает желаемый результат.

Вторая причина нестабильности собственной частоты блокниггенератора— наличие в транзисторе температурно-зависимых обрат-

ных токов коллектора I_{80} и эмиттера I_{90} .

Во время обратного хода пилообразного напряжения ток $I_{\kappa 0}$, протекая в цепи базы, несколько изменяет напряжение на базе, что эквивалентно небольшому смещению движка потенциометра R_{62} . Это приводит к изменению режима транзистора по постоянному току. Ток $I_{\kappa 0}$, изменяясь от температуры, вызывает температурную нестабильность собственной частоты блокииг-генератора.

Влияние нестабильности тока I_{k0} может быть сведено до минимума выбором достаточно большого тока в делителе R_{61} , R_{62} , R_{63} , т. е. установкой в этом делителе резисторов достаточно малого суммарного сопротивления. При этом напряжение на базе будет слабо зависеть от изменения обратного тока в коллекторно-базовом пе-

реходе.

Влиянне иестабильности обратного тока эмиттерно-базового перехода I_{90} проявляется в том, что, помимо основиой цепи разряда конденсатора C_{9} на резистор R_{90} появляется паразитная температурно-зависимая цепь разряда током I_{90} на базу траизистора через его эмиттер. Это приводит к нестабильности постоянной времени общей цепи разряда и, следовательно, к нестабильности времени прямого хода.

Уменьшить влияние изменения тока I_{30} иа стабильность собствеиной частоты блокинг-генератора можно соответствующим выбором элементов разрядной цепочки $R_{9}C_{9}$. Для этого сопротивление резистора R_{9} не следует выбирать слишком большим. Однако пользоваться этим приемом надо осторожно, так как эта мера приводит к уве-

личению импульсного тока коллектора $I_{\mathbf{K}.\mathbf{HMI}}$

Другое средство уменьшения изменения тока I_{90} на стабильность длительности прямого хода состоит в том, что времязадающая цепь подключается к эмиттеру траизистора не непосредственно, а через полупроводниковый диод, имеющий большое обратное сопротивленне. Схема с полупроводниковым диодом в эмиттерной цепи блокинг-генератора приведена на рис. 31, б. В этой схеме необходимо применять кремниевые плоскостные диоды, допускающие импульсы тока до 100-200 ма.

В рассмотрениых выше схемах блокинг-генераторов времязадающая цепь была включена в эмиттер транзистора. Однако возможен и другой вариант схемы, в котором времязадающая цепь включается в цепь базы. Такая схема приведена иа рис. 32. Рабочие процессы в этой схеме аналогичны процессам, происходящим в схемах, приведенных выше. Особенностью является то, что запирание транзистора иа время прямого хода происходит положительным напряжением, которое вырабатывается в момент обратиого хода за счет выпрямления импульса, возиикающего в базовой обмотке трансформатора. Роль выпрямнтельного диода выполняет в этой схеме эмиттерно-базовый

переход транзистора, который способствует накоплению положительного заряда на конденсаторе C.

Достоинством схемы, изображениой на рис. 32, является то, что эффективность использования коллекторного иапряжения здесь несколько выше, чем в схемах, в которых времязадающая цепь включена в цепь эмиттера Поэтому и линейность пилообразного иапряже-

ния в последней схеме получается несколько лучшей. Основной недостаток схемы — более иизкая стабильность собственной частоты блокинг-генератора, так как данная схема изза относительно большого эквивалентного сопротивления, подключенного к базе, в большей степени подвержена влиянию изменяющегося от температуры обратного тока коллектора.

Схема с времязадающей цепью в базе находит значительно меньшее применение в транзисторных телевизорах, чем схема с времязадающей

цепью в эмиттере.
 Часто бывает нужно, чтобы пнлообразное напряжение, формируемое задающим генератором кадровой развертки, содержало импульсную составляющую. В генератор пилообразноимпульсного напряжения может быть превращен любой из рассмотрениых блокинг-генераторов, если к обычной разрядной цепочке добавить еще один резистор, включаемый последовательно с разрядной емкостью.

В схеме, изображенной на рис. 32, формируется пилообразно-импульсное наприжение, так как коиденсатор C_{κ} вклю-

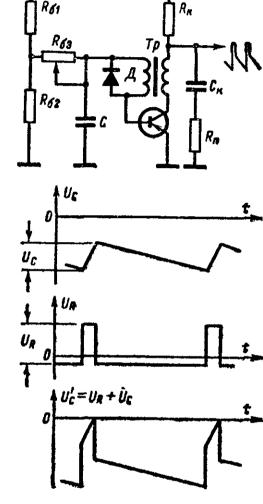


Рис. 32. Генератор пилообразно-импульсного напряжения.

чен не непосредственно на общий провод схемы, а через резистор R_{Π} Цепь формирования пилообразио-импульсного напряжения работает так, что в момент обратиого хода конденсатор C_{κ} быстро разряжается через открытый траизистор и резистор R_{Π} . Ток разряда $I_{\kappa.\text{имп}}$, проходя через резистор R_{Π} , создает на нем импульсное падеии напряжения U_R (рнс. 32), которое в этот момент складывается с изменением напряжения на конденсаторе C_{κ} .

Размах импульсной составляющей напряжения равеи:

$$U_R = I_{K, \text{HMII}} R_{\text{II}}, \tag{85}$$

тде $I_{\kappa.\,\text{имп}}$ — ток разряда конденсатора C_{κ} , определяемый соотноше нием (83).

Отношение пилообразной составляющей напряжения на выходо

формирующей цепочки к нмпульсной составляющей может быть вычислено по формуле

$$\frac{U_{\mathbf{c}}^{'}}{U_{R}} = \frac{U_{\mathbf{c}} - U_{R}}{U_{R}}, \tag{86}$$

где $U_{\mathbf{c}}$ — размах пилообразной составляющей при условии, если бы резистор \hat{R}_{Π} в схеме отсутствовал

Следует заметить, что нестабильность постоянного напряжения питания задающего генератора кадровой развертки оказывает существенное влияние на стабильность размаха формируемого пилообразного напряжения, что вызывает изменение вертикального размера изображения. Стабилизация напряжения источника питания схемы задающего генератора, например с помощью полупроводниковых стабилитронов, не решает полностью задачи стабилизации вертикального размера изображения.

Дело в том, что на стабильность вертикального размера оказывает свое влияние не только стабильность пилообразного напряжения, ио и стабильность высокого напряжения на втором аноде кинескопа. Поэтому задача стабилизации вертикального размера должна решаться совместно с задачей стабилизации высокого напряжения.

Учитывая это положение, а также и то, что горизонтальный размер изображения при изменении напряжения источника питания тоже не остается постоянным, обычно стремятся сделать так, чтобы при изменении питающего напряжения оставалось неизменным соотношение сторон кадра, т. е. чтобы размеры по вертикали н горизоитали нзменялись пропорционально.

В большинстве схем стабилизация формата изображения достигается тем, что с помощью элементов с нелинейной вольт-амперной характеристикой (варисторов или стабилитронов) получают такой источник питания для задающего генератора кадровой развертки, который обеспечивает требуемую завнеимость размаха пилообразиого напряжения от напряжения источника питания. Характеристика такого источника в большинстве случаев получается промежуточной между характеристикой хорошего стабилизатора напряжения и характеристикой нестабилизированного источника.

Блокинг-генератор кадровой частоты следует питать от источника с достаточно малым уровнем пульсаций Это важио потому, что на каждом телепентре частота полей кадровой развертки передающей трубки синхронна с частотой сети переменного тока. Если частота местиой сети, от которой питается телевизор, не совпадает с частотой сети передающего телецентра, то частота кадровой развертки телевизора оказывается несинхронной с частотой пульсаций выпрямителя. В таком случае пульсации напряжения источника питания воспринимаются блокинг-генератором как изменение абсолютного значения питающего напряжения с частотой, равной разности частот кадровой развертки и местной сети переменного тока. А любые изменения напряжения питания блокинг-генератора, как было показано выше, приводят к изменению размаха пилообразного напряжении и, следовательно, медленным изменениям вертикального размера изображения.

Описанный эффект возникает, естественно, только в случае, если частота местной сети переменного тока иесинхронна с частотой сети передающего телецентра (например, во время ретрансляции местным телецентром программ отдалениых телецентров или в случае приема программ цветного телевидения, когда частота кадровой развертки не бывает синхронной с частотой даже местной сети).

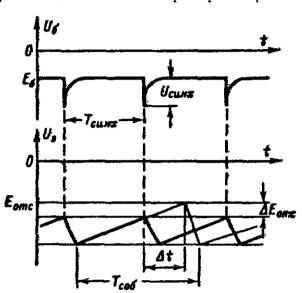
СИНХРОНИЗАЦИЯ ЗАДАЮЩЕГО ГЕНЕРАТОРА

Синхронизация кадровой развертки в телевизорах осуществляется, как правило, импульсным методом, т. е. воздействием кадровых синхроимпульсов, выделяемых интегрирующими цепями из синхр зсмеси, непосредственно на задающий генератор развертки. При этом импульсы кадровой синхронизации через разделительную емкость подаются в цепь базы или коллектора транзистора Реже для связи источника кадровых синхроимпульсов с блокинг-генератором приме-

няется специальная третья обмотка трансформатора, на которую подаются синхроимпульсы.

Для синхронизации кадровой развертки преимущественио используется фронт сиихроимпульса, т. е. процесс перехода блокинг-генератора от прямого хода к обратному совпадает во времени с фронтом синхроимпульса. При этом складываются наиболее благоприятиые условия для получения симметричной и устойчивой чересстрочности.

Процесс импульсной синхроиизации блокинг-генератора иллюстрируется с помощью рис. 33. Импульс синхронизации при любой схеме запуска в конечном итоге достигает базы транзистора,



Рнс. 33. Процесс захватывания частоты при импульсиой синхронизации блокинг-генератора.

так как коллектор и база связаны между собой трансформатором. Наличие синхроимпульса в базе изменяет уровень напряжения отсечки, соответствующий переходу транзистора из запертого состояния

в открытое, смещая его на величину $\Delta E_{\text{отс}}$.

При этом транзистор открывается раньше на время Δt , чем в случае отсутствия синхронмпульса. Таким образом, синхроимпульс принудительно укорачивает период собственных колебаний блокинг-генератора, заставляя транзистор срабатывать с частотой приходящих синхроимпульсов. Очевидно, что для уверенной синхронизации размах синхроимпульса, попадающего на базу, должен удовлетворять условию $U_{\rm chix} > \Delta E_{\rm orc}$. По мере увеличения разиицы между периодом собственных колебаний блокинг-генератора и периодом следования сиихроимпульсов величина $\Delta E_{\text{отс}}$ увеличивается, а поэтому для вхождения в синхронизм требуется больший размах синхроимпульсов.

Условия импульсной синхронизации блокинг-геиератора требуют, чтобы период следования снихроимпульсов был несколько меньше периода собственных колебаний блокинг-генератора. При этом область собственных частот, в пределах которой блокинг-генератор увереино входит в режим вынужденных колебаний, называемая полосой захвата, располагается всегда ниже частоты синхроимпульсов.

Верхняя граничная частота полосы захвата теоретически равиа частоте приходящих синхроимпульсов. Нижняя граничная частота

полосы захвата зависит от размаха снихроимпульсов и расширяется

по мере увеличения их размаха

Наиболее устойчивая синхронизация блокииг-генератора имеет место, когда собственная частота примерно равна частоте следования синхроимпульсов. Однако при регулировке частоты кадров стремятся к тому, чтобы осталась разница между частотой собственных и частотой вынужденных колебаний, т. е настраивают блокинг-генератор на частоту, величина которой несколько ниже частоты синхроимпульсов

Это объясняется тем, что при равенстве частот собственных и вынужденных колебаний появляется опасность нарушення синхронизации нз-за нестабильности собственной частоты блокинг-генератора Если, например, собственная частота несколько увеличится и станет выше частоты синхроимпульсов, то частота блокинг-генератора выйдет за пределы полосы захвата и синхронизация нарушится

Для того чтобы блокинг-генератор запускался фронтом синхроимпульса, нужно, чтобы при различиых вариантах подачн синхроимпульса его полярность была определенной. В случае использования в блокинг-генераторе транзисторов типа р n-p на базу требуется подавать отрицательные синхроимпульсы, а на коллектор — положительные. Если же в блокинг-генераторе используется траизистор типа n-p-n, то на базу нужно подавать положительные синхроимпульсы, а на коллектор — отрицательные.

Об этом не следует забывать и в тех случаях когда, используется

траисформатор со специальной третьей обмоткой.

Схема блокинг-генератора, в которой имеется специальная обмотка для синхроиизации, дает наилучшие результаты по качеству синхронизации, так как соответствующим выбором числа витков этой обмотки всегда имеется возможность подобрать оптимальное согласование выходного сопротивления источника синхроимпульсов с входным сопротивлением блокинг-генератора

Следует заметить, что для получения симметричной чересстрочности развертки время обратного хода задающего генератора кадров желательно выбирагь не более 192 мксек, т е ие более длительности кадрового синхроимпульса. Если время обратного хода превышает длительность кадрового синхроимпульса, то срез синхроимпульса может создавать нежелательное воздействие на режим блокинг-генератора или даже раньше положенного времени переводить транзистор из открытого состояния в закрытое

Одиако по соображениям получения хорошей стабильности собственной частоты блокинг-генератора, а также для того, чтобы уменьшить по возможности всплеск напряжения на коллекторе траизистора выходного каскада кадровой развертки, время обратного хода задающего генератора кадров желательно выбирать большим Удовлетворить обоим противоречивым требованиям можно, если между источником синхроимпульсов и задающим генератором установить полупроводниковый диод так, как это сделано на рис. 34 а

В этой схеме источником кадрового синхроимпульса является усилительный каскад, предшествующий блокинг-генератору. Положительный синхроимпульс подается через диод \mathcal{L}_2 непосредственно в коллектор транзистора После того, как траизистор блокинг-генератора откроется фроитом синхроимпульса, его срез уже не будет влиять на режим транзистора, так как напряжение на коллекторе упадет, а диод \mathcal{L}_1 будет заперт на все время обратного хода.

Аналогичная схема для варианта с трехобмоточным трансформатором дана на рис. 34, б. В этой схеме синхроимпульс отрицательнон полярности с выхода двухзвенной интегрирующей цепочки через дно д

 \mathcal{I}_1 поступает на специальную обмотку трансформатора. После запуска на специальной обмотке возникает собственный отрицательный импульс блокинг-генератора, который приводит к запиранию диода \mathcal{I}_1 . При этом цепь синхронизации как бы отключается от цепи запуска на время, пока транзистор блокинг-генератор находится в открытом состоянии.

Блокинг-генератор чувствителен к воздействию импульсных помех, воспринимаємых им как ложные синхронизирующие импульсы,

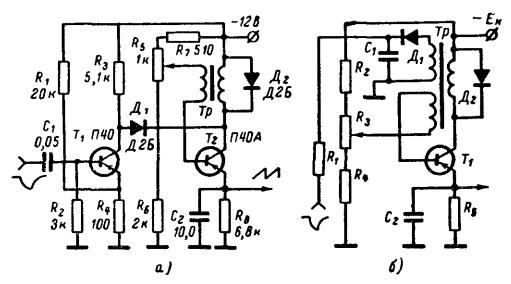


Рис. 34. Две схемы синхронизации задающего генератора кадровой развертки с разделенным входом.

если эти помехи имеют размахи, соизмеримые с размахом синхро-импульса Но кратковременные импульсные помехи сильно подавля-

ются в интегрирующих цепях выделения кадровых синхроимпульсов и вероятность появления таких помех мала.

Однако на качество синхронизации задающего генератора кадровой развертки существенно влияют и слабые остатки импульсных помех. При этом помехоустойчивость сиихронизации зависит от длительности фронта сиихронизирующих импульсов.

сов. Слишком большая длительность фронта синхроимпульса приводит к иеста-

Usas Usas Ucusz

Рис. 35. Влияние импульсной помехи на время запуска кадрового блокинг-генератора.

... колобоний блокинг-генепатова Ко

бильности периода вынужденных колебаний блокинг-генератора, которая вызывается действием импульсных помех (рис. 35).

В результате сложения сигнала синхронизации $U_{\text{синх}}$ с импульсной помехой $U_{\text{пом}}$ происходит искажение формы фронта сиихронизирующего импульса, что приводит к смещению момента срабатывания блокинг-генератора. Блокинг-генератор запустится на время Δt раньше, если помеха имеет такую же полярность, что и синхроимпульс,

так как напряжение на базе транзистора раньше достигнет уровня

запуска $U_{\text{зап}}$, чем при отсутствии помехи.

Преждевременный запуск задающего генератора кадровой развертки или запуск с некоторым запаздыванием приводит к смещению одного полукадра относительно другого на некоторое время. При этом один из полукадров относительно другого будет сдвинут не точно на время, равное длительности половины строки, что вызовет кратковременное нарушение симметрии чересстрочного разложения. Если импульсы помех следуют хаотически, то на экране телевизора будет наблюдаться такое же нарушение чересстрочности, т. е. чересстрочность, как принято говорить, будет неустойчивой.

Более неприятный эффект вызывают регулярные импульсные помехи, возникающие вследствие влияния импульсов строчной развертки на работу задающего генератора кадровой развертки. В этом случае остатки строчных синхроимпульсов или импульсы, генерируемые каскадами строчной развертки, могут проникать в цепь синхронизации задающего генератора кадровой развертки через общие цепи питания, а также из-за нерационально выполненного монтажа и неудач-

ного размещения элементов схемы. В результате воздействия такой помехи происходит устойчивое нарушение симметрии чересстрочного разложения или даже полное спаривание строк, проявляющееся в наложении строк четных и нечетных полей разложения друг на друга Это вдвое уменьшает четкость изображения по вертикали, а также при этом несколько уменьшается и четкость по горизонтали. Снижение четкости по вертикали объясняется тем, что число элементов изображения, воспроизводимых на экране телевизора и воспринимаемых зреннем, уменьшается из-за кажущегося уменьшения числа строк в кадре. Вместе с тем в результате наложения соседних строк друг на друга происходит смазывание мелких деталей вдоль строк, так как видеоинформация в соседних строках не одинакова.

Рассмотрим пути улучшения качества чересстрочной структуры растра. Основное внимание должно быть уделено тщательной экранировке цепей запуска блокинг-генератора кадровой развертки. Блокинг-трансформатор не следует размещать вблизи элементов схемы, вокруг которых имеются сильные переменные электростатические или электромагнитные поля. Такими элементами являются, например, выходной строчный грансформатор, отклоняющая система, каскады

строчной развертки и т. п

Другим средством улучшения чересстрочности является уменьшение длительности фронта кадрового синхроимпульса, если при этом удается достаточно эффективно подавить строчные синхроимпульсы. Поэтому применение многозвенной интегрирующей цепочки для выделения кадровых синхроимпульсов предпочтительнее по сравнению с однозвенной интегрирующей цепочкой.

ВЫХОДНОЙ КАСКАД

В транзисторных переносных конструкциях промышленных телевизоров преимущественно применяется схема однотажтного выходного каскада кадровой развертки с дроссельным или автотрансформаторным выходом. Применение выходного каскада с дроссельным выходом дает возможность уменьшить размеры и вес телевизора, что очечь важно для переносной модели. Реже, главным образом в стационарных конструкциях, применяется трансформаторный выход, позволяющий получить оптимальное согласование коллекторной цепи гранзистора с нагрузкой.

Транзистор в выходиом каскаде, как правило, включают по схеме с общим эмиттером, что позволяет получить максимальное усиление по мощности и обойтись меньшим числом каскадов. Схема с общим коллектором не применяется, так как в связи с низким выходным сопротивлением такого каскада трудно обеспечить приемлемое
время обратного хода развертки. Схема с общей базой не нашла применения вследствие отсутствия усиления по току и низкого входного
сопротивления, что требует согласующего трансформатора между
предварительным и оконечным каскадами.

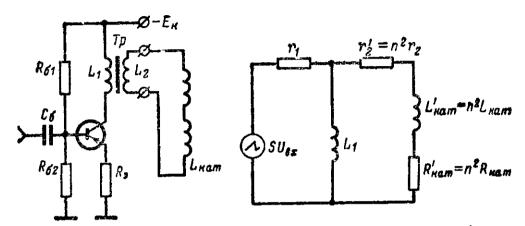


Рис. 36. Выходной каскад кадровой развертки с трансформаторным выходом и его эквивалентная схема.

Поскольку дроссельный и автотрансформаторный выходные каскады можно рассматривать как частный случай трансформаторного каскада, рассмотрим работу выходного каскада кадровой развертки с трансформаторным выходом.

На рис. 36 изображены схема трансформаторного выходного каскада и его эквивалентная схема, которая дает возможность более наглядно представить основные соотношения и связи в этой схеме.

Из эквивалентной схемы видно, что недостаточно большая индуктивность первичной обмотки грансформатора L_1 должна вызывать низкочастотное искажение пилообразного импульса. Это равносильно искажению формы пилообразного тока в отклоняющих катушках, так как при линейном токе коллектора отклоняющий ток не будет линейным. Коэффициент нелинейности отклоняющего тока связан с парметрами эквивалентной схемы следующим соотношением, справедливым в случае не слишком большой нелинейности отклоняющего тока

$$k_{\rm H} = T_1 \frac{R_{\rm KAT}^{'}}{L_1} (87)$$

Для получения достаточно малого коэффициента нелинейности пилообразного тока требуется очень большая индуктивность первиной обмотки трансформатора. На практике применяют траисформаторы со значительно меньшей индуктивностью, чем это требуется согласно последней формуле, а для компенсации нелинейности придают линейно иарастающему участку коллекторного тока ік форму вогнутой дуги (рис. 37) Форма базового тока іб должна при этом соответствовать требуемой форме коллекторного тока, а также учитывать нелинейные усилительные свойства самого транзистора.

В связи с тем, что искажения формы пилообразного тока в отклоняющих катушках, возникающие из-за недостаточной индуктивности L_1 , и искажения формы из-за неличейных свойств транзистора сходны по своему характеру, методы коррекций этих искажений аналогичны. Коррекция этих двух видов искажений обычно осуществляется с помощью частотис-зависимых цепей и нелинейных элементов. Необходимая для коррекции частотная характеристика может быть получена введением в усилительную часть схемы кадровой развертки частотно-зависимых цепей обратной связи. Очень часто применяют схему с положительной обратной связью через интегрирующую цепочку, которая позволяет осуществить подъем частотной характеристики в об-

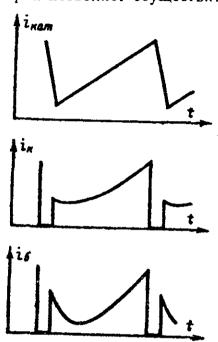


Рис. 37. Форма токов в выходиом каскаде кадровой развертки.

ласти низких частот, или схему с отрицательной обратной связью через дифференцирующую цепочку, позволяющую получить спад частотной характеристики в области средних и высоких частот. Введение частотно-зависимых обратных связей позволяет получить более равномерную общую частотную характеристику.

Наиболее распространенный способ коррекции с помощью нелинейных цепей заключается в использованин нелинейных свойств транзисторных каскадов, предшествующих выходному каскаду. Соответствующим выбором режима работы этих каскадов можно получить пелинейные искажения, характер которых будет обратным по отношению к искажениям, возникающим в выходном каскаде.

Линейность амплитудной характеристики выходного каскада может быть улучшена, если каскад охватить отрицательной обратной связью по перемеиному току. Для этого достаточно в цепь эмиттера установить резис-

тор R_9 (см. рис. 36), сопротивление которого выбнрают не слишком большим (2—5 ом), чтобы не очень сильно уменьщить коэффициент усиления по мощности.

Весьма эффективным способом линеаризации пилообразного тока в отклоняющих катушках является применение отрицательной обратной связи, охватывающей всю усилительную часть схемы кадровой развертки. Для этого последовательно с отклоняющими катушками включают резистор (R_c на рис. 40), имеющий небольшое, порядка 1—5 ом сопротивление, с которого снимается иапряжение обратиой связи, пропорциональное току в отклоняющих катушках. Это напряжение подводится к одному из предварительных каскадов.

ВЫБОР РЕЖИМА РАБОТЫ ВЫХОДНОГО КАСКАДА

На рис. 38 изображена эпюра напряжения на коллекторе, позволяющая рассмотреть особенности работы выходного каскада в различных стадиях формирования пилообразного тока в отклоияющих катушках.

Во время прямого хода развертки отрицательное напряжение из

коллекторе уменьшается и к моменту начала обратного хода достигает величины остаточного напряжения $U_{\rm ост}$, которое всегда должно быть несколько бсльше напряжения насыщения транзистора. Если величина остаточного напряжения будет слишком мала, то из-за неличейности участка выходной динамической характеристики, находящегося в непосредственной близости к точке насыщения, нижняя часть изображения будет несколько сжата или даже завернута (вследствие

ограничения коллекторного тока). Это искажение будет усугубляться по мере уменьшения напряжения питания и при повышении температуры транзистора.

Во время обратного хода развертки транзистор должен запираться импульсом, приходящим на его базу от предварительного каскада. При этом из-за резкого изменения тока в индуктивности отклоняющих катушек на первичиой обмотке выходного трансформатора возикает резкий скачок напряжения. В этот момент отрицательное напряжение на коллекторе достигает величины

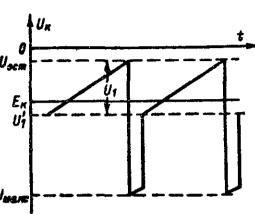


Рис. 38. Эпюра коллекторного напряжения в выходном каскаде кадровой развертки.

$$U_{\text{Makc}} = U_{\text{OCT}} + U_1 + n \frac{L_{\text{KAT}} I_{\text{KAT}}}{T_{\Phi}},$$
 (88)

где T_{Φ} — время перехода транзистора на открытого в запертое состояние; $I_{\text{кат}}$ — размах пилообразного тока в отклоняющих катушках и $n = w_1/w_2$ — коэффициент трансформации.

Всплеск напряжения во время обратного хода обычно превышает допустимое напряжение между коллектором и базой. Поэтому стремятся ограничить величину этого всплеска.

Наиболее часто ограничение всплеска достигается при помощи варистора R (рис. 41), присоединяемого к первичной обмотке выходного трансформатора (или к обмотке дросселя). Во время прямого хода развертки, когда на первичной обмотке действует относительно иебольшое напряжение, сопротивление варистора будет большим и его влияние практически не будет сказываться на работе выходиого каскада. Во время обратного хода, когда возинкает значительное импульсное напряжение, сопротивление варистора резко уменьшается, а обмотка оказывается зашунтированной этим сопротивлением, что предотвращает слишком большое увеличение напряжения на коллекторе.

В более мощных выходных каскадах кадровой развертки для ограничения всплеска напряжения может быть использована схема с полупроводниковым диодом (рис. 40). В этой схеме во время прямого хода развертки конденсатор C заряжен и отрицательное напряжение на нем по абсолютной величине больше напряжения источника питания. В это время диод закрыт, а конденсатор C медленно разряжается на источник питания через резистор R. К началу обратного хода напряжение на конденсаторе уменьшается, но по-прежнему остается больше напряжения источника питания, так как постояниая времени RC выбирается достаточно большой.

Во время обратного хода отрицательное напряжение на коллекторе резко возрастает. Когда величина его становится больше напряжения на конденсаторе, диод Д открывается, и дальнейший рост коллекторного напряжения прекращается, так как первичная обмотка трансформатора оказывается зашунтированной емкостью конденсатора С. В это время конденсатор быстро заряжается, и напряжение на нем вновь возрастает.

Емкость конденсатора C обычно выбирают равной 10-15 мк ϕ , а требуемое сопротивление резистора может быть определено по сле-

дующей приближенной формуле:

$$R \approx n \frac{U_{\text{K-Mon}} T_1}{I_{\text{KaT}} T_{2\text{Mon}}}, \tag{89}$$

в которой $U_{\kappa,\text{доп}}$ — допустимое напряжение на коллекторе используемого транзистора, $T_{2,\text{доп}}=1~400~\text{мксек}$ — допустимое время обратного

хода кадровой развертки.

Следует иметь в виду, что при ограничении всплеска напряжения увеличивается время обратного хода. Если это время станет больше длительности кадрового гасящего импульса, то часть передаваемой информации придется на обратный ход развертки, т. е. не будет воспроизведена на экране телевизора. Чтобы этого не случилось, сопротивление резистора R следует подобрать так, чтобы время обратиого

хода развертки не превышало 1 400 мксек.

Согласио формуле (88) всплеск напряжения на коллекторе транзистора выходного каскада зависит от коэффициента трансформации выходного трансформатора. Следовательно, получить малое время обратного хода развертки можно, применив выходной траисформатор с не очень большим коэффициентом трансформации, так как при этом потребуется в меньшей степени ограничивать всплеск напряжения. Однако в этом случае увеличится ток коллектора, уменьшаются коэффициент усиления по току и входное сопротивление транзистора, что вызовет ухудшение линейности. С учетом характеристик транзисторов средней мощности оптимальный коэффициент трансформации приият равным $n=1\div0.5$.

Выходной каскад кадровой развертки работает в режиме, аналогичном режиму класса А. Однако эта аналогия полностью исчезает во время обратного хода. Симметричность напряжения на коллекторе за счет импульсов обратного хода существенно нарушается. Поэтому для выходного каскада кадровой развертки требуется несколько большее напряжение питания, чем для каскадов, работающих в чис-

том режиме класса А.

86

 $\dot{ extbf{H}}$ 3 рис. 38 видно, что линия, соответствующая напряжению $E_{ extbf{k}}$, располагается не точно посредине между напряжениями $U_{
m oct}$ и U_1' а смещена в сторону напряжения U_1' . Чем больше длительность импульсов обратного хода и их амплитуда, тем ниже опускается линия $E_{\rm K}$, т. е. требуется большее напряжение питания. С учетом этого минимальная величина иапряжения источника питания выходного каскада кадровой развертки может быть вычислена по формуле

$$E_{K} = \frac{I_{KAT} (r_{1} + R_{9})}{n} + \frac{U_{1}}{2} + \frac{T_{2}}{T_{1}} U_{MAKC} + U_{OCT}, \qquad (90)$$

где R_3 — сопротивление резистора в цепи эмиттера и r_1 — сопротивление первичной обмотки трансформатора.

Обычно в начале расчета величины $U_{\text{макс}}$ и T_2 неизвестны. Вместо

них для прикидочного расчета можно подставить в формулу известные величины $U_{\rm K. ДОП}$ и $T_{\rm 2 ДОП} = 1~400$ мксек.

Транзисторы, используемые в выходных каскадах кадровой развертки, должны позволять рассеивать на них значительную мощность P_{T} , определяемую как разность между мощностью P_{0} , потребляемой от источника питания, и мощностью $P_{
m H}$, потребляемой нагрузкой, т. е.

$$P_{\rm T} = P_0 - P_{\rm H} \approx \frac{E_{\rm K} I_{\rm KAT}}{2n} - \frac{I_{\rm KAT}^2 R_{\rm H}}{12} . \tag{91}$$

 $R_{
m H} = r_1 + n^2 r_2 + n^2 R_{
m KaT} + n^2 R_{
m C} + R_{
m 9}$ — полное активное сопро-

тивление нагрузки каскада.

Полное использование раствора выходной динамической характеристики транзистора, работающего в выходном каскаде, а также широкий диапазон рабочих температур на коллекторном переходе, получающийся за счет тепловой инерции радиатора, требуют высокой температурной стабильности режима. В связи с тем, что нагрузкой каскада по постоянному току является первичная обмотка выходного трансформатора, имсющая малое активное сопротивление, напряжение на коллекторе транзистора от иестабильности коллекторного гока изменяется незначительно. Но с увеличением коллекторного тока уменьшаются коэффициент усиления по току и входное сопротивление транзистора, что вызывает ухудшение линейности амплитудной характеристики каскада.

Обычно стремятся, чтобы коллекторный ток при увеличении температуры перехода мог увеличиваться не более, чем на 10% иоминального значения С учетом этого допустимый коэффициент неста-

бильности выходного каскада определяется по формуле

$$S_{i \text{ gon}} = \frac{0.1I_0}{\Delta I_{\text{KO}}} \,. \tag{92}$$

Если в каскаде используется стабилизация режима за счет обратной связи по току, то сопротивление стабилизирующего резистора $R_{\rm e}$, устанавливаемого в цепь эмиттера, должно быть не менее

$$R_9 = R_6 \frac{1 - \frac{S_i}{B}}{S_i - 1} \,, \tag{93}$$

где R_6 — полиое сопротивление постоянному току в точке, к которой подсоединен базовый вывод транзистора. Для схемы, в которой используется емкостная связь между предварительным и выходным каскадом, сопротивление R6 определяется по формуле

$$R_6 = \frac{R_6' R_6''}{R_6' + R_6''} {.} {(94)}$$

Применение метода термокомпенсации по соображениям, изложенным выше, можно считать только вспомогательным средством для стабилизации режима, позволяющим при прочих равных условиях несколько увеличить сопротивление R_6 и тем самым получить иекоторый выигрыш в усилении по мощности за счет увеличения входного сопротивления каскада.

Термистор для получения требуемой характеристики компенсации должен быть закреплен непосредственно на корпусе транзистора или на его радиаторе с тем, чтобы обеспечить тепловой контакт между термистором и корпусом прибора. При этом компенсация изменения режима транзистора будет происходить не только с учетом температуры окружающего воздуха, но главным образом, что очень важно, с учетом температуры траизистора

Весьма эффективным дополнительным средством улучшения термостабильности режима выходного каскада является введение в схему отрицагельной образной связи по постоянному току, охватывающей выходной и предвыходные каскады. Разумеется, это возможно, если в части схемы, охваченной такой обратной связыю, все каскады связаны между собой гальванически, т. е. без разделительных кондентактивности.

саторов.

Наилучшая стабильность режима выходного каскада может быть получена, когда будут использованы все известные способы стабилизации, а именно стабилизация режима за счет отрицательных обрагных связей и термокомпенсация режима При этом размеры и вес ра-

диатора могут быть существенно уменьшены.

Транзистор выходного каскада кадровой развертки должеи иадежно запираться на время обратного хода, так как в этот момент величина выходией проводимости транзистора, если он иедостаточно заперт, резко увеличивается и, следовательно, уменьшается выходное сопротивление каскада, которое шунтирует нагрузку. Прн малых токах коллектора выходная проводимость транзистора сильно зависит от величны начального тока коллектора, температурная нестабильиость которого может вызывать иестабильность времени обратного хода и линейности пилообразного тока в нагрузке. Кроме того, закрытый транзистор позволяет допустить значительно большее иапряжение на его коллекторе, чем открытый транзистор, что создает более благоприятные условня для надежной работы транзистора.

Выбор оптимального коэффициента трансформацин для выходного трансформатора с точки зрения наилучшего использования напряжения источника питания может быть произведен по формуле

$$n = \frac{E_{\rm K} - U_{\rm oct}}{1.2I_{\rm KaT}R_{\rm KaT}},\tag{95}$$

где $I_{\rm кат}$ — размах пилообразного тока в отклоияющих катушках, необходимый для полного отклонения луча кинескопа, а $U_{\rm ост}$ — остаточное напряжение на коллекторе транзистора, не превышающее для германиевых транзисторов средней мощности 2-4 в.

Индуктивность первичной обмотки выходного трансформатора

можно выбрать из условия

$$L_1 \geqslant 0.5T_1 n^2 R_{\text{KaT}}. (96)$$

При этом линейность отклоняющего тока достигается довольно простыми средствами, а размеры трансформатора получаются вполне приемлемыми.

Размах пилообразиого тока в коллекторе транзистора при этом будет равен:

 $I_1 = 1.2 \frac{I_{\text{KaT}}}{n} \,, \tag{97}$

а постоянная составляющая коллекторного тока, соответствующая требуемому размаху переменной составляющей, будет равна:

$$I_0 \approx 0.4I_1. \tag{98}$$

Размах пилообразной составляющей иапряжения на коллекторе транзистора можно вычислить по формуле

$$U_1 = I_1 (r_1 + n^2 r_2 + n^2 R_{\text{KaT}}), \tag{99}$$

в которой r_1 — активное сопротивление первичной обмотки трансформатора; r_2 — активное сопротивление вторичной обмотки трансформатора; $R_{\rm кат}$ — активное сопротивление кадровых отклоняющих катушек.

Сопротивление обмоток выходного трансформатора не должно быть слишком большим. Трансформатор будет иметь приемлемый к. п. д., если сопротивления обмоток выбрать из условий $r_2 \leq 0,1~R_{\rm Kat}$, $r_1 \leq 0,1~R_{\rm Kat}$. Для изготовления трансформатора можно воспользоваться типовым сердечником, используемым в аналогичных по мощности ламповых схемах кадровой развертки.

При выборе транзистора для выходного каскада следует иметь в виду, что наиболее пригодны для этой цели низкочастотные траизисторы с большим допустимым напряжением между коллектором и базой (50—120 в), возможно большим статическим коэффициентом усиления по току и возможно меньшим обратным током коллекторного перехода (например, транзисторы типов П214, П214Г и П215).

ОСОБЕННОСТИ ВЫХОДНОГО КАСКАДА С ДРОССЕЛЬНЫМ ВЫХОДОМ

Схема выходного каскада кадровой развертки с дроссельным выходом и его эквивалентная схема даны на рис. 39. В этой схеме дроссель и отклоняющие катушки по переменному току включены параллельно, и гок коллектора равен сумме токов, протекающих в дросселе и в отклоияющих катушках.

Для получения линейной зависимости между током коллектора и током в отклоняющих катушках необходимо, чтобы ток в дросселе тоже был линейным. Получение линейного пилообразного тока в двух катушках, к которым подведено одно и то, же пилообразно-импульсное напряжение, возможно при условии, что постоянные временн этих катушек равны:

$$\frac{L_1}{r_1} = \frac{L_{\text{KAT}}}{R_{\text{KAT}}} \,, \tag{100}$$

так как требуемое соотношение между пилообразной и импульсной составляющими напряжения на катушке однозначно связано с постоянной времени этой кагушки формулой (64). Если условие (100) не удовлетворяется, то может потребоваться довольно сложная коррекция формы входного сигнала.

Индуктивность дросселя невыгодно выбирать очень малой, так как при этом большая часть переменной составляющей тока коллектора будет ответвляться в цепь дросселя, шунтирующего откло-

няющие катушки, и к. п. д. каскада будет малым.

С другой стороны, индуктивность дросселя не должна быть слишком большой, так как, увеличивая индуктивность дросселя, необходимо одновременно увеличивать и его активное сопротивление, чтобы сохранить неизменной постоянную времени дросселя. Но с увеличением его активного сопротивления увеличивается падение постоянного напряжения на нем, что приводит к большим поте-

рям мощности, потребляемой от источника питання, т. е. обусловливает низкий к. н. д.

Оптимальный вариант выбора параметров дросселя с точки зрения наивысшего к.п.д. каскада соответствует случаю, когда $L_1 = L_{\rm Kat}$ и $r_1 = R_{\rm Kat}$ Это говорит о гом что использование условия (100) для получения линейного отклоняющего тока, хотя и позволяет получить малые габариты и вес дросселя, но не обеспечивает высокой экономичности выходного каскада по питанию, г е пригодно голько в том случас, когда экономичность по питанию не имеет решающего значения.

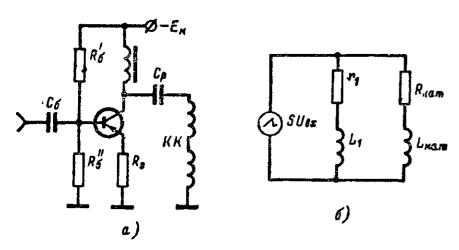


Рис. 39. Выходной каскад кадровой развертки с дроссельным выходом (а) и его эквивалентная схема (б).

Другое условие обеспечения достаточно линейной зависимости отклоняющего тока от входного сигнала заключается в том, чтобы удовлетворить неравенство

$$\frac{L_1}{r_1} \gg \frac{L_{\text{KaT}}}{R_{\text{KaT}}}$$
 (101)

В этом случае стремятся получить достаточную линейность отклоняющего тока при не очень большой иидуктивности дросселя. Коэффициент нелинейности при этом определяется по формуле

$$k_{\rm H} = T_1 \frac{R_{\rm KaT}}{L_1} \,, \tag{102}$$

согласно которой удовлетворительная линейность может быть полуена при очень большой индуктивности дросселя, которую трудно применить на практике. Поэтому на практике используются дроссели со значительно меньшей индуктивностью, чем это требуется по формуле (102), а для компенсации нелинейности отклоняющего тока используют те же способы, что и в трансформаторных выходных каскадах.

Индуктивность дросселя обычно выбирается из условия

$$L_1 \geqslant 0.5T_1R_{\text{KaT}}.\tag{103}$$

Рассчитанная таким образом индуктивиость позволяет довольно хорошо компенсировать нелинейность отклоияющего тока, а размеры самого дросселя получаются небольшими.

Условие (101) для построения дроссельных выходных каскадов используется гораздо чаще, чем условие (100), так как некоторое увеличение габаритов и веса дросселя вполне окупается высокой экономичностью каскада по питанию.

В дроссельном выходном каскаде отклоняющие катушки подсоединяют к коллектору транзистора через разделительный конденевтор C_p , предотвращающий протекание постоячной составляющей тока коллектора через отклоняющие катушки. Емкость конденсатора C_p должна быть достаточно большой. В противном случае возникнут существенные искажения формы отклоняющего тока, которые будет трудно скомпенсировать. Величину емкости конденсатора C_p можно выбрать на условия

$$C_{\rm p} \geqslant 2 \frac{T_1}{R_{\rm KaT}} \, \cdot \tag{104}$$

Для детального расчета выходного каскада с дроссельным выходом, построенного по принципу удовлетворения условия (101), могут быть использованы все примененные выше соотношения и зависимости, справедливые для выходного каскада с трансформаторным выходом, если принять в них n=1 и $r_2=0$.

ПРЕДВАРИТЕЛЬНЫЕ КАСКАДЫ

Предварительные каскады схемы кадровой развертки, включаемые между задающим генератором и выходным каскадом, обеспечивают усиление мощности пилообразного сигнала, а кроме того, в них производят коррекцию нелинейности отклоняющего тока, т. е. сигналу придается форма, необходимая для получення в отклоняющих катушках линейного пилообразного тока.

Число, предварительных каскадов выбирают в зависимости от требований к линейности кадровой развертки, мощности в иагрузке выходного каскада и параметров применяемых транзисторов. В схемах, предназначенных для телевизоров с широкоугольными кинескопами с большим экраном, обычно требуется не менее двух каскадов предварительного усиления. Для других кинескопов в большинстве случаев достаточно одного предварительного каскада, включаемого по схеме эмиттерного повторителя или по схеме с общим эмиттером.

Получение удовлетворительных результатов в варианте с эмиттерным повторителем в качестве предварительного каскада возможно при условии, если транзисторы предвыходного и выходного каскадов имеют относительно большое значение статического коэффициента усиления по току \boldsymbol{B} и, следовательно, хорошую личейность амплитудных характеристик. Это обстоятельство ограничивает возможность применения такого варианта.

При использовании предварительного каскада, включенного по схеме с общим эмиттером, благодаря большому усилению по мощности имеется возможность охватить предвыходной и выходной каскады глубокой обратной связью, которая является в этой схеме основным средством линеаризации пилообразного тока в нагрузке.

На рис. 40 приведена схема предвыходного и выходного каскадов, в которой напряжение обратной связи, пропорциональное отклоняющему току, подводится к эмиттеру транзистора предвыходного каскада. Глубина частотио-независимой отрицательной обратной связи здесь эффективно регулируется изменением сопротивления резистора R_{c} . При достаточно глубокой обратной связи форма тока в отклоняющих катушках почти повторяет форму пилообразного напряжения, подводимого к предварительному каскаду.

Отрицательная обратная связь увеличивает входное сопротивление предварительного каскада, что способствует уменьшению влияния этого сопротивления на условия формирования пилообразного напряжения в задающем генераторе. При этом линейность пилообразного напряжения улучшается, а следовательно, улучшается и линейность отклоняющего тока.

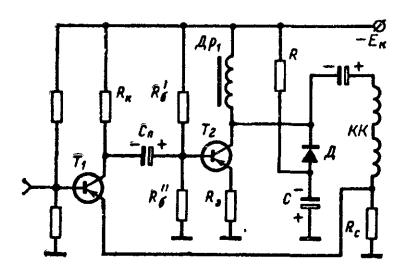


Рис. 40. Схема предварительного и выходного каскадов кадровой развертки, охвачениых обратной связью по току.

Нелинейность амплитудной характеристики предвыходного каскада в схеме (рис. 40) имеет обратный характер по отношению к иелинейным искажениям, возникающим в выходном каскаде. Поэтому в предвыходном каскаде происходит частичная компенсация нелинейности выходного каскада. При этом требования к глубине отрицательной обратной связи и соответствению к усилению по мощнюсти части схемы, охваченной обратной связью понижаются

ности части схемы, охваченной обратной связью, понижаются.
Сопротивление резистора $R_{\rm k}$, устанавливаемого в коллекторе предвыходного каскада, должно выбираться с учетом условия обеспечения требуемого управляющего тока в базе выходного каскада

$$R_{\rm K} = (0.5 \pm 0.8) \frac{E_{\rm K} B}{I_0} \,, \tag{105}$$

ъде B — статический коэффициент усиления по току транзистора выкодного каскада; I_0 — постоянная составляющая тока коллектора выходного каскада, определяемая по формуле (98).

Емкость переходиого коиденсатора C_n должна быть достаточно большой, чтобы не возиикало слишком больших искажений перекодной характеристики в области малых времен. Рекомендуется выбирать ее из условия

$$C_{\rm ff} > (2 \div 5) \, \frac{T_1}{R_{\rm pv}} \, , \tag{106}$$

де $R_{\mathtt{Bx}}$ — выходиое сопротивление выходного каскада. Связь предзыходного каскада с выходным может быть гальванической

(см. рис. 41), т. е. без переходного конденсатора $C_{\rm m}$. Такая связь передает постоянную составляющую и позволяет ввести отрицательную обратиую связь по постоянному току, которая способствует улучшению термостабильности выходного каскада.

В схеме рис. 41 напряжение отрицательной обратной связи, пропорциональное постоянной составляющей тока эмиттера выходного каскада, снимается с резистора R_9 и через резистор R_6 подается в цепь базы предвыходного каскада. Если в силу каких-либо причии произойдет увеличение тока коллектора транзистора T_2 , то это вызовет увеличение и тока эмиттера этого транзистора. Отрицательное напряжение на сопротивлении резистора R_9 при этом увеличит-

ся, а это вызовет увеличение отрицательного напряжения смещения на базе транзистора T_1 . Последнее обстоятельство приведет к тому, что увеличится ток коллектора и уменьшится напряжение на коллекторе транзистора T_1 , вследствие чего уменьшится отрицательное напряжение смещения на базе транзистора T_2 , и коллекторный ток этого траизистора уменьшится.

Применяя непосредственную связь между предварительным и оконечным каскадами, следует уделять виимание температурной стабильности режима предварительного каскада, так как изменение его коллекториого тока усиливается выходным

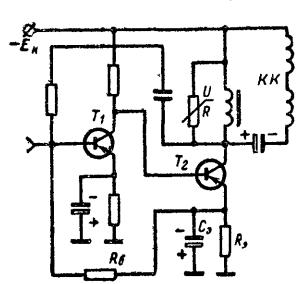


Рис. 41. Схема предварительного и выходного каскадов кадровой развертки с непосредственной связью.

каскадом. В схеме (рис. 41) используется эмиттерная стабилизация режима предвыходного каскада.

В случае применения в схеме кадровой развертки двухкаскадного предварительного усилителя наилучшие результаты получаются, если предвыходной каскад включают по схеме эмиттерного повторнтеля, а предшествующий ему каскад — по схеме с общим эмиттером.

Благодаря высокому входному сопротивлению эмиттерного повторителя эквивалентное сопротивление нагрузки предшествующего каскада, включенного по схеме с общим эмиттером, получается довольно высоким. Это обусловливает большее, чем в схеме с однокаскадным предварительным усилителем, усиление пилообразного напряжения Прн этом обратные связи в цепях линеаризации пилообразного тока действуют более эффективно, обеспечивая высокие параметры развертки.

Для работы в предоконечном каскаде нанболее пригодны такие транзисторы, которые по мощности занимают промежуточное положение между транзисторами малой мощиости и транзисторами средней мощиости (например, транзисторы типов П25 и 1Т403). Транзистор малой мощности может нормально работать в предварительном каскаде только при условии, что траизистор выходного каскада имеет лостаточно большое значение статического коэффициента уси-

ления по току. В противном случае мощность, рассенваемая на транзисторе предвыходного каскада, может превышать допустимое значение.

ПРАКТИЧЕСКИЕ СХЕМЫ ГЕНЕРАТОРОВ КАДРОВОЙ РАЗВЕРТКИ

На рис. 42 дана практическая схема любительского варианта кадровой развертки для переносного телевизора с кинескопом типа 23ЛҚ9Б. Схема пригодна и для автомобильного телевизионного приемника, так как напряжение питания равно 12 в.

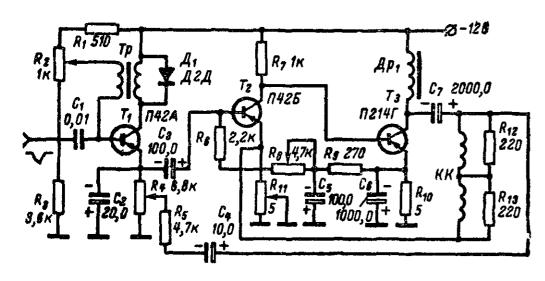


Рис. 42. Любительский вариант схемы кадровой развертки для переносного телевизора.

Приведенная схема обеспечивает коэффициент нелинейности развертки, не превышающий 10%, при мощности, потребляемой от источника питания, не более 2,5 вт.

Задающий генератор представляет собой блокинг-генератор с коллекторно-базовой связью, формирование пилообразного напряжения в котором происходит на разрядной цепочке R_4C_2 в эмиттере транзистора T_1 . Частоту кадров регулируют потенциометром R_2 .

Синхронизация частоты задающего генератора осуществляется посредством подачи на базу траизистора T_1 через разделительный конденсатор C_i кадровых синхронмпульсов отрицательной полярности. Для ограничения всплеска напряжения на коллекторе транзистора T_1 . возникающего за счет переходных процессов в трансформаторе Tp_1 , к первичной обмотке трансформатора подключен полупроводниковый диод \mathcal{U}_1 .

Остальная часть схемы кадровой развертки представляет собой двухкаскадный усилитель с непосредственной связью между каскадами. Предварительный и выходной каскады включены по схеме с общим эмиттером. Оба усилительных каскада охвачены глубокой отрицательной обратной связью по постоянному току, которая эффективно стабилизирует режим транзистора выходного каскада. Напряже-

ние обратной связи, снимаемое с резистора R_{10} , через интегрирующее звено R_9C_5 и резисторы R_8 и R_6 подается в базу транзистора T_2 .

Линеаризация отклоняющего тока достигается благодаря глубокой отрицательной обратной связи по переменному току. Напряжение обратной связи, пропорциональное току в отклоняющих катушках, снимается с резистора R_{11} и подается в эмигтер транзистора T_2 . Вертикальный размер изображения регулируется изменением глубины отрицательной обратиой связн при помощи резистора R_{11} .

Регулировка линейности развертки производится с помощью положительной обратной связи через интегрирующую цепочку, которая позволяет придать пилообразному току в нагрузке требуемую S-образиую форму, необходимую для компенсации геометрических искажений, вносимых приемной трубкой. Напряжение обратной связи с коллектора траизистора T_3 через разделительные конденсаторы C_7 , C_4 и резнстор R_5 подается на движок потенциометра R_4 («линейность»). На конденсаторе C_2 за счет большого сопротивления резистора R_5 происходит интегрирование этого пилообразного напряжения, в результате чего получается напряжение параболической формы, которое добавляется к пилообразному напряжению от задающего генератора. С помощью потенциометра R_4 можно плавно изменять уровень параболической составляющей и, следовательно, регулировать форму пилообразного напряжения, подводимого ко входу усилителя.

Переменный резистор R_8 служит для первоначальной установки режимов по постоянному току транзисторов T_2 и T_3 . Движок потенциометра R_8 должен быть установлен так, чтобы ток коллектора транзистора T_3 составлял $180-200~\text{м}\alpha$.

Нагрузкой для выходного каскада являются кадровые катушки отклоняющей системы ОС-90. Активное сопротивление отклоняющих катушек равио 45 ом, а индуктивность 75 мен. Размах отклоняющего тока в кадровых катушках при напряжении на втором аноде кинескопа 9 кв должен быть около 280 ма. Отклоняющая система ОС-90 использована в телевизоре «Юность».

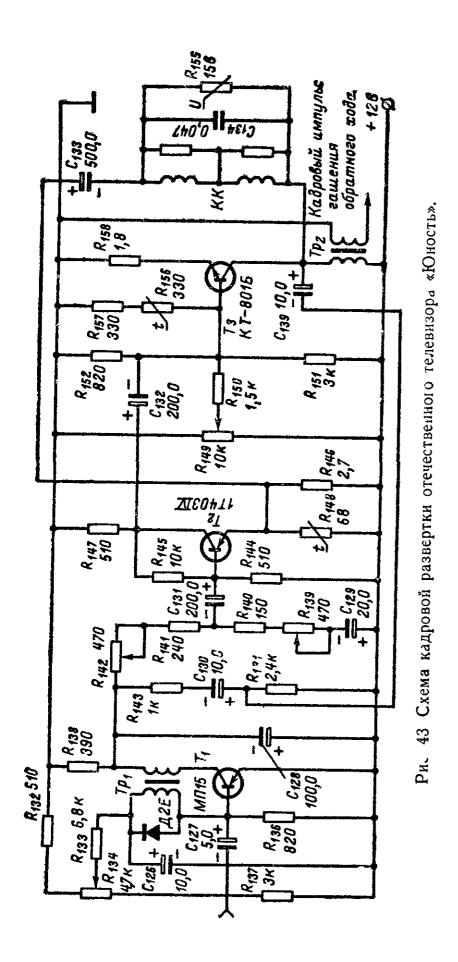
Трансформатор блокинг-генератора может быть выполнеи на пермаллоевом сердечнике Ш-3×6. Первичная (коллекторная) обмотка должна содержать 150 витков провода ПЭВ 0,08, а вторичная 600 витков того же провода.

Мощность, рассенваемая на транзисторе выходного каскада, не превышает 1,6 вт. Удовлетворительный отвод тепла достигается с помощью иебольшого радиатора с тепловым сопротивлением не менее 15° С/вт или использованием в качестве теплоотвода какой-либо металлической конструкции телевизора.

На рис. 43 показана схема кадровой развертки отечественного промышленного переносного телевизора «Юиость», в котором используется кинескоп типа 23ЛК9Б.

Первый каскад кадровой развертки T_1 представляет собой блокинг-генератор, в котором цепь формирования пилообразного напряжения $R_{138}C_{128}$ включена в коллектор транзистора. Времязадающая цепочка, образованная конденсатором C_{126} и резисторами R_{136} и R_{133} , включена в этой схеме в цепь базы. Регулировка частоты кадров производится изменением режима работы транзистора T_1 при помощи переменного резистора R_{134} .

Пилообразное напряжение кадровой частоты через резисторы R_{142} и R_{141} поступает в цепь базы второго каскада T_2 , выполненного



на траизисторе 1Т403 Этот траизистор обладает довольно высоким значением статического коэффициента усиления по току и, кроме этого, позволяет рассеивать на нем значительную мощность, что дает возможность использовать в выходном каскаде траизисторы с малым значением статического коэффициента усиления по току

Вертикальный размер изображения регулируется переменным резистором R_{142} , а требуемая линейность развертки устанавливается при помощи переменного резистора R_{139} Цепочка, включающая в себя резисторы R_{142} , R_{141} , R_{140} , R_{139} и конденсатор C_{129} , является вторым интегрирующим звеном схемы формирования пилообразного напряжения C ее помощью производится коррекция искажений формы пилообразного напряжения в последующей части схемы, а также этому напряжению придается S-образная форма

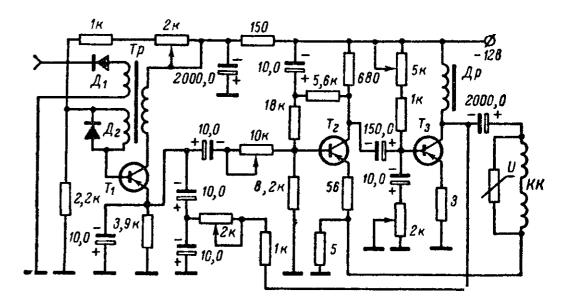


Рис. 44 Схема кадровой развертки зарубежного траизисторного телевизора

Второй каскад кадровой развертки включен по схеме с общим эмиттером. Пилообразный сигнал, усиленный вторым каскадом, поступает через конденсатор C_{132} в цепь базы выходного каскада, который по переменному току представляет собой схему с общим эмигтером

В базе траизистора второго каскада имеется регулировочный резистор R_{149} , позволяющий отрегулировать требуемое напряжение смещения, т е. для любого траизистора данного типа установить нормальный режим работы по постоянному току

В выходном каскаде кадровой развертки применен кремниевый транзистор средней мощности проводимости типа n-p-n Температурная стабилизация режима этого транзистора осуществляется терморезистором R_{156} в цепи базы совместно с резистором R_{158} , установленным в цепь эмиттера и создающим отрицательную обратную связь по постоянному току

Кадровые отклоняющие катушки ОС-90 включены параллельно первичной обмотке трансформатора Со вторичной обмотки снимают импульсы обратного хода, которые в схеме телевизора используются для надежного запирания кинескопа на время обратного хода развертки

Выходной каскад кадровой развертки с подобным включением

трансформатора и отклоняющих катушек является по существу каскадом с дроссельным выходом. Кадровые отклоняющие катушки подключают к коллектору выходного транзистора через разделительную емкость C_{133} . Особенностью включения нагрузки является то, что один из выводов отклоняющих катушек подключен к общему проводу схемы через резистор R_{146} , включенный в эмиттер второго каскада. Это создает дополнительную обратную связь по переменному току, что способствует получению требуемой линейности пилообразиого тока в нагрузке.

Для ограничения всплеска напряжения на коллекторе транзистора T_3 , который возиикает во время обратного хода развертки, парал-

лельно отклоняющим катушкам включен варистор R_{156} .

В схеме применена цепь положительной обратной связи для дополнительной коррекции частотной характеристики. Напряжение обратной связи с коллектора транзистора T_3 через конденсаторы C_{139} и C_{130} поступает на цепочку формирования пилообразного напряжения. Резистор R_{143} и конденсатор C_{128} для напряжения обратной связи являются интегрирующим звеном. В результате на конденсаторе C_{128} выделяется параболическая составляющая, добавляемая к формируемому задающим генератором пилообразному напряжению.

В заключение на рис. 44 приводится в качестве примера еще одна схема генератора кадровой развертки зарубежного транзисторного телевизора.

Глава пятая **СТРОЧНАЯ РАЗВЕРТКА**

ОБЩИЕ СВЕДЕНИЯ

Генератор строчной развертки создает в строчиых отлоняющих катушках пилообразный ток строчной частоты, необходимый для горизоитального отклонения луча. Кроме того, генератор строчиой развертки вырабатывает вспомогательные иапряжения для питания кинескопа н выходного каскада видеоусилителя.

Строчная развертка транзисторного телевизора выполняет те же функции, что и строчная развертка лампового телевизора, но устройство транзисторной строчной развертки несколько сложнее из-за того, что схема содержит большее число каскадов и обязательно используется инерционная система синхронизации.

Генератор строчной развертки в телевизоре является основным потребителем активной энергии от источников питания, несмотря на то, что для отклонения луча в кинескопе требуется только реактивная энергия, создающая переменное магнитное поле Затраты активной энергии в схемах строчной развертки обусловливаются наличием, паразитных активных сопротивлений двустороннепроводящего ключа, отклоняющих катушек и выходного трансформатора.

Транзисторы в открытом состоянии обладают гораздо меньшим сопротивлением, чем лампы. Сопротивление открытого транзистора составляет у мощиых транзисторов доли ома, в то время как сопротивление выходных ламп строчной развертки равно сотням ом. Поэтому применение транзисторов в схемах строчной развертки открывает новые пути уменьшения мощности, потребляемой телевизором.

Общая функциональная блок-схема траизисторной строчной раз-

вертки приведена на рис. 45. В нее входит задающий генератор (3Γ), вырабатывающий импульсы для управления генератором пилообразного тока. Так как в большинстве случаев мощность задающего генератора невелика и ее недостаточно для непосредственного возбуждения выходного каскада, то перед выходным каскадом размещаются промежуточные импульсные каскады — буферный усилитель ($5\mathcal{Y}$). Выходной каскад (BK) связан со строчными отклоняющими катушками (OK) и вырабатывает в них ток пилообразной формы.

В цень коллектора выходного каскада строчной развертки включается строчный трансформатор, служащий для получения высокого

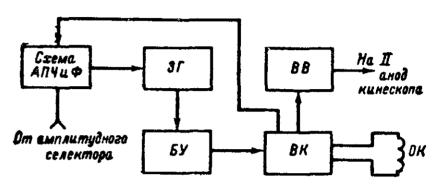


Рис. 45. Функциональная блок-схема генератора строчной развертки.

напряжения для питания второго анода кинескопа. Возникающие в строчном трансформаторе импульсы обратного хода питают высоковольтный выпрямитель (BB), с выхода которого снимается высокое напряжение.

Синхронизация задающего генератора осуществляется с помощью системы автоматической подстройки частоты и фазы строчной развертки, работающей по принципу сравнения фазы строчных синхроимпульсов с фазой импульсов обратного хода, снимаемых с выходного каскада Система АПЧиФ вырабатывает напряжение, управляющее частотой и фазой задающего генератора.

Рассмотрим более подробно работу отдельных функциональных элементов схемы строчной развертки.

ЗАДАЮЩИЙ ГЕНЕРАТОР

В транзисторных схемах строчной развертки в качестве задающего генератора прямоугольных импульсов строчной частоты почти всегда применяют блокинг-генератор. Предпочтение, которое отдается блокинг-генератору, обусловливается не только тем, что эта схема обладает высокой стабильностью собственной частоты и не критична к разбросу параметров применяемых транзисторов, но и тем, что блокииг-генератор позволяет получить большую по сравнению с другими импульсными самовозбуждающимися генераторами мощность в импульсе. При этом нагрузка в меньшей степени влияет на форму иапряжения, формируемого блокинг-генератором, и не искажает фронты импульсов.

Схемы блокинг-генераторов строчной развертки принципиально не отличаются от схем блокинг-генераторов кадровой развертки. Особенностью является то, что период колебаний блокинг-генераторов строчной развертки в 312,5 раза меньше периода кадровой развертки и занимает всего 64 мксек. Кроме того, по отношению к пе-

риоду строчной развертки время, соответствующее открытому состоя-

нию транзистора, должно быть более продолжительным.

Трансформатор блокинг-генератора иногда содержит третью обмотку, предназначенную для сьема импульсного напряжения. Применение гретьей обмотки улучшает согласование блокинг-генератора с нагрузкой, которой является входная цепь следующего за блокинг-генератором импульсного каскада.

Индуктивность первичной (коллекторной или эмиттерной) обмотки трансформатора обычно выбирается такой, чтобы сформировать необходимую длительность рабочего импульса. Орнентировочное значение индуктивности находится в пределах 100—300 мгн. При этом длительность рабочего импульса получается равной 20—30 мксек.

Отношение числа витков первичной обмотки к числу витков вторичной (базовой) обмотки выбирают в пределах $n=0,2\div0,5$. При выборе малого коэффициента трансформации существенно возрастает импульсный ток базы и соответственно увеличивается коэффициент насыщения. Это не всегда желательно, так как возрастает длительность фронта и спада импульсов. Если коэффициент трансформации будет слишком большим, то ухудшится стабильность собственной частоты блокинг-генератора, а также будут возможны срывы колебаний при изменении окружающей температуры.

Управление собственной частотой задающего генератора строчной развертки осуществляется изменением постоянного напряжения, подводимого к базе транзистора от схемы АПЧиФ. Собственной частотой блокинг-генератора легче управлять тогда, когда индуктивность первичной обмотки трансформатора выбирается большой. Дело в том, что при увеличении индуктивностн первичной обмотки уменьшается импульсный ток коллектора, что приводит к соответствующему уменьшению тока базы. Это обстоятельство можно рассматривать как увеличение входного сопротивления транзистора со стороны базового вывода, что позволяет повысить эффективность управления собственной частотой блокинг-генератора.

Однако следует иметь в виду, что по мере увеличения индуктивности первичной обмотки трансформатора существенно увеличивается индуктивность рассеяния и паразитная емкость обмотки. Это вызывает паразитные колебания, обусловленные сопутствующими резонансными явлениями в трансформаторе. Форма импульсов при этом может сильно искажаться.

Для увеличения чувствительности управления частотой блокинг-генератора иногда между источником управляющего напряжения $A\Pi^{\prime}$ и Φ и базой транзистора устанавливают усилитель постоянного тока, включаемый обычно эмиттерным повторителем. Один из распространенных вариантов схемы задающего генератора строчной развертки с усилителем в цепи управления частотой изображен на рис. 46, a. В этой схеме времязадающая цепь $R_{9}C_{9}$, постоянная времени которой определяет в основном частоту колебаний, включена в цепь эмиттера транзистора T_{2} , являющегося блокинг-генератором.

Диод \mathcal{A}_1 , как и в блокинг-генераторе кадровой развертки, вводится для ограничения всплесков напряжения на коллекторе транзистора, возникающих в момент его перехода из открытого состояния в запертое. Резистор R, включенный последовательно с базовой цепью, служит для гашения колебаний, образующихся в трансформаторе нз-за наличия паразитных емкостей и индуктивности рассеяния. Кроме того, введение этого резистора позволяет искусственно увеличить сопротивление нагрузки, создаваемой входным сопротив-

леннем блокинг-генератора для источника управляющего напряжения.

Параллельный колебательный контур LC, настраиваемый на частоту, превышающую примерно в 1,5 раза частоту строчной развертки, служит для улучшения стабильности собственной частоты блокинг-генератора и помехоустойчивости синхронизации. На противоположных точках этого контура во время работы блокинг-генератора создается небольшое по амплитуде синусоидальное напряжение, которое, складываясь с напряжением на базе, так изменяет форму базового тока, что тот значительно быстрее нарастает к моменту от-

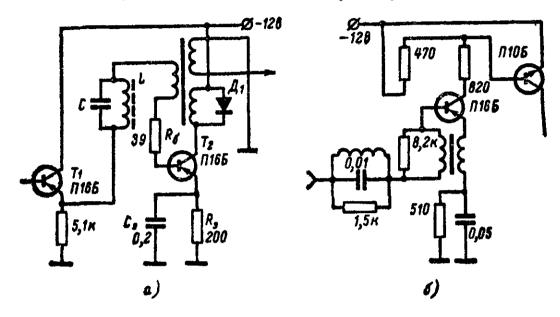


Рис. 46. Две схемы задающего генератора строчной развертки.

пирания транзистора. Применение колебательного контура LC уменьшает время, в течение которого возможны срывы частоты колебаний из-за внешних помех и шумов, а также стабилизирует частоту блокниг-генератора при изменениях напряжения источника питания и окружающей температуры.

В рассматриваемой схеме задающего генератора строчной разнертки импульсное напряжение строчной частоты сиимают со специальной обмотки трансформатора. Отношение числа витков коллекторной обмотки к числу витков дополнительной обмотки выбирают с учетом свойств последующей части схемы. Если следующий каскад включается по схеме с общим эмиттером, то оптимальное значение коэффициента трансформации находится в пределах $n=2\div 5$. Если же последующий каскад представляет собой эмиттерный повторитель, то значение коэффициента трансформации выбирается равным $n=0.7\div 1.2$.

При наличии понижающего трансформатора (n>1) входиое сопротивление транзисторного каскада, непосредственно следующего за блокинг-генератором, воспринимается коллекторной цепью блокинг-генератора увеличенным в число раз, равное квадрату коэффициента трансформации. Это очень важно для транзисторного блокинг-генератора, так как при этом существенно ослабляется влияние последующих каскадов на работу задающего генератора, что является одним из условий его стабильной работы.

На рис. 46, б приведена другая распространенная схема задающего генератора строчной развертки. Здесь первичная обмотка транс-

форматора включена в эмиттерную цепь транзистора (эмиттернобазовая связь), а нагрузка — к части общего сопротнвления в цепи коллектора. Вынесение основных элементов схемы, определяющих стабильность собственной частоты блокинг-генерагора, в цепь эмиттера позволило использовать коллекторную цепь для подключения нагрузки. Подключение нагрузки к части сопротивления в цепи коллектора позволяет еще более уменьшить влияние последующих каскадов на режим работы задающего генератора.

В блокинг-генераторе строчной развертки обычно используют маломощные транзисторы, применение которых позволяет легче получить требуемую стабильность собственной частоты задающего генерагора, так как маломощные гранзисторы нмеют при прочих равных условиях лучшую термостабильность. Вместе с тем для управления ссобственной частотой блокинг-генератора, выполненного на маломощном транзисторе, требуется сравнительно небольшая мощность управляющего сигнала, вырабатываемого системой АПЧиФ. Это тоже очень важно, так как при этом обеспечиваются более благоприятные условия, дающие возможность улучшить эффективность работы системы АПЧнФ.

БУФЕРНЫЙ УСИЛИТЕЛЬ

Между задающим генератором и выходным каскадом строчной развертки устанавливаются один или два промежуточных импульсных каскада, назначение которых — усиливать мощность импульсного сигнала, подводимого к транзистору выходного каскада. Кроме того, эти каскады призваны устранять влияние выходного каскада строчной развертки на режим работы задающего генератора.

Если мощность импульсного сигнала, подводимая к выходному каскаду, будет недостаточной, то из-за сильно выраженной внутренней обратной связи транзистора часть выходного сигнала будет проникать во входную цепь и искажать форму импульсных сигналов на входе. В результате исказится не только форма входного сигнала, но и форма тока коллектора выходного каскада. При этом линейность отклоняющего тока ухудшается.

Влияние выходного каскада на режим работы задающего генератора объясняется тем, что входное сопротивление транзистора сильно изменяется при колебаниях его температуры. Поскольку температура транзисторов в схеме строчной развертки изменяется в довольно широких пределах, то сопротивление, нагружающее блокингенератор, делается нестабильным. Это приводит к нестабильности крутизны фронтов, спадов и длительностей импульсов, снимаемых с блокинг-генератора, что вызывает нестабильность горизонтального размера изображения и его линейности. Установка развязывающих буферных импульсных каскадов способствует более устойчивой и стабильной работе задающего генератора.

Число буферных каскадов выбирают в зависимости от требований к качественным показателям генератора строчной развертки и его мощности, а также от значений параметров используемых транзисторов. В большинстве случаев применяют не более двух буферных каскадов.

В случае применения в схеме строчной развертки одного буферного каскада, который является предвыходным каскадом, последний, как правило, включается по схеме с общим эмиттером, так как схемы с общим коллектором и с общей базой не обеспечивают требуе-

мого коэффициента усиления по мощности и требуемых буферных свойств.

Для связи коллекторной цепи предвыходного каскада с входной цепью выходного транзистора применяют согласующий трансформатор, позволяющий согласовать по мощности высокоомную коллекторную цепь предвыходного транзистора с низкоомной входной цепью выходного каскада. Согласующий трансформатор дает возможность при прочих равных условиях применить в схеме более дешевые транзисторы и обойтись их меньшим числом. Кроме того, трансформаторная связь позволяет получить экономию мощности, потребляемой предвыходным каскадом от источника питания.

Предвыходной и выходной каскады строчной развертки могут работать таким образом, что транзистор предвыходного каскада будет заперт в то время, когда транзистор выходного каскада будет открыт. Возможен и другой вариант, характеризуемый тем, что транзистор предвыходного каскада будет открыт, тогда транзистор выходного каскада тоже будет открыт.

И первый вариант построения схемы, называемый способом разнополярного включения транзисторов, и второй вариант, называемый способом однополярного включения, применяются одинаково часто. Оба способа имеют свои положительные и отрицательные стороны,

которые следует рассмотреть подробнее.

В системе с разнополярным включением транзисторов во время прямого хода развертки, т. е. в момент, когда предвыходной транзистор заперт, а выходной транзистор открыт, согласующий трансформатор, не шунтируемый коллекторной цепью предвыходного каскада, создает вместе с паразитными емкостями звенящий колебательный контур. При этом в обмотках трансформатора возникают колебания, искажающие форму плоской части управляющего импульса. Это может вызвать появление на растре вертикальных яркостных столбов, возникающих из-за резких скачков коллекторного тока выходного каскада. Это явление в системе с однополярным включением транзисторов проявляется гораздо слабее.

Недостатком системы однополярного включения транзисторов следует считать худшие буферные свойства предвыходного каскада, если учесть, что обратная реакция из выходной цепи транзистора во входную проявляется сильно только у открытого транзистора. Поскольку в системе однополярного включения транзисторов оба каскада (предвыходной и выходной) большую часть активного периода развертки открыты, то легко видеть, что влияние этих каскадов на режим блокинг-генератора будет выражено более сильно, чем в системе с разнополярным включением транзисторов.

В системе с разнополярным включением транзисторов работа схемы протекает так, что импульс блокинг-генератора открывает буферный усилитель и, через коллекторную обмотку согласующего трансформатора начинает протекать ток. В это время транзистор выходного каскада заперт, и в трансформаторе накапливается магнитная энергия. Когда транзистор предвыходного каскада запирается, а транзистор выходного каскада отпирается, запасенная в трансформаторе энергия расходуется в цепи базы выходного каскада. Этой энергии должно хватить на то, чтобы во все время прямого хода развертки поддерживать транзистор выходного каскада в открытом состоянии. Энергия, запасенная трансформатором, пропорциональна току, протекающему в его первичной обмотке, и временн, в течение которого этот ток протекает. Поэтому в системе с разнополярным включением транзисторов буферный усилитель работает с большим

током в импульсе и, следовательно, должен быть рассчитан на большую импульсную мощность, чем в системе с однополярным включенчем транзисторов.

Согласующий трансформатор является важным элементом схемы генератора строчной развертки на транзисторах и от удачного выбора его параметров в большой степени зависит получение хороших результатов. За счет индуктивности рассеяния согласующего трансформатора фронт управляющего импульса получается очень крутым. Это приводит к возчикновению непосредственно после про-

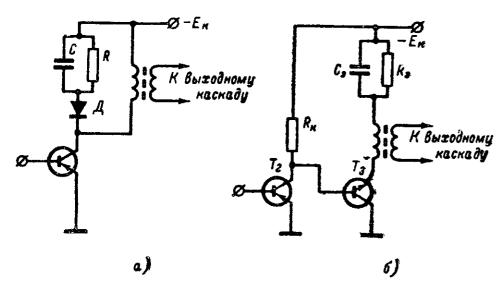


Рис. 47. Схемы однокаскадного и двухкаскадного буферного усилителя.

хождения фронта остроконечного выброса напряжения, величина которого может превышать напряжение между коллектором и базой, допустимое для данного типа транзисторов. Выброс напряжения, являющийся следствием резонансных явлений в контуре, образованном индуктивностью рассеяния и паразитными емкостями, можно устранить, например, подобрав емкость, включаемую параллельно первичной обмотке трансформатора. Такая емкость, величина которой обычно лежит в пределах 0,005—0,02 мкф, позволяет не только избавиться от выброса, но и несколько снизить мощность, потребляемую предвыходным каскадом от источника питания. Паразитные колебания в согласующем трансформаторе устраняются также параллельным включением к одной из обмоток шунтирующего резистора. Однако этот способ увеличивает потребляемую каскадом мощность.

Устранение выбросов напряжения во многих схемах достигается с помощью ограничительной цепочки, состоящей из диода \mathcal{I} и параллельно соединенных конденсатора \mathcal{C} и резистора \mathcal{R} (рис. 47, a). Такая цепочка, подсоединяемая к первичной обмотке согласующего трансформатора, не только эффективно подавляет нежелательные выбросы напряжения, но и позволяет несколько расширить длительность импульса, соответствующего запертому состоянию транзистора выходиого каскада. В этом случае появляется удобная возможность с помощью подбора величины сопротивления резистора \mathcal{R} осуществлять регулировку длительности этого импульса.

Согласующий трансформатор наматывают на сердечнике с доста-

точным сечением так, чтобы требуемая индуктивность первичной обмотки получалась при не слишком большом числе витков. Трансформатор с большим числом витков обладает обычно повышенными значениями паразитной емкости и индуктивности рассеяния, а также имеет большие потери полезного сигнала на сопротивлениях обмоток и в сердечнике.

Индуктивность первичной обмотки согласующего трансформатора чаще всего лежит в пределах 3—20 мгн. Ее выбирают с учетом мощности развертки и параметров транзистора выходного каскада. Чем больше мощность развертки и чем меньше статический коэффициент усиления по току транзистора, используемого в выходном каскаде, тем меньше должна быть индуктивность первичной обмотки трансформатора.

Коэффициент трансформации согласующего трансформатора, определяемый как отношение числа витков первичной (коллекторной) обмотки к числу витков вторичной обмотки, выбираемый обычно в пределах $n=3\div 8$, должен обеспечивать надежное переключение выходного транзистора из режима отсечки в режим насыщения и обратно с тем, чтобы время переключения было по возможности малым.

Большую роль в работе согласующего трансформатора играет коэффициент связи между его первичной и вторичной обмотками. При слабой связи легче проявляются резонансные свойства каждой из обмоток в отдельности, что создает трудности в демпфировании паразитных колебаний. Чтобы избежать этого, необходимо наматывать катушку так, чтобы вторичная обмотка находилась между двумя половинками первичной обмотки. Для этого сначала наматывают половинку первичной обмотки, затем вторичную обмотку, а уж потом наматывают вторую половинку первичной обмотки. При сборке трансформатора нужно стремиться к тому, чтобы по возможности уменьшить воздушный зазор в сердечнике.

Для согласующих трансформаторов применяют ферритовые и оксиферовые сердечники с магнитной проницаемостью материала μ =600 ÷ 2000. Наиболее подходящим является сердечник из оксифера марки ОШ 7×7.

Все соображения, относящиеся к схеме генератора строчной развертки с однокаскадным буферным усилителем, в равной степени справедливы и для схемы с двухкаскадным буферным усилителем. Применение двухкаскадного буферного усилителя позволяет получить большее усиление мощности импульсного сигнала, подводимого к выходиому каскаду, что снижает требования к качеству и стабильности параметров транзисторов, используемых в схеме.

Второй буферный каскад может быть связан с предвыходным каскадом с помощью второго согласующего трансформатора или без него. Если в схеме двухкаскадного буферного усилителя применен только один согласующий трансформатор, то его включают обязательно между предвыходным и выходным каскадами. В этом случае один из транзисторов буферного усилителя включают по схеме эмиттерного повторителя, позволяющего простыми средствами получить дополнительное усиление импульсной мощности. Один из возможных вариантов двухкаскадного буферного усилителя, пригодного для системы с однополярным включением предвыходного и выходного транзисторов, приведен на рис. 47, б. В этой схеме надежное насыщение предвыходного каскада, включенного эмиттерным повторителем и не дающего усиления по напряжению, достигается искусственным уменьшением напряжения источника питания. Для этого в эмиттер транзишением напряжения источника питания. Для этого в эмиттер транзи-

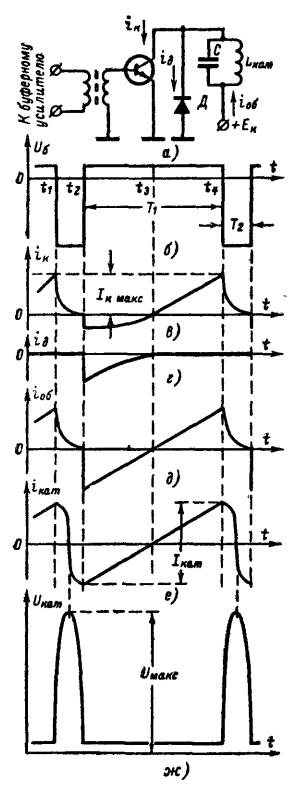


Рис. 48. Упрощенная схема выходного каскада строчной развертки (а) и эпюры напряжений и токов в характерных точках схемы:

б — сигнала во входной цепи, в — котлекторного тока; в — тока демпферного диода; д — тока, протекающего в цепи источника питания; е — тока в отклоняющих катушках; ж — напряжения на отклоняющих катушках.

стора T_3 включена цепочка R_9C_9 , служащая для автоматического поддержания постоянства режима предвыходного транзистора.

Гораздо чаще в схемах с двухкаскадным буферным уснлителем применяют два согласующих трансформатора. В этом случае оба буферных каскада включают по схеме с общим эмиттером. Вследствие того, что первый трансформатор работает со значительно меньшей импульсной ностью, чем второй трансформатор, связывающий предвыходной и выходной каскады, первого согласующего грансформатора требуется гораздо меньшее сечение магнитопровода.

Согласующие трансформаторы служат не только для согласования транзисторных каскадов, но также используются и для уменьшения времени переключення транзисторов. Индуктивность первичной обмотки согласующих трансформаторов выбирается такой, чтобы управляющий импульс на выходе трансформатора имел плоской части, который способствует более быстрому переходу транзистора из режима отсечки в режим насыщения и обратно.

ВЫХОДНОЙ КАСКАД

Выходной каскад строчной развертки является одним из нанболее сложных в транзисторном телевизоре. Основное назначение этого каскада — обеспечить требуемый размах пилообразиого тока строчной частоты в отклоняющих катушках. Кроме того, в выходном каскаде вырабатываются высокое напряжение для питания второго анода кинескопа и другие вспомогательные постоянные и импульсные напряжения, используемые в телевизоре.

Выше был рассмотрен способ получения пилообразного тока строчной частоты с помощью двустороннепроводящего ключа, применяемый в схемах телевизоров. На практике в транзисторном выходном каскаде роль ключа, обладающего двусторонней проводнмостью, выполняют мощный импульсный транзистор и мощный полупроводниковый диод, включенные определенным образом. Рассмотрим упрощенную схему выходного каскада строчной развертки, изображенную на рис. 48.

Если на базу транзистора подать со вторичной обмотки согласующего трансформатора отрицательные Π -образные импульсы, длительность которых равна времени обратного хода T_2 , то транзистор будет запираться на время действия этих импульсов. Вследствие того, что импульсный сигнал на входе транзистора не содержит постоянной составляющей, входное напряжение в период между импульсами будет положительным (рис. 48, δ). Если положительное напряжение будет достаточно большим, то в период между импульсами транзистор будет открыт, т. е. сопротивление участка коллектор — эмиттер в это время будет очень малым.

Следовательно, транзистор в рассматриваемой схеме будет находиться в режиме отсечки в течение обратного хода и будет открыт в течение прямого хода развертки, что соответствует требуемому по условиям работы состоянию ключа в идеализированной схеме (см. рис. 14). Это соответствие проявляется также и в том, что транзистор (в отличие от электронной лампы) сам по себе может иметь двустороннюю проводимость, т. е. может пропускать ток в обоих направлениях. Однако у транзистора характеристика коллекторного тока при работе в реальных условиях получается несимметричной относительно нулевого значения Для симметрирования этой характеристики параллельно транзистору включают полупроводниковый диод Д, называемый по аналогии с ламповыми схемами демпфирующим диодом. Демпфирующий диод улучшает линейность отклоняющего тока и подавляет колебательный процесс в начале прямого хода развертки.

Рассмотрим электрические процессы, протекающие в цепях упрощенной схемы выходного каскада в различных стадиях его работы. Допустим, что до момента времени t_1 транзистор выходного каскада был открыт и к этому времени ток коллектора $i_{\rm K}$ достиг величины $I_{\rm K.Makc}$ (рис. 48, в). В это время диод заперт положительным напряжением, действующем на коллекторе, и поэтому весь ток, протекающий в отклоняющих катушках $i_{\rm Kat}$, течет через коллектор транзистора.

В момент времени t_1 транзистор быстро запирается. В колебательном контуре, образованном индуктивностью отклоняющих катушек $L_{\text{кат}}$ и емкостью C, включенной параллельно отклоняющим катушкам, возникают свободные затухающие гармонические колебания напряжения и тока, частота которых определяется индуктивностью и емкостью колебательного контура.

За время, в течение которого транзистор находится в запертом состоянии, ток катушки $i_{\kappa a \tau}$ успевает измениться от максимального положительного значения до максимального отрицательного значения, изменив свое направление. За это же время сипусоидальная полуволна напряжения из катушке $U_{\kappa a \tau}$ (рис. 48, κ), сдвинутая по фазе на 90° от тока в катушке, образует положительный всплеск напряжения $U_{\text{макс}}$. В момент времени, соответствующий измененно направления тока в катушках, вся энергия колебательного коитура оказывается сосредоточенной в емкости C. Именно в этот момент

времени напряжение на контуре достигает максимальной величины $U_{\rm Makc}$. Затем энергия электрического поля емкости C начинает переходить в энергию магнитного поля катушек, т. е. конденсатор разряжается на катушки, что приводит к возникновению в катушках тока противоположного направления. Когда ток катушек достигает максимального значения, заряд на емкости контура уменьшается до пуля. В это время вся энергия колебательного контура сосредоточивается в катушках.

Следует заметить, что во время обратного хода развертки коллектор транзистора находится под большим положительным напряжением всплеска, на величну которого должен быть рассчитан траизистор выходного каскада. Этот всплеск используется для получения высокого напряжения и других вспомогательных постоянных напряжений, необходимых для работы телевизора. Вместе с тем импульсное напряжение всплеска используется в схеме АПЧиФ, в схеме ключевой АРУ, а также подводится к управляющему электроду электрониолучевой трубки для гашения луча во время обратного хода строчной развертки.

В момент t_2 транзистор открывается. В это время коллекторная цепь транзистора имеет довольно низкое сопротивление, что обусловливает срыв свободных колебаний в контуре $L_{\rm кат}C$. Ток катушки начинает уменьшаться по закону, который близок к линейному. Путь протекания тока катушек в период времени от t_2 до t_3 проходит одновременио и через транзистор и через демпферный диод, который оказывается открытым для тока этого направления. Однако через транзистор проходит меньшая часть этого тока, а большая часть направляется через демпферный диод (рис. 48, ϵ).

Как видно из рис. 48, 6, 8, ϵ , наличие демпферного диода, обладающего более низким прямым сопротивлением по сравнению с сопротивлением участка коллектор — эмиттер транзистора, увеличнвает общий ток $i_{\infty}6$ в цепи, так как последний является суммой токов коллектора и демпферного диода, т. е. $i_{\infty}6=i_{\kappa}+i_{\kappa}$. При этом вольт-амперная характеристича системы, состоящей из транзистора и диода, становится более симметричной для положительного и отрицательного направления тока в отклоняющих катушках. Это способствует улучшению линейности отклоняющего тока на участке прямого хода развертки.

В момент времени t_3 ток в катушках уменьшается до нуля, а затем, изменив свое направление, вновь начинает увеличиваться. Демиферный диод запирается для этого направления тока, а транзистор по-прежиему остается в открыгом состоянии. К моменту времени t_4 ток коллектора достигает максимального значення.

Направления тока в общей цепи схемы можно проследить, пользуясь рис. 48, ∂ , из которого видно, что на огрезке времени от момента t_3 до момента t_4 схема строчной развертки потребляет ток от источника пнтания (положительное направление тока на рис. 48, ∂ соответствует потреблению тока). На отрезке времени от момента t_2 до момента t_3 схема, наоборот, возвращает ток источнику питания, как бы подзаряжая его. Таким образом, в течение периода развертки происходит обмен энергией между источником питания и индуктивностью отклоняющих катушек.

Если бы схема цепей выходного каскада не имела потерь и источник питания не обладал бы внутренним сопротивлением, то выходной каскад строчной развертки обладал бы способностью генерировать пилообразный ток в отклоняющих катушках, не потребляя энергии от источника питания. Однако в реальных условиях активные

сопротивления в различных цепях схемы и инерционность процессов переключения полупроводниковых приборов далеко не в полной мере позволяют реализовать указанное преимущестью данного способа получения отклоняющего тока.

В момент времени t_1 , когда напряжение на базе транзистора выходного каскада делается отрицательным, транзистор запирается не сразу, а спустя некоторое время. Это явление, рассмотренное выше и объясняемое инерционностью рассасывания зарядов в базе, является одной из основных причин, обусловливающих непроизводительные потери энергии в схеме. В это время в цепи коллектора действует большое напряжение и течет значительный ток, т. е. цепью потребляется большая мощность, выделяемая на транзисторе в виде тепла.

Переход транзистора и демпферного диода из запертого состояния в отпертое в момент времени t_2 происходит тоже с запаздыванием. В связи с этим на транзисторе и демпферном диоде рассеивается дополнительная мощность.

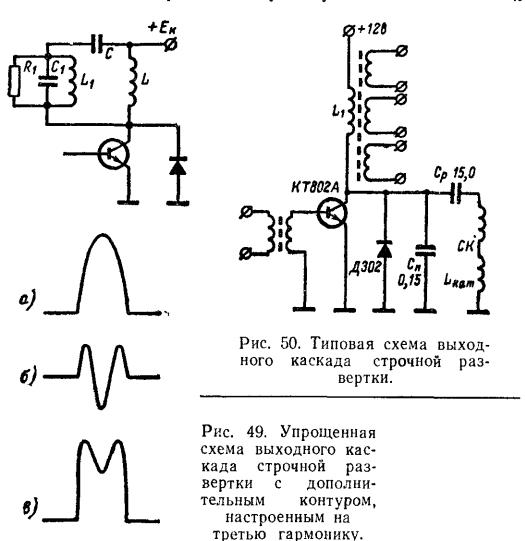
Существенное значение для экономичности по питанию имеют также и другие активные потери в цепях схемы строчной развертки, наибольшие из которых приходятся на долю предвыходного каскада. Не следует упускать из виду гакже и то, что часть мощности, потребляемой схемой строчной развертки, расходуется на получение вспомогательных постоянных и импульсных напряжений. Естественно, наибольшая мощность расходуется при этом на получение высокого напряжения.

Об экономичности по потреблению электроэнергии выходным каскадом строчной развертки можно судить по форме тока, протекающего в проводе, по которому подается питание в схему выходного каскада (рис. 48, д). Положительное значение этого тока, усредненное за период строчной частоты, характеризует количество энергии, подводимой к схеме. Усредненное отрицательное значение этого тока, соответствующее изменению его направления, характеризует возвращение части этой энергии источнику питания. Следовательно, разность площадей, расположенных по обе стороны от нулевой линии тока и ограниченных кривой тока, является характеристикой, позволяющей оценить экономичность потребления.

У современных транзисторов, используемых в выходном каскаде строчной развертки, допустимое напряжение между коллектором и базой составляет не более 120—150 в Поэтому приходится принимать специальные меры, чтобы уменьшить всплеск напряжения на коллекторе транзистора во время обратного хода развертки. Разумеется, эти меры должны быть такими, чтобы потребляемая схемой мощность не увеличивалась существенно.

Одним из способов уменьшения всплеска напряжения является искусственное увеличение длительности обратного хода развертки, которое достигается соответствующей настройкой колебательного контура $L_{\rm кат}$ C, а также формированием более продолжительной (по сравнению с длительностью строчного гасящего импульса) длительности управляющего импульса. Принимая во внимание то обстоятельство, что формат изображения большинства современных гелевизоров, в которых используются широкоугольные кинескопы, составляет 4:5, длительность обратного хода без ущерба может быть увеличена до 14 мксек. Другим способом уменьшения всплеска напряжения является включение в цепь колебательного контура $L_{\rm кат}$ C еще одной резонансной системы L_1C_1 , настроенной на третью гармо-

нику частоты настройки контура $L_{\text{кат}}$ \mathcal{E} . На рис. 49 приведена распространенная схема включения дополнительного контура и даны эпюры напряжений, поясняющие принцип ее работы. При сложения синусоидального напряжения основной частоты (рис. 49, a) с синусондальным напряжением, частота которого выше основной в 3 раза (рис. 49, a), форма импульса результирующего напряжения (рис. 49, a) приобретает характерный провал на его вершине. При этом пиковое значение размаха импульса уменьшается на 20—30%.



Дополнительный контур L_1C_1 обычно шунтируется резистором R_1 , служащим для более быстрого затухания свободных колебаний в этом контуре в начале прямого хода развертки.

Во многих телевизорах второй резонансной системой, настраиваемой на третью гармонику частоты обратного хода строчной развертки, является катушка строчного трансформатора, служащая для получения высокого напряження. Настройка высоковольтной катушки на третью гармонику уменьшает выброс напряжения на коллекторе и в то же время несколько увеличивает его на высоковольтной катушке. В результате полнее используется выходной транзистор и повышается эффективность работы высоковольтного выпрямителя.

Согласование по мощности коллекторной цепи траизистора в выходном каскаде строчной развертки с нагрузкой, которой являются отклоняющие катушки, в транзисторных схемах может обеспечивать-

ся без применения выходного строчного трансформатора. Такая возможность обусловливается достаточно низким полным сопротивлением отклоняющих катушек, используемых в транзисторных схемах, а также тем, что в отличне от ламповых выходных каскадов, транзисторный каскад работает с малым напряжением на коллекторе, но с относительно большим коллекторным током. Однако необходимость получения вспомогательных напряжений, значительно превышающих напряжение источника питания, заставляет прибегнуть к помощи трансформатора, который, по аналогии с ламповыми схемами, называется выходным строчным трансформатором.

Рассмотрим типовой вариант практической схемы выходиого каскада строчной развертки транзисторных телевизоров, схема которого приведена на рис. 50. В этой схеме питание коллектора выходного транзистора осуществляется через первичную обмотку строчного трансформатора $L_{\rm I}$. Другие обмотки, имеющиеся в трансформаторе, используются в схемах получения вспомогательных напряжений и прямого отношения к формированию отклоняющего тока не имеют.

Строчные отклоняющие катушки CK подсоединяются к коллекторной цепи транзистора через разделительный конденсатор $C_{\rm p}$, чтобы избежать протекания постоянного тока в катушках, что вызывает горизонтальное смещение растра на экране кинескопа.

Отклоняющие катушки можно подключать параллельно первичной обмотке строчного трансформатора. При этом, если активное сопротивление первичной обмотки невелико по сравнению с активным сопротивлением отклоняющих катушек, разделительного конденсатора не требуется, так как через отклоняющие катушки будет протекать небольшая часть постоянной составляющей коллекторного тока. Однако на практике предпочитают ставить разделительный конденсатор, емкость которого специально подбирается с тем, чтобы придать пилообразному отклоняющему току S-образную форму для коррекции нелинейности развертки, возникающей вследствие непостоянства скорости перемещения луча на относительно плоском экране кинескопа.

Разделительный конденсатор и отклоняющие катушки должны образовывать резонансную систему, настроенную на частоту, период которой примерно равен времени прямого хода развертки, т. е.

$$T_1 = 2\pi \sqrt{L_{\text{Kar}} C_{\text{p}}}. \tag{107}$$

При этом на пилообразную составляющую отклоняющего тока накладывается небольшая синусоидальная составляющая и результирующая форма тока делается S-образной.

В рассматриваемой схеме индуктивность первичной обмотки выходного строчного трансформатора и индуктивность отклоняющих катушек соединены по переменному току параллельно. Поэтому эквивалентная индуктивность колебательной системы $L_{9 \mathrm{KB}}$, определяющая время обратного хода развертки, выражается формулой

$$L_{\text{9KB}} = \frac{L_1 L_{\text{KAT}}}{L_1 + L_{\text{KAT}}}, \qquad (108)$$

в которой $L_{\rm I}$ — индуктивность первичной обмотки строчного трансформатора.

Для переменного тока, формируемого транзистором выходного каскада, первичная обмотка строчного трансформатора образует параллельную ветвь, по которой часть общего пилообразного тока ответвляется и не проходит через отклоняющие катушки, а следова-

тельно, и не участвует в отклонении луча кинескопа. Чтобы ответвляющийся ток был небольшим по сравнению с током в отклоняющих катушках, индуктивность первичной обмотки строчного трансформатора должна быть существенно больше индуктивности отклоняющих катушек, т. е. должно удовлетворяться условие $L_1\gg L_{\rm kat}$

Индуктивность первичной обмотки строчного трансформатора, превышающая обычио в 10—15 раз индуктивность отклоняющих катушск, несколько уменьшает эквивалентную индуктивность колебательного контура, настраиваемого с целью получения требуемого времени обратного хода. С учетом этого параметры колебательного контура должны удовлетворять условию

$$T_2 = \pi \sqrt{L_{\text{9KB}} C_{\text{9KB}}}, \qquad (109a)$$

где $C_{\mathfrak{grb}}$ — общая емкость эквивалентного колебательного контура, в которую главными составными частями входят емкость конденсатора C_{H} , служащая для точной настройки обратного хода развертки и межвитковая емкость, вносимая строчным трансформатором. Для практических расчетов, не требующих большой точности, можно пользоваться следующим приближенным выражением

$$T_2 \approx \pi \sqrt{L_{\text{KaT}} C_{\text{H}}} \,. \tag{1096}$$

В практических схемах конденсатор $C_{\rm H}$ составляется из двух конденсаторов, один из которых, имеющий меньшую емкость, подбирается при точной настройке обратного хода. Эта мера позволяет учесть последствия разброса параметров строчного трансформатора н отклоняющих катушек.

Как указывалось выше, линейность пилообразного отклоняющего тока зависнт от эквивалентной постоянной времени отклоняющих катушек $\tau_{3KB} = L_{KaT}/R_{3KB}$, в определение которой входит величина R_{3KB} — эквивалентное активное сопротивление, складывающееся из суммы всех активных сопротивлений, включенных последовательно в цепь прохождения отклоняющего тока. Основными из этих сопротивлений являются R_{KaT} — активное сопротивление отклоняющих катушек, R_{Hac} — сопротивление насыщения транзистора выходного каскада, τ е. сопротивление постоянному току участка электрической цепи между коллектором и эмиттером в момент насыщения. Таким образом можно считать, что $R_{3KB} = R_{KaT} + R_{Hac}$. Если известна эквивалентная постоянная времени отклоняющих катушек, то коэффициент нелинейности отклоняющего тока можно вычислить по формуле

$$k_{\rm H} = \frac{T_1}{\tau_{\rm 9KB}} = T_1 \frac{R_{\rm 9KB}}{L_{\rm KAT}}$$
 (110)

Существенную роль в формировании линейного пилообразного тока нграет прямое сопротивление постояниому току демпферного диода Это сопротивление должно быть по возможности малым.

Чтобы в отклоняющих катушках с эквивалентной индуктивностью I_{9kB} можно было обеспечить требуемый размах пилообразного тока I_{kat} , напряжение источника питания должно быть не менее

$$E_{\rm K} = \frac{L_{\rm 9KB} I_{\rm KAT}}{2T_1} \,. \tag{111}$$

При заданных и неизменных значениях напряжения источника питания и времени прямого хода развертки отклоняющий ток зависит только от эквивалентной индуктивности системы. Отсюда вытекают

предпосылки для двух наиболее распространенных способов регулировки горизонтального размера растра — изменением величны постоянного напряжения, подводимого к выходному каскаду, либо изменением эквивалентной индуктивности системы с помощью включеиия параллельно первичной обмотке строчного трансформатора катушки с перемеиной индуктивностью — регулятора размера строк (РРС)

Импульс напряжения всплеска, возникающего на коллекторе транзистора выходного каскада во время обратного хода развертки, можно вычислить по формуле

$$U_{\text{MaKC}} = \frac{\pi}{2} \frac{T_1}{T_2} E_{\text{K}}, \tag{112}$$

из которой вытекает, что напряжение всплеска зависит при выбранных значениях времени прямого и обратного хода только от напряжения источника питания и от соответствующего этому напряжению размаха отклоняющего тока.

РЕЖИМ БАЗОВОЙ ЦЕПИ ВЫХОДНОГО КАСКАДА

Для хорошей работы строчной развертки необходимо правнльно выбрать режим возбуждения выходного транзистора с тем, чтобы обеспечить надежный переход транзистора из состояния отсечки в состояние насыщения, и наоборот. На практике в основном при-

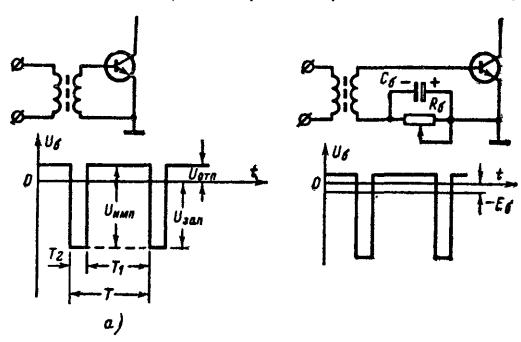


Рис. 51. Базовые цепи транзистора с нулевым смещением (а) α н с автосмещением (б).

меняются два режима работы входной цепи по постоянному току. Это режим с нулевым смещением на базе н режим с автоматическим смещением.

Схема входной цепи с нулевым смещением приведена на рис. 51, а. Эта схема характеризуется тем, что цепь базы по постоянному току имеет тот же потенциал, что н цепь эмиттера. Такой режим оказался

возможным благодаря тому, что база и эмиттер соединены между

собой вторичной обмоткой согласующего трансформатора.

Поскольку трансформатор не пропускает постоянной составляющей сигнала из одной обмотки в другую, то положение управляющих импульсов на вторичной обмогке относительно линии нулевого потенциала будет таким, как показано на рис. 51. а. Здесь прямому ходу развертки соогветствуют положительные значения напряжений на базе, а обратному ходу — отрицательные напряжения, т. е. то, что необходимо для возбуждения выходного транзистора с проводимостью типа n-p-n.

Согласно рис. 51, а положительное напряжение на базе, при котором транзистор должен находиться в насыщении, по своей абсолютной величине получается меньше отрицательного напряжения, перєводящего транзистор в режим отсечки. Соотношение между величинами запирающего и отпирающего напряжений зависит от длительности импульсов и определяется выражениями:

$$U_{\text{OTD}} = U_{\text{MMD}} \frac{T_2}{T}$$
 и $U_{\text{Ban}} = U_{\text{MMD}} \left(1 - \frac{T_2}{T} \right)$, (113)

в которых $U_{\text{зап}}$ — запирающий потенциал; $U_{\text{отп}}$ — отпирающий потенциал; $U_{\text{имп}}$ — размах импульсного напряжения. Если, например, размах управляющего импульсного напряжения равен $U_{\rm имп} = 2$ в, а длительность импульсов равна $T_2 = 12.8$ мксек, то отпирающее напряженае (при T=64 мксек) получается равным 0,4 в. Соответственно при

тех же условиях запирающее напряжение будет равно 1,6 в. При работе выходного каскада его входное сопротивление во время, соответствующее открытому состоянию транзистора, получается очень малым. Учитывая, что источник управляющих импульсов, которым является вторичная обмотка согласующего трансформатора, обладает конечным выходным сопротивлением, можно видеть, что часть отпирающего напряжения теряется на внутреннем сопротивлении источника. Все это говорит о том, что базовая цепь выходного транзистора отличается низким использованием управляющего напряжения.

Увеличить эффективность использования управляющего напряжения можно, если подвести к базе выходного транзистора постоянный отпирающий потенциал от постороннего источника смещения. Однако это может привести к уменьшению запирающего напряжения, что в свою очередь может не обеспечить надежного запирания транзистора во время обратного хода. При этом потери мощности в кол-

лекторной цепи выходного каскада существенно возрастут.

Режим с фиксированным смещением неудобен также и тем, что если в силу каких-либо причин управляющие импульсы исчезнут, то транзистор выходного каскада останется в открытом состоянии и будет потреблять большую мощность, которая выведет транзистор из строя. Кроме того, базовая цепь мощного транзисторного каскада требует значительного тока смещения от источника с довольно низким выходным сопротивлением, чтобы обеспечить удовлетворительную температурную стабильность режима базовой цепи. Все это связано с непроизводительными затратами значительной мощности, в связи с чем схемы с отдельным источником смещения не применяются.

Часто в базе выходного каскада строчной развертки устанавливается цепочка автоматического смещения, позволяющая регулировать величину постоянного напряжения смещения посредством потенциометра R_{6} (рис. 51, 6). Во время прямого хода развертки, когда транзистор открыт, в цепи базы течет ток, заряжающий конденсатор C_6 . Обкладка конденсатора, соединенная через вторичную обмотку согласующего трансформатора с базой, заряжается отрицательно. Во время обратного хода постоянный отрицательный потенциал складывается с отрицательным значением импульсного напряжения.

C помощью потенциометра R_6 , изменяя его сопротивление, можно изменять постоянное напряжение на базе относительно эмиттера от нуля в сторону более отрицательных значений. При регулировке схемы движок потенциометра устанавливают в такое положение, при котором импульсное напряжение на базе уверенно переводит тран

зистор в режим насыщения.

При слишком глубоком насыщении выходного транзистора, что соответствует недостаточной величине отрицательного напряжения смещения, возрастает ток, потребляемый коллекторной цепью от ис точника питания, и увеличивается мощность, рассеиваемая на коллек торе транзистора, так как увеличивается время переключения. При чрезмерном увеличении отрицательного напряжения смещения возра стает сопротивление участка коллектор — эмиттер транзистора, что тоже вызывает увеличение мощности, рассеиваемой транзистором а также приводит к ухудшению линейности по горизонтали. Регу лировка смещения позволяет выбрать оптимальный режим в цепт базы.

Цепочка автоматического смещения служит не только средствоч удобной регулировки режима базовой цепи, но и является такжи стабилизирующим устройством, поддерживающим оптимальный ре жим при изменении размаха управляющих импульсов и при темпе ратурных изменениях входного сопротивления транзистора. Если в силу каких-либо причин (например, при изменении напряжения пи тания) размах управляющих импульсов уменьшится, то это вызове уменьшение отрицательного напряжения смещения, которое зависи от размаха управляющих импульсов. При этом часть импульсного напряжения, заходящая в положительную область напряжений н базе, уменьшится в меньшей степени по сравнению с тем случаем когда цепочка автоматического смещения отсутствует.

Следует иметь в виду, что введение цепочки автоматического сме щения требует соответственного увеличения размаха управляющег импульсного напряжения, так как это напряжение смещается отно сительно раствора входной характеристики транзистора в сторон запирающих напряжений. Эффективность стабилизации режима вь ходного каскада за счет автоматического смещения в более сильно степени проявляется в транзисторах, имеющих большее значение ста

тического коэффициента усиления по току.

На практике размах импульсного напряжения на базе выходног транзистора должен составлять 4-6 в. При этом отпирающий по тенциал будет равен 0,7—1 в. В связи с тем, что импульсы коллен торного тока в транзисторе выходного каскада достигают 5-7 с статический коэффициент усиления по току, довольно быстро умень шающийся при увеличении тока коллектора, оказывается довольн малым и для большинства мощных транзисторов не превышае 10—15. Следовательно, ток базы, необходимый для насыщения вы ходного транзистора, должен быть не менее 0,5 а.

Плительность запирающих импульсов, подводимых к базе вь ходного каскада, обычно выбирают большей, чем длительность об ратного хода строчной развертки, определяемая настройкой откло няющих кагушек. Если длительность запирающего импульса окажется меньше длительности обратного хода, то в выходном каскаде будут иметь место большие потери и резко возрастает ток, потребляемый от источника питания. Чрезмерное увеличение длительности управляющих импульсов тоже нежелательно. В предельном случае для нормальной работы выходного каскада необходимо, чтобы выходной транзистор отцирался не позже того момента времени, когда направление тока в отклоняющих катушках (в течение прямого хода развертки) изменяется на противоположное. Практически длительность управляющих импульсов подбирается экспериментально с тем, чтобы получить наилучшую линейность развертки и экономичность потребления электроэнергии. Для большинства транзисторных схем эту длительность выбирают в пределах 18—25 мксек.

ТРЕБОВАНИЯ К ТРАНЗИСТОРАМ, ИСПОЛЬЗУЕМЫМ В ВЫХОДНОМ КАСКАДЕ

Транзистор выходного каскада должен быть рассчитан на требуемую мощность переключения, т. е. должен позволять пропускать достаточно большие токи и выдерживать значительные импульсные напряжения. Пригодность транзисторов, применяемых в выходных каскадах строчной развертки, оценивается разрывной мощностью, показывающей какую реактивную энергию способен коммутировать данный тип транзисторов.

Разрывная мощность представляет собой произведение допустимого напряжения коллектора на максимальное значение коллектор-

ного тока и измеряется в вольт-амперах.

Для обеспечения требуемого размаха пилообразного тока $I_{\rm кат}$ в отклоняющих катушках с индуктивностью $L_{\rm кат}$ необходима разрывная мощность, определяемая выражением

$$P_{\rm p} = I_{\rm KaT} U_{\rm Makc} = \frac{\pi L_{\rm KaT} I_{\rm KaT}^2}{2T_2}$$
 (114)

Немного более половины этой реактивной мощности приходится иа долю транзистора, а другая часть — на долю демпферного диода. С учетом этого разрывная мощность, которой должен обладать транзистор, определяется из выражения

$$P_{p,rp} = aP_{p}, \tag{115}$$

в котором $a=0.55 \div 0.65$ — коэффициент, учитывающий реактивную мощность, коммутируемую демпферным диодом.

Пригодность того или иного типа транзисторов по разрывной мощности может быть проверена условием

$$U_{\text{K.9.npeg}} I_{\text{K.Makc}} \gg P_{\text{p.tp}},$$
 (116)

где $U_{\text{к.э.пред}}$ — допустимое иапряжение между коллектором и эмиттером; $I_{\text{к.макс}}$ — допустимое значение коллекторного тока.

Важным фактором, определяющим возможность применения какого-либо транзистора в схеме выходного каскада строчной развертки, является его время переключения. Слишком большое время выключения транзистора обусловливает большое затухание колебательной системы, включенной в цепь коллектора, и приводит к большим потерям энергии в этой цепи. В этом случае на коллекторе транзистора рассеивается значительная активная мощность, ухудшающая тепловой режим транзистора. Основные потери мощности происходят во время выключения. Они могут быть вычислены по формуле

$$P_{\text{выкл}} = 1,6L_{\text{кат}} I_{\text{кат}}^2 \left(\frac{t_{\text{выкл}}}{T_2}\right)^2$$
 (117)

Активная мощность, рассеиваемая транзистором во время прямого хода развертки, определяется выражением

$$P_{\rm np} \approx 0.2 R_{\rm Hac} I_{\rm KaT}^2, \tag{118}$$

где $R_{\rm Hac}$ — сопротивление насыщения.

Соответственно применяемый транзистор должен позволять рассеивать на нем активную мощность, которая приблизительно равна:

$$P_{\rm a} = P_{\rm выкл} + P_{\rm пр} \tag{119}$$

На практике мощность $P_{\mathbf{a}}$ не превышает нескольких ватт.

Транзисторы, предназначенные для работы в выходных каскадах строчнои развертки, обладают разрывной мощностью до 1000 ва и имеют время переключения от нескольких десятых долей до иескольких микросекунд.

В качестве демпферных диодов применяются мощные плоскостные германиевые диоды, рассчитанные на работу с прямыми токами до десятков ампер, обладающие малым прямым сопротивлением и выдерживающие обратные напряжения до 100—200 в.

В транзисторных схемах строчной развертки, предназначенных для трубок с большим размером экрана и большим углом отклонения, в которых требуется большая разрывная мощность, в выходном каскаде применяют два мощных транзистора, работающих на одну общую нагрузку. Эти транзисторы могут соединяться последовательно илн параллельно. Управляющее напряжение на базы выходных транзисторов подается с двух отдельных обмоток согласующего трансформатора, что позволяет установить на каждом из транзисторов наиболее благоприятный режим возбуждения с помощью регулируемых ценочек автоматического смещения. При этом схема делается менее критичной к разбросу параметров парных транзисторов.

Вследствие того, что одиотипные транзисторы обладают различными импульсными свойствами, так как разброс импульсных параметров у однотипных транзисторов очень велик, возникают трудности при симметрировании схемы. В силу того, что симметрия импульсных напряжений и токов нарушается в моменты переключения транзисторов, эффективность этих схем невысока.

В настоящее время ведутся работы по созданию мощных импульсных транзисторов с разрывной мощностью до 2000—3000 ва. Параллельно ведутся работы над созданием кремниевых управляемых вентилей — многопереходных полупроводниковых приборов, обладающих большой разрывной мощностью и требующих малых мощностей для их управления.

ПОЛУЧЕНИЕ ВСПОМОГАТЕЛЬНЫХ ПОСТОЯННЫХ НАПРЯЖЕНИЙ

Автономный источник питания переносного транзисторного телевизора (сухие элементы или аккумуляторы) дает одно постоянное напряжение, которое для большинства телевизоров равно 12 в.

117

Однако современные приемные электроннолучевые трубки, применяемые в телевизорах, имеют сложные электронные пушки с элек-

тростатической фокусировкой луча и требуют несколько различных напряжений, которые должны быть подведены к соответствующим электродам, а именно высокое напряжение для второго анода кинескопа, напряжения для фокусирующего электрода и первого анода.

Кроме того, в транзисторном телевизоре с автономным питанием, как и в любом другом телевизоре, иеобходимо иметь источник напряжения для питания выходного каскада видеоусилителя, так как для получения нормальной контрастности изображения видеосигнал, подводимый к кинескопу, должен иметь размах порядка нескольких десятков вольт.

Все эти напряжения получаются путем преобразования низковольтного постоянного напряжения автономного источника питаиия, причем в качестве преобразователя используется выходной каскад строчной развертки, так как при этом не нужно каких-либо дополнительных устройств, если не считать выходного строчного трансформатора.

Выходной строчный трансформатор имеет несколько обмоток или отводов от одной общей обмотки по числу требуемых постоянных напряжений. Для получения вспомогательных напряжений используются импульсы обратного хода, которые подводятся к обычным выпрямителям, выполненным по простейшим схемам на полупроводниковых диодах с реостатно-емкостными фильтрами.

Для выпрямления высокого напряжения обычно применяют экономичные малогабаритные высоковольтные кенотроны. Однако в настоящее время номенклатура полупроводниковых выпрямителей располагает селеновыми столбиками, выдерживающими обратиые напряжения до 10 кв. Применение селеновых столбиков предпочтительно, так как при этом не требуется специальных обмоток на строчном трансформаторе для питания накалов ламп.

Высоковольтный выпрямитель чаще выполняется по схеме удвоения высокого напряжения, в которой применяется два или три выпрямительных элемента. Достоинство схемы удвоения состоит прежде всего в том, что в данном случае выпрямительные элементы могут иметь в 2 раза меньшее обратное пробивное напряжение. Существенно также и то, что число витков на высоковольтной обмотке в этом случае уменьшается вдвое.

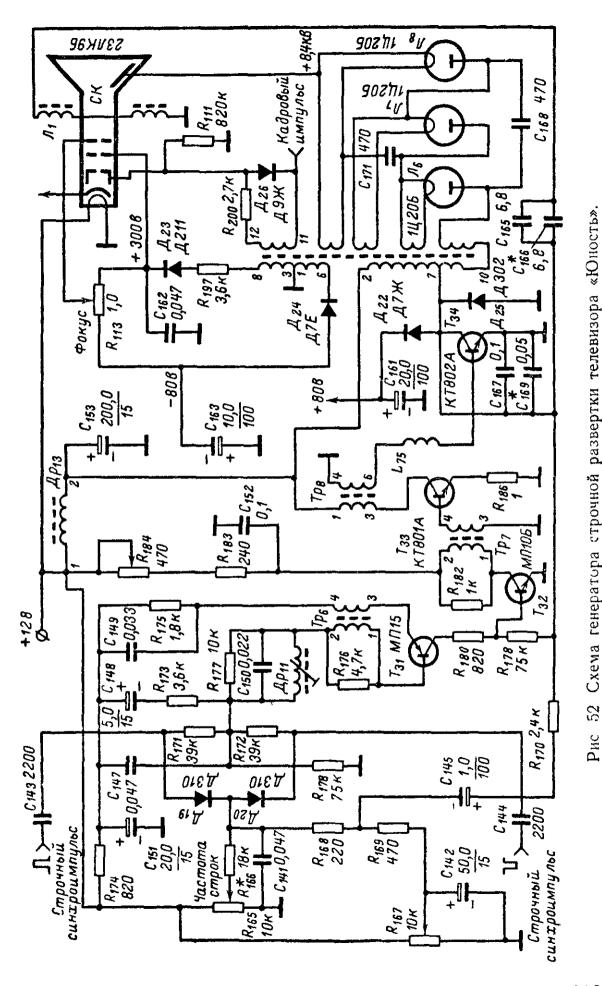
Применение схемы удвоения в высоковольтном выпрямителе предпочтительно также и с точки зрения получения высокостабильного напряжения, что дает лучшую стабильность вертикального и горизонтального размера изображения.

ПРАКТИЧЕСКИЕ СХЕМЫ ГЕНЕРАТОРОВ СТРОЧНОЙ РАЗВЕРТКИ

На рис. 52 представлена схема строчной развертки отечественного переносного телевизора «Юность». В состав схемы входят: задающий генератор (T_{31}) , два буферных каскада $(T_{32}$ и $T_{33})$ и выходной каскад (T_{34}) .

Задающий генератор представляет собой блокинг-генератор с эмиттерно-базовой связью и с времязадающей цепочкой $R_{175}C_{149}$, включенной в цепь эмиттера. В цепь базы включен стабилизирующий контур $\mathcal{I}p_{11}C_{150}$, настраиваемый на частоту 18 кец.

Синхронизация блокинг-генератора осуществляется системой АПЧи Φ , в которой используется сбалансированный фазовый дискриминатор, выполненный на диодах \mathcal{L}_{19} и \mathcal{L}_{20} . Пилообразное на-



119

пряжение сравнения получается в этой схеме интегрированием с помощью конденсатора C_{141} положительного импульса обратного хода, снимаемого с коллектора выходного транзистора T_{34} . Разнополярные синхроимпульсы от парафазного усилителя схемы селектора попаются на дискриминатор через конденсаторы C_{143} и C_{144} .

Компенсирующее напряжение для установки требуемого режима базовой цепи блокинг-генератора снимается с движка потенциометра R_{165} и через резистор R_{166} подается в схему фазового дискриминатора. Этим потенциометром можно плавно регулировать частоту строк. Кроме того, в схеме имеется установочная (грубая) ре-

гулировка частоты строк потенциометром R_{167} .

Импульсное напряжение для раскачки первого буферного каскада (T_{32}) снимается с части коллекторной нагрузки блокинг-генератора. Режим работы по постоянному току этого каскада устанавливается переменным резистором R_{184} , позволяющим изменять постоянное изпряжение питания цепи коллектора и тем самым устанавливать требуемую степень насыщения коллекторного тока. Связь первого буферного каскада со вторым осуществляется с помощью согласующего трансформатора Tp_7 .

В предоконечном каскаде используется импульсный транзистор средней мощности, который связан с транзистором выходного каскада посредством согласующего трансформатора Tp_8 . Дроссель L_{75} , включенный в цепь базы выходного транзистора, служит для уменьшения паразитиых колебаний в согласующем трансформаторе, которые возникают за счет внутренней обратной связи в транзисторе T_{34} (из-за «пролезания» крутых перепадов коллекторного напряжения).

В выходном каскаде строчной развертки применены гиповой строчный трансформатор ТВС-2 и отклоняющая система ОС-90, рассчитанные на работу в транзисторных схемах с кинескопом 23ЛК9Б. Для получення нормального отклонения луча по горизонтали размах отклоняющего тока в строчных отклоняющих катушках должен быть порядка 5 a.

В выходном каскаде используется мощный кремниевый импульсный транзистор типа КТ802А, предназначенный для работы при повышенных напряжениях на коллекторе. Демпферным диодом слу-

жиг мощный плоскостной диод \mathcal{I}_{25} (ДЗ02).

Строчные отклоняющие катушки подключены к выходному каскаду через корректирующие конденсаторы C_{166} и C_{165} , с помощью которых пилообразный отклоняющий ток приобретает S-образную форму. Подбором величины конденсатора C_{166} можно достичь оптимальной коррекции линейности изображения.

Выходной строчный трансформатор Tp_9 используется для получения нескольких различных вспомогательных напряжений. Высокое напряжение (9 кв) для питания второго анода кинескопа получается в схеме удвоения, построенной на трех экономичных высо-

ковольтных кенотронах \mathcal{J}_6 , \mathcal{J}_7 и \mathcal{J}_8 .

Ускоряющий и фокусирующий электроды кинескопа питаются от двух выпрямителей, выполненных на диодах \mathcal{I}_{23} и \mathcal{I}_{24} . Один из выпрямителей дает положительное напряжение, а другой — отрицательное, благодаря чему имеется возможность для любого исправного кинескопа подобрать такое напряжение на фокусирующем электроде, при котором фокусировка будет наилучшей.

Напряжение питания выходного каскада видеоусилителя получается выпрямлением с помощью диода \mathcal{A}_{22} импульса обратного хода, снимаемого с коллектора выходного транзистора. Выпрямитель вырабатывает положительное напряжение порядка 80 в при нагрузке до 10 ма.

На рис. 53 в качестве примера дана схема строчной развертки зарубежного транзисторного телевизора. В этой схеме на транзисторе T_2 собран блокинг-генератор, на транзисторе T_3 — буферный усилитель, а транзистор T_4 и диод \mathcal{I}_3 работают в выходном каскаде. Особенностью данной схемы является то, что между несбалансированным фазовым дискриминатором, выполненным на диодах \mathcal{I}_1 н \mathcal{L}_2 , и блокинг-генератором включен усилитель постоянного тока (транзистор T_1). Трансформатор блокинг-генератора Tp_1 имеет три обмотки, одна из которых использована для связи блокинг-генератора с буферным усилителем. Цепь $R_{13}C_{10}$ служит для демпфирования выбросов напряжения на выходной обмотке трансформатора. Выходной каскад строчной развертки работает в режиме с автоматическим напряжением смещения за счет цепочки смещения $R_{17}C_{15}$, установленной в базовой цепн

Строчные отклоняющие катушки включены в цепь коллектора выходного транзистора через катушку регулятора линейности строк, которая представляет собой дроссель с насыщающимся оксиферовым сердечником и перемендающимся относительно него постоянным магнитом. При изменении положения магнита относительно катушки компенсируется насыщение сердечника на том или ином участке «пилы» тока, протекающего по катушке. Это вызывает изменение индуктивности катушки, что позволяет сжимать или растягивать левый край растра.

На рис. 54 изображен любительский вариант схемы генератора строчной развертки переносного транзисторного телевизора, рассчитапный на работу с кинескопом типа 23ЛКЭБ. Приведенная схема обеспечивает коэффициент нелинейности развертки порядка 12—15%. При этом мощность, потребляемая схемой от источника питания, не превышает 5 вт.

Все моточные узлы (кроме отклоняющей системы ОС 2) для данной схемы могут быть изгоговлены вручную. Трансформатор блокинг-генератора Tp_1 может быть выполнен на пермаллоевом сердечнике Ш3×6. Его первичная (коллекторная) обмотка должна содержать 100 витков провода ПЭВ 0,23, а вторичная — 450 витков провода ПЭВ 0.01. Для изготовления согласующего трансформатора Tp_2 может быть взят оксиферовый сердечник ОШ 7×7 . Первичная (коллекторная) обмотка наматывается проводом ПЭВ 0,2 н должна содержать 300 витков. Вторичная обмотка должна иметь 100 витков того же провода. Выходной строчный трансформатор может быть изготовлен с использованием типового оксиферового сердечника от строчного трансформатора ТВС-110, применяемого в ламповых схемах строчной развертки. Первичная обмотка трансформатора в этом случае должна содержать 30 витков провода ПЭВ-20,74, наматываемых на гильзе в один ряд виток к витку. Вторичную обмотку, используемую для выпрямителя всиомогательного напряжения +300 в, наматывают поверх первичной обмотки. Для нзоляции между первичной и вторичной обмотками прокладывают несколько слоев конденсаторной бумаги. Вторичная обмотка должна содержать 140 визков прогода ПЭВ-20,2, расположенных виток к витку в один ряд.

Третья обмотка — высоковольтная катушка размещается поверх двух обмоток. Она должна содержать 1 200 витков провода ПЭВ-20,08, намотанных в несколько слоев рядовой намотки по 120 витков в каждом ряду. При изготовлении высоковольтной ка-

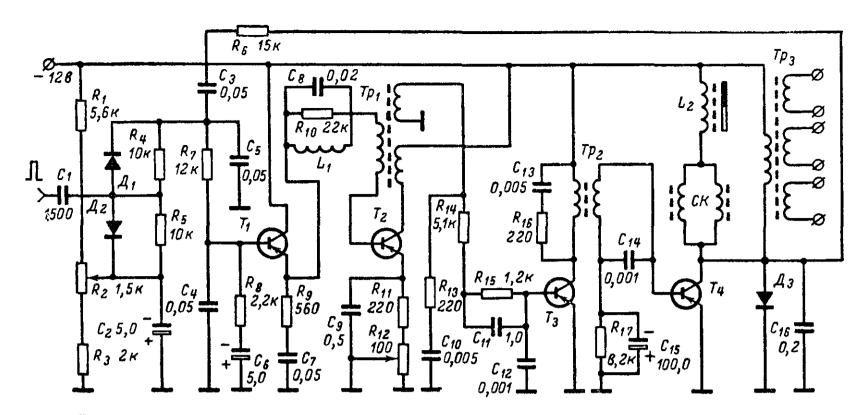


Рис. 53. Схема генератора строчной развертки зарубежного транзисторного телевизора.

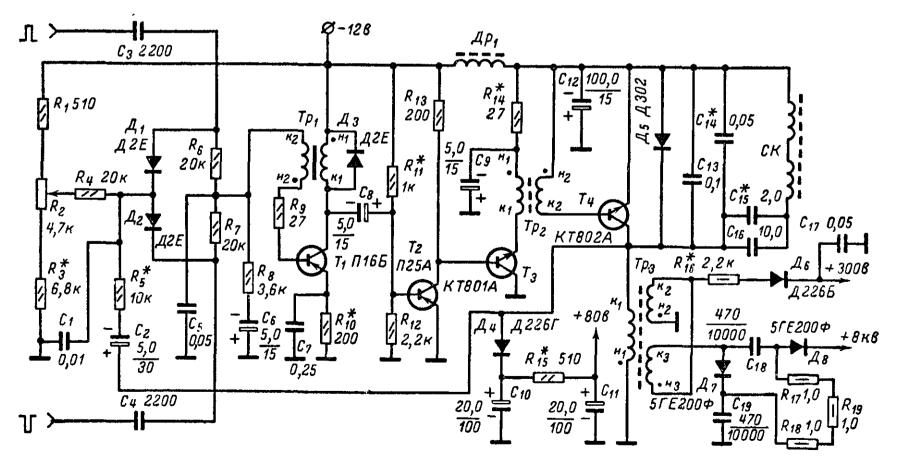


Рис. 54. Любительский вариант схемы строчной развертки для переносного телевизора.

тушки особое внимание должно быть уделено ее изоляцин. Следует иметь в виду, что между ее витками в соседних слоях действует напряжение порядка нескольких сотен вольт. Изоляция между слоями намотки должна быть рассчитана на такое напряжение. Торцы высоковольтной катушки полезно пропитать воском или каким-либо другим грансформаторным пропиточным изоляционным материалом

В последней схеме в качестве выходного строчного трансформатора может быть также применен без каких-либо переделок типовой строчный трансформатор ТВС-2 от телевизора «Юность»

Для дросселя развязки $\mathcal{\vec{Lp}}_1$ годится любой малогабаритный окснферовый сердечник, который позволяет разместить на нем 40—50 витков провода ПЭВ 0,8.

Особенностью приведенной на рис. 54 схемы является то, что здесь в высоковольтном выпрямителе используются селеновые столбики типа $5\Gamma E200\Phi$, рассчитанные на обратное напряжение 5 κB Сам выпрямитель построен по типовой схеме удвоения высокого напряжения.

124

ОГЛАВЛЕНИЕ

Предисловие
Глава первая Особенности применения транзисторов в низкочастотных и импульсных каскадах
Основные свойства транзисторов
Глава вторая Общие принципы работы развертывающих и синхронизирующих устройств в телевизоре
Формирование телевизионного растра
Глава третья Элеменгы схем транзисторных синхрони- зирующих устройств
Принцип рабогы амплитудного селектора
Общие сведения

	Стр
Предварительные каскадыПрактические схемы генераторов кадровой развертки	9: 9:
Глава пятая Строчная развертка	98
Общие сведения Задающий генератор Буферный усилитель Выходной каскад Режим базовой цепи выходного каскада Требования к транзисторам, используемым в выходном каскаде	98 99 100 100 113
Получение вспомогательных постоянных напряжений Практические схемы генераторов строчной развертки	117

126

МАССОВАЯ БИБЛИОТЕКА

Готовятся к печати следующие книги:

Айсберг Е. и Дури Ж. Цветное телевидение?.. Это почти просто! Пер. с франц. М., «Энергия», 15 л. 70 000 экз. 81 к.

Ельяшкевич С. А. Телевизоры. (Справочные материа-

лы). М., «Энергия», 28 л. 150 000 экз. 1 р. 22 к. Снкс А. Починить телевизор?.. Нет ничего проще! Пер.

с франц. Изд. 2-е. М., «Энергия», 9,5 л. 75 000 экз. 45 к. Сотников С. К Переделка телевизоров. Изд. 3-е. М.,

«Энергия», 7 л. 25 000 экз. 28 к.

Эймишен Ж Радиоэлектроника!.. Нет ничего проще! Пер. с франц. М., «Энергия», 18 л. 80 000 экз. 95 к.

Вниманию радиолюбителей

На складе издательства имеется справочник А. Г. Соболевского «Тестеры и авометры», Массовая радиобнблиотека, вып. 479, 40 стр. с илл. Цена 9 к.

Заказы на справочник просьба направлять по адресу: Москва, Ж-114, Шлюзовая набережная, 10. Издательство «Энергия», отдел сбыта.

Книги высылаются наложенным платежом (без задатка).

Тихомиров Валентин Сергеевич СИНХРОНИЗАЦИЯ И РАЗВЕРТКА В ТРАНЗИСТОРНОМ ТЕЛЕВИЗОРЕ

Редактор В. Я. Ротенберг Обложка художника А. М. Кувшинникова Технический редактор Г. Г. Абрамова Корректор З. Б. Шлайфер

Сдано в набор 24/XII 1968 г. Подписано к печати 8/V 1969 г. Т-04775 Формат 84×108¹/₈₂ Бумага типографская № 2. Усл. печ. л. 6,72. Уч-изд. л. 8,53. Тираж 60 000 экз. Цена 35 коп. Зак. 1387

Издательство «Энергия». Москва, Ж-114. Шлюзовая наб., 10

Владимирская типография Главполиграфпрома Комитета по печати при Совете Министров СССР Гор. Владимир, ул. Победы, д. 18-6

Поправки

Страница	Строка	Напечатано	Следует читать
128 Выходные данные	3-я	Учизд. л. 8,53	Учизд. л. 9,53
128 Выходные _{данные}	3-я	Цена 35 коп.	Цена 39 коп.

3ak. 1387

Мне всегда нравились старые, сильно потрёпанные книжки. Потрёпанность книги говорит о её высокой востребованности, а старость о вечно ценном содержании. Всё сказанное в большей степени касается именно технической литературы. Только техническая литература содержит в себе ту великую и полезную информацию, которая не подвластна ни политическим веяниям, ни моде, ни настроениям! Только техническая литература требует от своего автора по истине великих усилий изнаний. Порой требуется опыт целой жизни, чтобы написать небольшую и внешне невзрачную книгу.

К сожалению ни что не вечно в этом мире, книги треплются, разваливаются на отдельные листы, которые затем рвутся в клочья и уходят в никуда. Плюс ко всему орды варваров, которым без разницы, что бросить в костёр или чем вытереть свой зад. Именно их мы можем благодарить за сожженные и растоптанные библиотеки.

Если у Вас есть старая книга или журнал, то не дайте им умереть, отсканируйте их и пришлите мне. Совместными усилиями мы можем создать по истине уникальное и ценное собрание старых технических книг и журналов.
Сайт старой технической литературы:

http://retrolib.narod.ru